

O MODELO DE OPORTUNIDADE PARA DISTRIBUIÇÃO  
DE VIAGENS : UM ESTUDO E UMA APLICAÇÃO

-1977-

por: *Francisco Luiz Parente Neiva Santos*

## SUMÁRIO

O presente trabalho trata da Distribuição de Viagens numa rede urbana. É feito um estudo de alguns dos modelos mais usuais dando ênfase ao Modelo de Oportunidade de caráter probabilístico. No final é feita uma aplicação deste modelo, tendo sido escolhida a cidade de São Bernardo do Campo como área de estudo.

## ÍNDICE

### CAPÍTULO I

Introdução ----- 01

### CAPÍTULO II

A Distribuição de Viagens ----- 05

2.1- Conceitos e Definições ----- 05

2.2- O porque da distribuição de  
viagens ----- 11

### CAPÍTULO III

Modelos de Fator de Crescimento -----

3.1- Descrição dos Modelos de Fator  
de Crescimento ----- 18

3.2- Fator Médio ----- 24

3.3- Detroit ----- 25

3.4- Fratar ----- 25

3.5- Furness ----- 26

3.6- Relação entre os Fatores de  
Distribuição e os Fatores de  
Expansão ----- 28

### CAPÍTULO IV

O Modelo de Oportunidade -----

4.1- Considerações ----- 30

4.2- Hipóteses Básicas e Formulação  
Matemática ----- 31

4.3- O Modelo Revisado ----- 34

4.4-	Notação -----	36
4.5-	O Modelo Irrestrito -----	37
4.6-	O Modelo de Oportunidades Sa- tisfazendo a Restrição de Produção -----	42
4.7-	O Modelo de Oportunidades Sa- tisfazendo a Restrição de Atração -----	44
4.8-	O Modelo de Oportunidade com Dupla Restrição -----	46
4.8.1-	O Método do BPR -----	47
4.8.2-	O Método do BPR modi- ficado -----	48
4.8.3-	O Método Furness -----	49
4.9-	Os Parâmetros $L_i$ -----	50
4.9.1-	Natureza dos Parâme- tros $L_i$ -----	51
4.9.2-	Relacionando $L_i$ com os Parâmetros de Via- gem -----	59
4.10-	Métodos de Calibração -----	61
4.10.1-	Método Iterativo de Calibração (MIC) -----	62
4.10.2-	Método Empírico de Calibração (MEC) -----	66

## CAPÍTULO V

	Programa e Área de Estudo -----	
5.1-	Os Programas -----	69
5.2-	Área de Estudo -----	71

5.2.1- Área de Pesquisa -----	71
5.2.2- Zonas e Centrôides -----	71
5.2.3- Sistema de Transportes e Rede Viária Básica -----	72
5.2.4- As Viagens -----	74

## CAPÍTULO VI

Aplicação e Conclusões -----	
6.1- Considerações de Aplicação do Modelo de Oportunidade -----	78
6.1.1- O Método Iterativo de Ca- libração-----	78
6.1.2- O Método Empírico de Ca- libração -----	81
6.1.3- Graus de Aproximação ---	82
6.1.3.1- Raiz do Erro Mé- dio Quadrático-----	82
6.1.3.2- Coeficiente de Correlação Ma- tricial -----	82
6.1.3.3- Restrições de Atração e Produ- ção -----	83
6.1.3.4- Tempos médios - de viagem-----	83
6.1.3.5- Frequência de Comprimento de Viagem -----	84
6.2- Considerações sobre a Área de Estudo -----	86

6.2- Resultados e Conclusões -----	86
<u>APÊNDICE A</u> - Considerações sobre os modelos de fator de crescimento -----	92
<u>APÊNDICE C</u> - Localização das Zonas Externas -----	102
<u>APÊNDICE D</u> - Listagem de Programas e Subrotina -----	103
<u>APÊNDICE E</u> - Resultados Obtidos -----	123
<u>BIBLIOGRAFIA</u> -----	135

CAPÍTULO I

INTRODUÇÃO

A importância, para os diversos setores da economia de um sistema de transportes eficiente em prover mobilidade e acessibilidade, tem causado um grande esforço no desenvolvimento de metodologias de planejamento<sup>1</sup> que possibilitem uma utilização mais racional dos recursos a serem aplicados no setor de transportes. Inúmeros fatores interferem nesta decisão de investir, tais como considerações de ordem tecnológica, política, financeira e econômica. Devido às complexas iterações entre estes fatores tem sido utilizadas técnicas diferentes de análise, considerando os diferentes pontos de vista, conforme um ou outro aspecto seja tomado como preponderante. Como consequência tem sido formuladas diversas metodologias para analisar as políticas alternativas e para avaliar as possibilidades de investimento. Apesar de algumas técnicas terem encontrado muitos adeptos não existe um consenso metodológico. Embora não existindo tal consenso, tem aparecido um acordo com respeito à definição das funções que devem ser realizadas durante o processo. Entre elas são mais importantes as seguintes:

#### 1 - ESTUDO ECONÔMICO BÁSICO

com o propósito de determinar como a demanda de transportes afetará os demais setores da economia.

---

1

O intuito desta introdução não é o de apresentar com rigorismo conceitual noções de planejamento de transportes mas sim o de situar o presente trabalho numa área de estudos. Aqueles que estiverem interessados em se aprofundar no assunto podem consultar entre outros "ACTA POLYTECHNICA SCANDINAVICA" (1966).

## 2 - GERAÇÃO DE VIAGENS

determinação dos totais de viagens futuras, atraídas e produzidas em cada uma das zonas geográficas em que foi subdividida a área de pesquisa.

## 3 - DISTRIBUIÇÃO DE VIAGENS

determinação dos destinos específicos das viagens originadas em cada zona geográfica.

## 4 - DIVISÃO MODAL

distribuição das viagens entre os diversos modos de transportes considerados (ônibus, táxi, auto particular...).

## 5 - ATRIBUIÇÃO DE TRÁFEGO

determinação da rota utilizada pelo viajante entre a origem e o seu destino.

## 6 - AVALIAÇÃO DE PROPOSTAS E DO DESEMPENHO DO SISTEMA DE TRANSPORTE

determinação das propostas para o sistema de transportes futuro e análise do seu desempenho.

O processo começa com a coleta de dados que constitui a base para o desenvolvimento de relações estatísticas entre os dados sócio-econômicos e os dados de viagens. Sendo consideradas como causa, as variáveis sócio-econômicas são projetadas para o futuro, consistindo no que é chamado de determinação do futuro uso do solo. Em outras palavras, procuram-se obter indicadores das futuras atividades econômicas e de futuras características da rede e da população tais como número de empregos, de fábricas, de lojas, densidade populacional, taxa de motorização e renda familiar entre outras.

Em seguida à determinação do futuro uso do solo e como mostra a figura 1.1, são determinados os futuros fluxos de tráfego com a realização sequencial das etapas de Geração, Distribuição, Divisão Modal e Atribuição de tráfego.

Este trabalho visa, dentro do consenso metodológico existente quanto a realização de funções, o estudo da Distribuição de Viagens. Para se efetuar a distribuição de viagens são introduzidos modelos que melhor interpretam as causas sobre as mesmas. Não sendo mais do que representações matemáticas de fatores físicos e sociólogos observados, os diversos modelos de distribuição de viagens consistem em tentativas de identificar e quantificar as variáveis que interferem nas viagens. Portanto, seria imprudência afirmar que um determinado modelo é melhor que um outro sem fixar uma base comum de aplicação. Podemos afirmar se um modelo interpreta, ou não, de modo satisfatório o comportamento dos usuários numa determinada rede urbana. Isto nos motivou a realizar este estudo que visa determinar entre os modelos mais usuais, aqueles que interpretam de modo satisfatório o deslocamento de pessoas e cargas numa determinada cidade de médio porte. O objetivo central é comparação de alguns modelos de distribuição segundo uma mesma base empírica de aná-

lise. Entendemos que sem esta base comum só seria possível - uma análise isolada das hipóteses admitidas por cada um dos modelos. A cidade de São Bernardo do Campo foi escolhida como área de aplicação, mais pelo fato de dispor dos dados necessários do que por quaisquer outros motivos. Será dada maior ênfase ao Modelo de Oportunidades, de caráter probabilístico e em menor escala aos modelos de fator de crescimento.

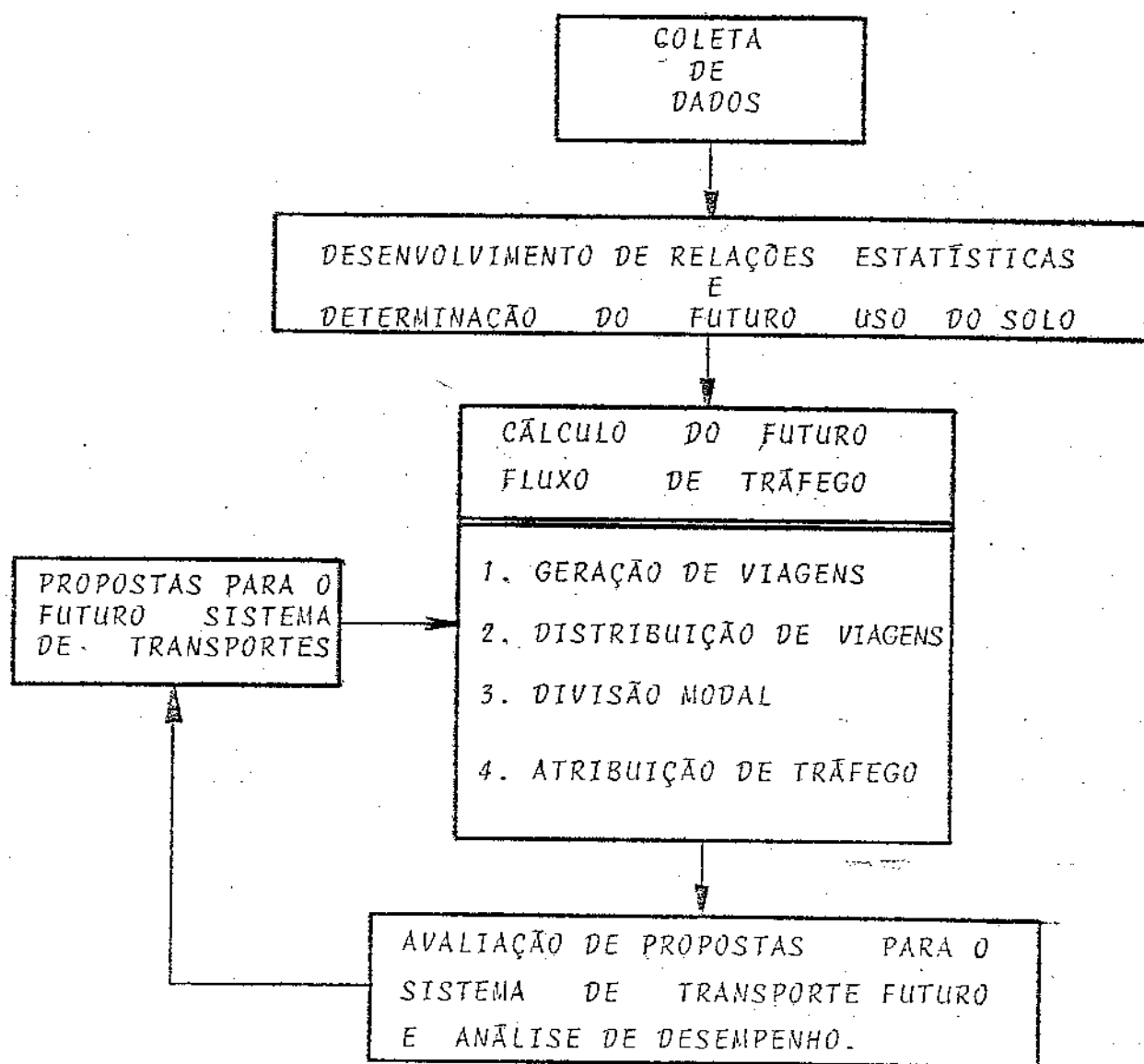


Figura 1.1- Esquema de Metodologia de Planejamento de Transportes

CAPÍTULO II

A DISTRIBUIÇÃO DE VIAGENS

Neste capítulo abordaremos de uma maneira geral o processo de distribuição de viagens, tecendo algumas considerações individuais sobre os modelos, que serão amplamente discutidos em capítulos subsequentes. De início deve-se ressaltar que uma característica comum no desenvolvimento da maioria dos modelos de distribuição de viagens é a utilização de conceitos<sup>1</sup> da teoria dos grafos aplicada a redes de transportes. Utilizaremos rede de transportes ou sistema de transportes indiferentemente, entendendo-se como um conjunto de vias, com cruzamentos e terminais que são utilizadas por carros, ônibus, caminhões, trens e metrô.

## 2.1 - CONCEITOS E DEFINIÇÕES

De um modo geral a aplicação da teoria dos grafos a problemas de modelamento matemático de sistemas de transportes deriva da facilidade em se associar as partes do sistema físico (real) com elementos que definem um grafo<sup>2</sup>.

---

<sup>1</sup> As definições e conceitos são colocadas no texto com a finalidade de se ter uma sequência suave da descrição, não com o intuito de descrever as teorias correspondentes. Aqueles que estiverem interessados em se aprofundar nos estudos ou ter mais rigorismo conceitual nas definições de teoria dos grafos ou análise de redes, podem consultar entre outros Deo (1974), Roy (1969), Morlok (1970) e Henley e Williams (1973).

---

<sup>2</sup>

Um grafo pode ser visualizado como uma configuração espacial constituída de pontos (nós e vértices) interligados por um sistema de linhas (ramos ou ligações). Essa coleção de pontos e linhas pode estar situada num único plano ou no espaço tridimensional, daí termos grafos geométricos planos ou espaciais (não planos).

As partes do sistema de transportes, ou seja, trechos de vias, ao longo dos quais ocorrem os deslocamentos de carga ou passageiros, são referidos como RAMOS. Os pontos onde os ramos se conectam são chamados de NÓS. Associado a cada ramo há uma IMPEDÂNCIA correspondente a resistência ao deslocamento dos veículos, a qual pode ser expressa em termos de distância, tempo, custo ou de uma combinação delas. Para o estudo prático de uma rede de transportes, se delimita uma certa região ou área geográfica, que chamaremos de ÁREA-DE ESTUDO e no nosso caso deve abranger todo o aglomerado urbano. Portanto sua linha limitrofe deve se localizar na periferia do aglomerado onde a urbanização deixa de existir, devendo ser cortada apenas pelas vias que ligam esta área às regiões vizinhas. No entanto é numa área menor que a área de estudo onde se fará o levantamento de dados através de amostras representativas, sendo chamada de ÁREA DE PESQUISA. Nella estão concentrados os grandes fluxos de tráfego, sendo seu contorno imaginário chamado de LINHA DE CONTORNO.

Para a análise da distribuição de viagem ainda interessam os seguintes elementos que são ilustrados na figura 2.1:

#### i - ZONA

Com a finalidade de analisar os movimentos internos, a área de pesquisa é usualmente subdividida em zonas de tráfego. Na delimitação das mesmas é usual se procurar seguir os limites censitários, administrativos e políticos para posteriores subdivisões em zonas menores tentando ainda abranger um todo o mais homogêneo possível, respeitando se possível as barreiras naturais

ou artificiais (rios, linhas férreas, etc.)

### ii - CENTRÓIDE

Delimitadas as zonas, são pesquisados e analisados dados sobre as mesmas. Esses dados tais como os totais de viagens atraídas ou produzidas pela zona, são usualmente supostos se concentrarem num local da mesma, que é denominado de centróide. Pode-se afirmar portanto que o centróide é a representação pontual da zona devendo preferencialmente se situar no local onde se concentra a maioria das atividades dessa zona. Exemplificando:

Sejam duas zonas, a primeira com características predominantemente residencial e a segunda comercial. É portanto razoável que seus centróides se situem no lugar de maior densidade geográfica e nas proximidades do centro comercial respectivamente.

### iii - VIAGEM

Por viagem entende-se o percurso de um veículo entre dois pontos com um propósito específico. Para o nosso trabalho estes pontos são centróides, sendo o ponto de partida chamado de centróide origem e o ponto terminal de centróide destino.

### iv - TIPOS DE VIAGEM

Considera-se ao longo desse trabalho três subdivisões diferentes de viagens. A primeira é quanto ao propósito e uma possível subdivisão seria:

- viagens ao trabalho
- viagens às compras
- viagens para recreação
- viagens à escola
- outras viagens

A segunda subdivisão é feita tendo em vista o modo de realização donde poderíamos ter viagens do tipo:

- ônibus
- auto particular
- táxi
- caminhão
- metrô
- outros

A terceira subdivisão diz respeito ao espaço físico em que são realizadas as viagens, mais precisamente à posição relativa da origem e do destino na área de pesquisa. Considera-se três tipos a seguir - exemplificadas:

#### VIAGENS ATRAVÉS

São aquelas em que seus dois extremos, origem e destino estão fora da área de pesquisa, mas que a atravessam, influenciando portanto a circulação interna.

## VIAGENS EXTERNAS

São consideradas aquelas que apenas um dos extremos se localiza no interior da área de pesquisa.

## VIAGENS INTERNAS

São aquelas em que tanto a origem como o destino se localizam na área de pesquisa. Serão ditas INTERZONAIS caso a origem e o destino estejam em zonas distintas, em caso contrário serão chamadas INTRAZONAIS.

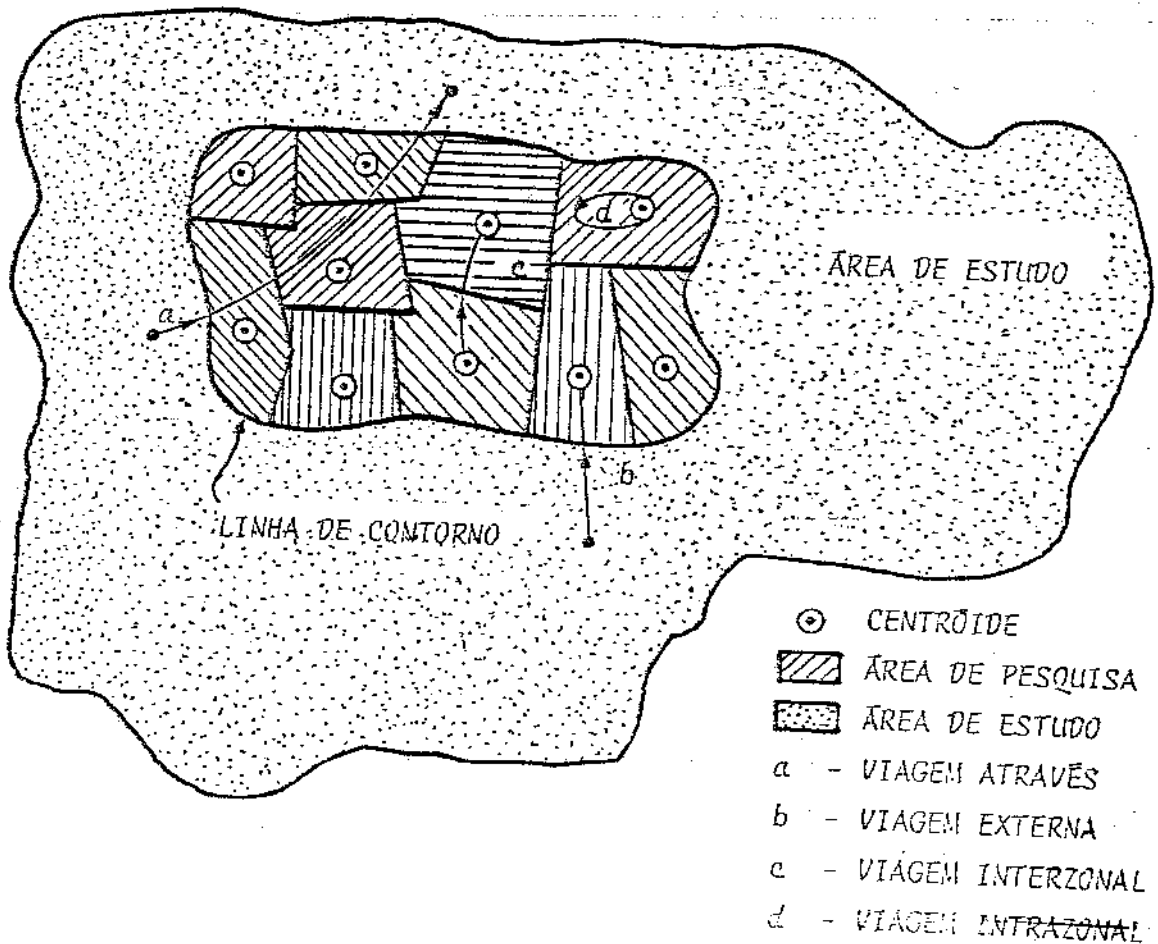


Figura 2.1 - ILUSTRAÇÃO DOS CONCEITOS INTRODUZIDOS

v - MATRIZ ORIGEM-DESTINO, ANO BASE E ANO META

Dada uma rede de transportes, delimitada - sua área de pesquisa, subdividida em N zonas, determinados e numerados seus N centros, chamaremos de matriz origem-destino a matriz NxN cujo elemento da i-ésima linha e j-ésima coluna corresponde ao número de viagens originadas na i-ésima zona e com destino na j-ésima zona.

Constantemente nos referimos a situação da rede de transportes em dois anos distintos. O primeiro é chamado de ANO BASE e corresponde ao ano em que é feito o planejamento. O segundo será usualmente citado como ANO META, e corresponde ao ano do futuro para o qual serão feitas as previsões das viagens. Representaremos por  $\{t_{ij}\}$  a matriz origem-destino da rede definida para o ano base onde teremos:

$t_{ij}$  = número de viagens originadas na zona i, com destino na zona j e observadas no ano base

$p_i = \sum_{j=1}^N t_{ij}$  = total de viagens produzidas pela zona i no ano base

$a_j = \sum_{i=1}^N t_{ij}$  = total de viagens atraídas pela zona j no ano base

$w = \sum_{i=1}^N p_i = \sum_{j=1}^N a_j$  = total de viagens na rede e observadas no ano base

Para facilitar a descrição poderemos muitas vezes nos referir a matriz origem-destino - definida para o ano base como matriz de viagens observadas ou simplesmente como matriz observada.

A matriz origem-destino da rede definida para o ano meta será representada por  $\{T_{ij}\}$ , de modo que:

$T_{ij}$  = número de viagens originadas na zona  $i$  com destino na zona  $j$  e previstas para o ano meta.

$P_i$  = total de viagens que a zona  $i$  produzirá no ano meta.

$A_j$  = total de viagens que serão atraídas pela zona  $j$  no ano meta.

$W = \sum_{i=1}^N P_i = \sum_{j=1}^N A_j$  = total no ano meta, das viagens na rede.

Com o objetivo de facilitar a descrição, a matriz origem-destino definida para o ano meta poderá ser chamada de matriz de viagens futuras ou simplesmente de matriz de viagens previstas.

## 2.2 - O PORQUE DA DISTRIBUIÇÃO DE VIAGENS

A distribuição de viagens é um processo de estimação do número de viagens feitas por unidade de tempo no presente, ou para uma data futura, entre cada par de zonas - de uma área de pesquisa. As viagens são usualmente subdivididas

das de acordo com os propósitos com que são realizadas e portanto são feitas previsões separadas para cada tipo de viagem considerado. De início é usualmente feita a estimação de quantas viagens começarão e terminarão em cada zona estabelecendo-se relações estatísticas no ano base entre os dados de viagens obtidos por levantamentos e variáveis sócio-econômicas das zonas. As variáveis sócio-econômicas envolvidas são projetadas para o ano meta, e utilizando-se das relações estatísticas estabelecidas no ano base, são estimados os totais de viagens originadas e atraídas por cada zona da área de pesquisa, consintindo no já citado processo de Geração de Viagens<sup>1</sup>.

O processo é chamado de distribuição de viagens porque o total conhecido das viagens originadas numa determinada zona e determinado pelo processo de Geração de Viagens será repartido entre as zonas destino da área pesquisada. Se o processo de geração de viagens nos fornece os totais de viagens originadas e atraídas por cada uma das N zonas da área de pesquisa, o problema da distribuição de viagens - poderia ser posto matematicamente da seguinte forma:

Determinar numa matriz  $\{T_{ij}\}$ ,  $N \times N$  que satisfaça as restrições abaixo

$$(2.1) \quad \sum_{i=1}^N T_{ij} = A_j \quad j=1, N \quad (N \text{ equações})$$

$$(2.2) \quad \sum_{j=1}^N T_{ij} = P_i \quad i=1, N \quad (N \text{ equações})$$

---

<sup>1</sup> Aqueles que estiverem interessados em maiores informações sobre Geração de Viagens podem consultar entre outros, "ACTA POLYTECHNICA SCANDINAVICA" [1966].

onde os  $A_j$  e  $P_i$  para  $i$  e  $j$  variando de 1 a  $N$  são obtidos do processo de Geração de Viagens.

O objetivo da distribuição de viagens portanto é encontrar  $N^2$  variáveis que correspondam aos números de viagens entre cada par de zonas, ou seja, em determinar a matriz origem-destino definida para o ano meta. Matematicamente portanto o problema não apresenta solução única para  $N > 2$  uma vez que dispomos de  $2N$  equações e  $N^2$  variáveis a determinar. Procuram-se então modelos que nos calculem a proporção mais correta possível do volume de tráfego que se origina numa zona e se dirige para as zonas da rede.

Os modelos de distribuição de viagens consistem essencialmente em admitir hipóteses básicas que melhor interpretem os motivos das viagens. Em sua grande maioria pode-se notar uma hipótese bem simples:

O número de viagens entre duas zonas cresce quando cresce uma medida de atração de viagens da zona destino e decresce quando cresce uma medida de resistência às viagens entre as duas zonas.

Não sendo mais do que representações matemáticas de fatores físicos e sociólogos observados, os modelos a serem introduzidos admitem a seguinte hipótese:

$$(2.3) \quad T_{ij} = P_i Z_{ij}$$

onde  $Z_{ij}$  é chamado de FATOR DE DISTRIBUIÇÃO

Podemos dizer que  $Z_{ij}$  representa a atração relativa que a zona  $j$  exerce sobre as viagens originadas na zona  $i$ , como também a resistência relativa as viagens da zona  $i$  para  $j$ . Os diversos modelos consistem fundamentalmen-

te em formalizar os fatores de distribuição  $Z_{ij}$ , sendo possível classificá-los da seguinte forma:

### 1. MODELOS DE FATOR DE CRESCIMENTO

### 2. MODELOS ANALÍTICOS

Os modelos analíticos formalizam diretamente  $Z_{ij}$  tentando identificar as variáveis que influenciam no número de viagens e reconhecem que as impedâncias relativas entre as centróides da rede de transportes podem mudar com o decorrer do tempo, sendo por vezes chamados de modelos de impedância dependente. Eles relacionam os dados de viagens obtidos no ano base com alguma função impedância para então utilizar desta relação e determinar a distribuição de viagens futuras, considerando as características do sistema de transportes que são esperadas existir no ano meta. Conhecendo-se a matriz origem-destino definida para a rede de transportes do ano base, podemos determinar os valores dos fatores de distribuição para o citado ano e que satisfazem os dados para todos os pares de zonas:

$$(2.4) \quad z_{ij} = \frac{t_{ij}}{p_i} \quad i \text{ e } j \text{ variando de } 1 \text{ a } N.$$

onde as letras minúsculas correspondem aos valores das variáveis no ano base.

Determinados os valores de  $z_{ij}$  que satisfazem os dados atuais, procura-se encontrar uma relação matemática entre os fatores de distribuição com características das zonas e da rede de transportes. Em seguida, utilizando a relação encontrada e as características das zonas e da rede de transportes que são esperadas existir no ano meta, são deter

minados os fatores de distribuição futuros, ou seja, são encontrados os valores de  $Z_{ij}$  para todos os pares de zonas. Com os valores de  $P_i$ ,  $i$  variando de 1 a  $N$ , determinados pelo Processo de Geração de Viagens e com os valores dos fatores de distribuição determinados para o ano meta, podemos determinar o número de viagens futuras entre todos os pares de zonas utilizando a equação [2,3]. Como exemplo de modelos analíticos podemos citar entre outros, o Modelo de Gravidade e o Modelo de Oportunidade, sendo que este último será amplamente discutido no capítulo 4.

Diferentes métodos tem sido utilizados para achar a forma de  $Z_{ij}$ , tentando identificar as variáveis que melhor representem o comportamento das viagens. A expressão de  $Z_{ij}$  em função de variáveis e parâmetros introduzidos deve ser tal que haja uma concordância entre os dados obtidos por levantamentos e os resultados obtidos com a aplicação do modelo para o ano base. Podemos dizer que de uma maneira geral os modelos analíticos consistem em admitir hipóteses que resultarão na definição das variáveis envolvidas e do tipo de equação que relaciona os fatores de distribuição com tais variáveis. Feito isto, é preciso quantificar as variáveis e os parâmetros introduzidos na equação de relacionamento de modo que os resultados obtidos com a aplicação do modelo sejam o mais próximo possível dos dados correspondentes obtidos através dos levantamentos. Isto consiste no que é usualmente chamado de CALIBRAÇÃO do modelo podendo chegar a ser uma das etapas mais exaustivas na utilização dos modelos analíticos. De um modo geral como os modelos não são perfeitamente corretos pois não descrevem exatamente o comportamento humano nem identificam e quantificam todas as causas que interferem nas viagens, é preciso fazer um processo iterativo para que haja uma melhor concordância com os dados levantados.

Nos modelos de fator de crescimento, que serão

introduzidos no capítulo seguinte, os fatores de distribuição  $Z_{ij}$  serão implicados por outras hipóteses admitidas.

Na figura 2.2 é mostrado em diagrama de blocos simplificado, como é obtida a matriz origem-destino da rede de transportes definida para o ano meta a partir da matriz origem-destino do ano base e dos resultados do processo de Geração de Viagens. Os modelos de fator de crescimento não requerem ajuste de parâmetros, ou seja, não precisam ser calibrados, e obtêm a matriz de viagens futuras operando iterativamente sobre a matriz origem-destino do ano base. Já os modelos analíticos são mais complexos e necessitam de um processo de calibração para que se determinem os parâmetros ainda desconhecidos. Em seguida é feita uma projeção para o ano meta das variáveis envolvidas, determinando-se os fatores de distribuição futuros. Com os resultados do processo de geração de viagens é obtida uma matriz  $\{T_{ij}\}$ , que em geral ainda não satisfaz as condições 2.1 e 2.2, sendo feito então um processo iterativo sobre esta matriz para que tais condições sejam satisfeitas.

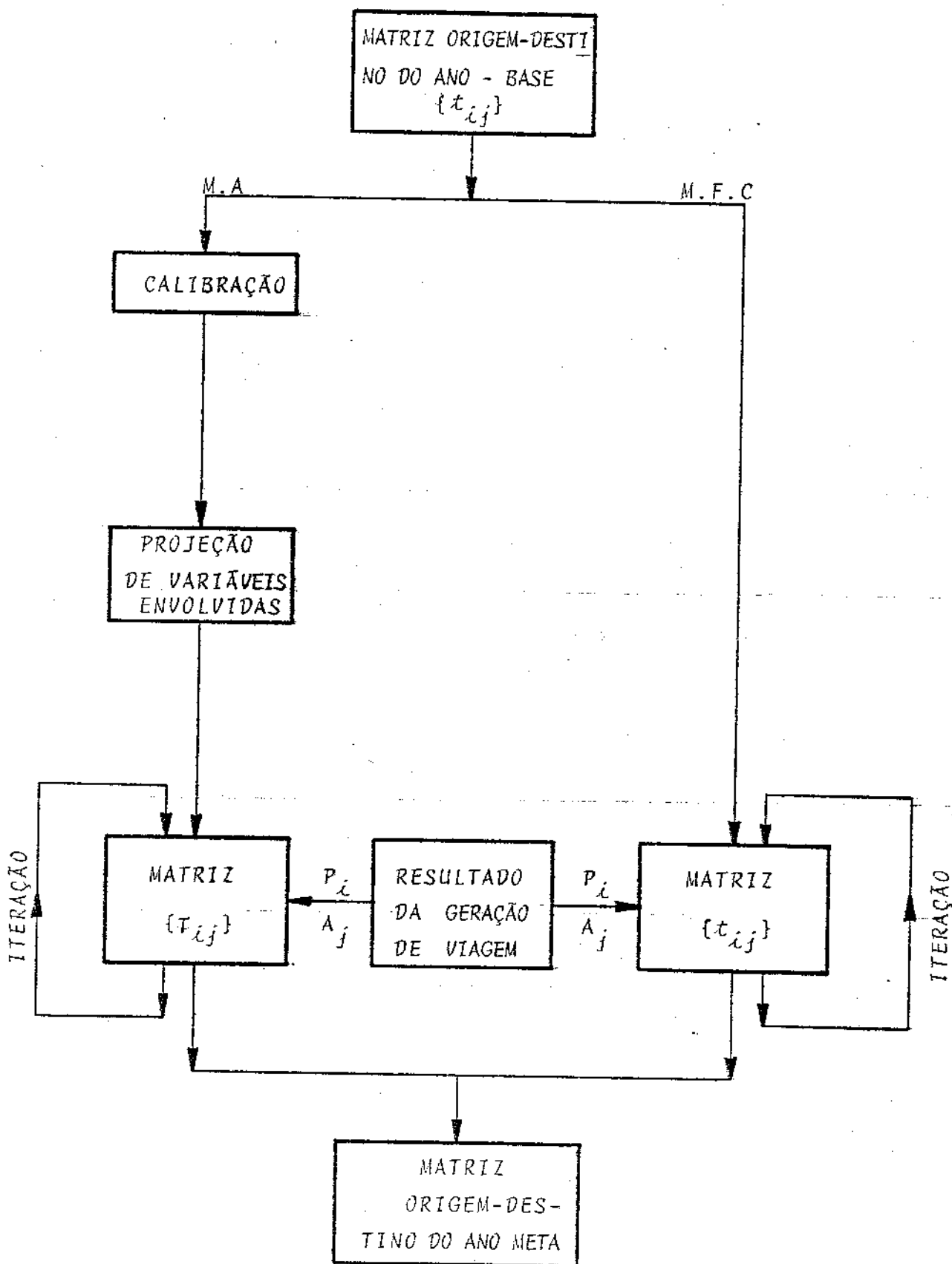


Figura 2.2 - DIAGRAMA DE BLOCOS SIMPLIFICADO DO PROCESSO DE DISTRIBUIÇÃO DE VIAGENS

CAPÍTULO III

MODELOS DE FATOR DE CRESCIMENTO

### 3.1 - DESCRIÇÃO DOS MODELOS DE FATOR DE CRESCIMENTO

Os primeiros métodos desenvolvidos para estimação de viagens interzonais foram baseados em fatores de crescimento. São relativamente simples e requerem pouco conhecimento das relações básicas sobre o tráfego. Foram utilizados inicialmente quando grandes quantidades de dados de tráfego começaram a ser coletados em levantamentos origem-destino simples, sem entretanto ser pesquisada a natureza complexa dos motivos das viagens, ou seja, os fatores físicos e sócio-econômicos que sobre elas interferem. Os modelos de fator de crescimento tomam como base para a previsão das viagens futuras a matriz origem-destino atual, fazendo-se necessário portanto um levantamento origem-destino de toda a área de pesquisa, para que tal matriz seja obtida.

Se as viagens forem divididas de acordo com o propósito que são realizadas, teremos um conjunto de matrizes, uma para cada propósito, representando as viagens entre cada par de zonas. Consideraremos somente viagens com mesmas finalidades dado que para mais de um propósito o procedimento é repetido tantas vezes quantos forem os tipos de viagens consideradas. Os totais projetados de viagens produzidas ( $P_i$ ) e atraídas ( $A_j$ ) por cada uma das zonas para o ano meta, são determinadas pelos modelos de Geração de Viagens e serão constantemente referidos como os totais desejados de produção e atração respectivamente. O objetivo dos modelos de fator de crescimento é derivar a partir da matriz  $\{t_{ij}\}$  de viagens observadas, uma matriz  $\{T_{ij}\}$  que satisfaça os totais desejados de atração a produção obtidos pela geração de viagens. Estas matrizes podem ser vistas a seguir:

$t_{11}$	$t_{12}$	$\dots$	$t_{1N}$	$p_1$
$t_{21}$	$t_{22}$	$\dots$	$t_{2N}$	$p_2$
$\vdots$	$\vdots$	$\vdots$	$\vdots$	$\vdots$
$\vdots$	$\vdots$	$\vdots$	$\vdots$	$\vdots$
$t_{N1}$	$t_{N2}$	$\dots$	$t_{NN}$	$p_N$
$a_1$	$a_2$	$\dots$	$a_N$	$w$
$T_{11}$	$T_{12}$	$\dots$	$T_{1N}$	$p_1$
$T_{21}$	$T_{22}$	$\dots$	$T_{2N}$	$p_2$
$\vdots$	$\vdots$	$\vdots$	$\vdots$	$\vdots$
$\vdots$	$\vdots$	$\vdots$	$\vdots$	$\vdots$
$T_{N1}$	$T_{N2}$	$\dots$	$T_{NN}$	$p_N$
$A_1$	$A_2$	$\dots$	$A_N$	$w$

onde

$$\sum_{j=1}^N t_{ij} = p_i$$

$$\sum_{i=1}^N t_{ij} = a_j$$

$$\sum_{i=1}^N p_i = \sum_{j=1}^N a_j = w$$

A matriz  $\{T_{ij}\}$  a ser obtida deve ser tal que sa tisfaça as seguintes restrições:

$$(3.1) \quad \sum_{j=1}^N T_{ij} = P_i \quad i = 1, N$$

$$(3.2) \quad \sum_{i=1}^N T_{ij} = A_j \quad j = 1, N$$

As condições 3.1 e 3.2 serão constantemente referidas como as restrições de produção e atração respectivamente. Diversos métodos de derivar a matriz  $\{T_{ij}\}$  tem sido propostos, incluindo entre eles os métodos de FATOR MÉDIO, FRATAR, DETROIT e FURNESS, que serão introduzidos. A derivação em todos os métodos de fator de crescimento é feita procurando-se constantes para multiplicar cada elemento da matriz  $\{t_{ij}\}$  original, ou seja:

$$(3.3) \quad T_{ij} = E_{ij} t_{ij}$$

onde os  $E_{ij}$  são chamados de FATORES DE EXPANSÃO.

No item 3.5 será demonstrado que a hipótese 3.3 recai sobre a hipótese básica admitida de que  $T_{ij} = P_i Z_{ij}$ .

O problema então pode ser posto da seguinte forma:

dada uma matriz  $\{t_{ij}\}$ , encontrar uma matriz  $\{T_{ij}\}$  tal que,

$$\sum_{j=1}^N T_{ij} = P_i \quad i = 1, N$$

$$\sum_{i=1}^N T_{ij} = A_j \quad j = 1, N$$

$$T_{ij} = E_{ij} t_{ij}$$

Infelizmente não é possível encontrar diretamente valores de  $E_{ij}$ , tal que a matriz  $\{T_{ij}\}$  satisfaça as restrições de atração e produção de viagens, fazendo-se necessário um processo iterativo. A partir da matriz  $\{t_{ij}\}$  será obtida uma seqüência de matrizes  $\{t_{ij}^{(1)}\}$ ,  $\{t_{ij}^{(2)}\}$ ,  $\{t_{ij}^{(3)}\}$  ... , da seguinte forma:

$$t_{ij}^{(0)} = t_{ij}$$

$$t_{ij}^{(1)} = e_{ij}^{(1)} \cdot t_{ij}^{(0)}$$

$$t_{ij}^{(n)} = e_{ij}^{(n)} \cdot t_{ij}^{(n-1)}$$

e portanto

$$(3.4) \quad t_{ij}^{(n)} = \left( \prod_{K=1}^n e_{ij}^{(K)} \right) t_{ij}$$

A cada iteração uma nova matriz  $\{t_{ij}^{(n)}\}$  é obtida a partir da anterior,  $\{t_{ij}^{(n-1)}\}$ , multiplicando-se cada elemento por uma constante  $e_{ij}^{(n)}$ . Cada um dos métodos de fator de crescimento anteriormente citados consiste num modo diferente de obter  $e_{ij}^{(n)}$ . Todos eles foram usados na prática e observou-se que a seqüência de matrizes  $\{t_{ij}\}$ ,  $\{t_{ij}^{(1)}\}$ ,  $\{t_{ij}^{(2)}\}$  ..., usualmente (mas nem sempre) converge, e que as somas das linhas e colunas da matriz limite são iguais aos  $P_i$ 's e  $A_j$ 's desejados. Se  $\{t_{ij}^*\}$  for considerada a matriz limite da seqüência, obtida com  $m$  iterações devido a uma precisão desejada, teremos:

$$t_{ij}^* = t_{ij}^{(m)} = \left( \prod_{K=1}^m e_{ij}^{(K)} \right) t_{ij}$$

com

$$\sum_{i=1}^N t_{ij}^* = A_j \quad j=1, N$$

$$\sum_{j=1}^N t_{ij}^* = P_i \quad i=1, N$$

Portanto  $\{t_{ij}^*\}$  satisfaz as restrições 3.1 e 3.2, sendo deste modo a matriz  $\{T_{ij}\}$  desejada e com :

$$T_{ij} = t_{ij}^* = \left[ \prod_{K=1}^m e_{ij}^{[K]} \right] t_{ij}$$

donde

(3.5)

$$E_{ij} = \prod_{K=1}^m e_{ij}^{[K]}$$

A maneira como cada um dos métodos define as constantes multiplicativas  $e_{ij}^{[n]}$  será mostrada nos itens subsequentes. No entanto é necessário que se faça a conceituação dos seguintes fatores de crescimento:

$$F_i^{(n)} = \frac{P_i}{p_i^{(n)}} = \text{fator de crescimento de produção de viagens da zona (centroide) } i, \text{ após a } n\text{-ésima iteração}$$

$$F_j^{(n)} = \frac{A_j}{a_j^{(n)}} = \text{fator de crescimento de atração de viagens da zona (ou centroide) } j, \text{ após a } n\text{-ésima iteração.}$$

$$C^{(n)} = \frac{W}{w^{(n)}} = \text{fator de crescimento médio das viagens da rede, após a } n\text{-ésima iteração.}$$

onde

$$p_i^{(n)} = \sum_{j=1}^N t_{ij}^{(n)}$$

$$a_j^{(n)} = \sum_{i=1}^N t_{ij}^{(n)}$$

$$\bar{w}^{(n)} = \sum_{i=1}^N p_i^{(n)} = \sum_{j=1}^N a_j^{(n)}$$

O problema de encontrar a matriz  $\{T_{ij}\}$  é algumas vezes posto de modo diferente, admitindo-se que os fatores de expansão que multiplicarão os  $t_{ij}$  são da forma  $r_i s_j$ . Portanto,

$$E_{ij} = r_i s_j$$

(3.6)

$$T_{ij} = r_i s_j t_{ij}$$

e o problema se resume em encontrar, para todo  $i$  e  $j$ , os  $r_i$  e  $s_j$  que são usualmente chamados de FATORES DE BALANCEAMENTO. Estes fatores devem ser tais que satisfaçam as condições 3.1 e 3.2, donde:

$$(3.7) \quad r_i \sum_{j=1}^N s_j t_{ij} = P_i \quad \text{para todo } i$$

$$(3.8) \quad s_j \sum_{i=1}^N r_i t_{ij} = A_j \quad \text{para todo } j$$

Infelizmente não tem sido possível resolver as equações 3.7 e 3.8 explicitamente. Contudo Evans, A.W (1970) demonstrou a existência de uma única única matriz -

$\{T_{ij}\}$  solução, desde que todos  $t_{ij}$  sejam maiores que zero<sup>1</sup>

### 3.2 FATOR MÉDIO

O fator de expansão para a  $n$ -ésima iteração,  $e_{ij}^{(n)}$ , é dado pela média aritmética, do fator de crescimento de produção do centroide  $i$  e do fator de crescimento de atração do centroide destino  $j$ , após a  $(n-1)$ -ésima iteração.

Portanto teremos:

$$(3.9) \quad e_{ij}^{(n)} = \frac{F_i^{(n-1)} + F_j^{(n-1)}}{2}$$

donde

$$(3.10) \quad t_{ij}^{(n)} = \frac{F_i^{(n-1)} + F_j^{(n-1)}}{2} \times t_{ij}^{(n-1)}$$

Os fatores de crescimento são modificados a cada iteração, e o processo iterativo deve continuar até que estes fatores se aproximem de um valor fixado próximo de 1. Se após a  $k$ -ésima iteração tivermos que  $F_i^{(k)} \cong F_j^{(k)} \cong 1$ , podemos parar o processo pois,

$$F_i^{(k)} = \frac{P_i}{p_i^{(k)}} \cong 1$$

$$F_j^{(k)} = \frac{A_j}{a_j^{(k)}} \cong 1$$

<sup>1</sup> De uma forma diferente da feita por Evans é demonstrado no apêndice A a existência de uma única matriz solução,  $\{T_{ij}\}$  quando  $E_{ij} = r_i s_j$  e  $t_{ij} > 0$ .

sendo alcançados portanto os totais desejados de atração e produção de viagens.

### 3.3 - DETROIT

Desenvolvido num estudo do "Detroit Metropolitan Area Traffic Study", este procedimento iterativo constitui uma tentativa de simplificação levando em consideração o fator de crescimento de toda a área, além dos fatores de crescimento individuais de cada zona. O fator de expansão para a  $n$ -ésima iteração é dado por:

$$(3.11) \quad e_{ij}^{(n)} = \frac{F_i^{(n-1)} \cdot F_j^{(n-1)}}{c^{(n-1)}}$$

Portanto

$$(3.12) \quad t_{ij}^{(n)} = \frac{F_i^{(n-1)} \cdot F_j^{(n-1)}}{c^{(n-1)}} \times t_{ij}^{(n-1)}$$

O processo iterativo é repetido até que a matriz  $\{t_{ij}^{(n)}\}$  satisfaça aos totais desejados de atração e produção, ou seja, até que os fatores de crescimento,  $F_i^{(n)}$  e  $F_j^{(n)}$  se aproximem de 1.

### 3.4 - FRATAR

A idéia de usar num processo iterativo para prever a matriz origem-destino futura foi originada por Thomas J. Fratar (1954) e usada inicialmente em estudos de

tráfego para a cidade de Cleveland, Ohio. A expressão que define o processo iterativo é:

$$(3.13) \quad e_{ij}^{(n)} = \frac{F_j^{(n-1)} \cdot P_i}{\sum_{j=1}^N x_{ij}^{(n-1)} \cdot F_j^{(n-1)}}$$

Portanto

$$(3.14) \quad x_{ij}^{(n)} = \frac{F_j^{(n-1)} \cdot P_i}{\sum_{j=1}^N x_{ij}^{(n-1)} \cdot F_j^{(n-1)}} \times x_{ij}^{(n-1)}$$

Esta última expressão é a que consta na bateria de programas computacionais do Bureau of Public Road (BPR) e como pode ser vista em Federal Highway Administration [1970].

De maneira análoga aos métodos já citados, o processo iterativo deve continuar até que se consigam os totais desejados de atração e produção de viagens, dentro de uma margem de erro aceitável.

### 3.5 - FURNESS

O método de Furness, ao contrário dos demais métodos não considera simultaneamente numa mesma iteração, os fatores de crescimento de produção e atração de viagens. Consiste de operações alternadas nas linhas e colunas da matriz de viagens, até que a matriz obtida satisfaça aos totais desejados nas linhas e colunas. Evans, [1970, pp.22-32] mostrou que o procedimento iterativo de Furness, quando apli

gado a uma matriz  $\{t_{ij}\}$ , com elementos  $t_{ij} > 0$ , resultará - numa única matriz  $\{T_{ij}\}$ , com elementos da forma,  $T_{ij} = r_i \Delta_i t_{ij}$ . O processo iterativo pode ser expresso como se segue:

$$t_{ij}^{(0)} = t_{ij}$$

$$t_{ij}^{(1)} = F_i^{(0)} \cdot t_{ij}^{(0)}$$

(3.15)

$$t_{ij}^{(2n)} = F_j^{(2n-1)} \cdot t_{ij}^{(2n-1)} \quad \text{para } n \geq 1$$

(3.16)

$$t_{ij}^{(2n+1)} = F_i^{(2n)} \cdot t_{ij}^{(2n)} \quad \text{para } n \geq 1$$

onde

$$F_i^{(0)} = \frac{P_i}{P_i^{(0)}} = \frac{P_i}{p_i}$$

Este procedimento que começa operando nas linhas da matriz origem-destino do ano base, incrementa as viagens produzidas no controide  $i$  nas iterações pares, para que as somas nas linhas alcancem os totais desejados ( $P_i$ ). Nas iterações ímpares o procedimento força a satisfação das somas nas colunas e alternadamente o processo continua até que sejam conseguidos simultaneamente os totais desejados - nas linhas e colunas, ou seja, até que os fatores de crescimento fiquem aproximadamente iguais a 1. A primeira iteração tanto pode ser nas linhas como nas colunas de matriz origem-destino do ano base, embora possam ser obtidas matrizes diferentes. Contudo, se para o ano base a matriz origem-destino for composta de elementos  $t_{ij}$  maiores que zero, Evans, A.W.

(1970) mostrou que o processo convergirá para uma única matriz, independentemente de onde se operou a primeira iteração. Na demonstração de Evans, a condição de  $t_{ij} > 0$  é apenas uma condição de suficiência. Contudo, experiências de estudiosos no assunto tem demonstrado que na maioria dos casos - os dois procedimentos, correspondentes a operação inicial - nas linhas ou nas colunas, tem convergido para a mesma matriz final, mesmo que a matriz original contenha elementos  $t_{ij}$  nulos.

### 3.6 - RELAÇÃO ENTRE OS FATORES DE DISTRIBUIÇÃO E OS FATORES DE EXPANSÃO

Não é difícil de mostrar que a hipótese admitida nos modelos de fator de crescimento de que  $T_{ij} = E_{ij} t_{ij}$  recai na hipótese básica introduzida no Capítulo 2, de que  $T_{ij} = P_i Z_{ij}$ . Consideraremos que todos os processos iterativos terminam com  $m$  iterações de modo que

$$(3.17) \quad T_{ij} = t_{ij}^{(m)} = E_{ij} t_{ij}$$

Vamos tentar encontrar os fatores de distribuição  $Z_i$ , tal que:

$$(3.18) \quad T_{ij} = P_i Z_{ij}$$

De 3.17 e 3.18 teremos que

$$P_i Z_{ij} = E_{ij} t_{ij}$$

mas  $P_i = F_i^{(0)}$ .  $p_i$  e a equação acima fixará da seguinte forma:

$$Z_{ij} = \frac{E_{ij}}{F_i^{(0)}} \times \frac{t_{ij}}{p_i}$$

como os fatores de distribuição do ano base são dados por

$$z_{ij} = \frac{t_{ij}}{P_i} \quad \text{teremos que}$$

(3.19)

$$Z_{ij} = \frac{E_{ij}}{F_{ij}^{(0)}} \times z_{ij}$$

Portanto admitir que  $T_{ij} = E_{ij} t_{ij}$  e considerar os fatores de distribuição dados pela equação 3.19, recai no fato de que  $T_{ij} = P_i Z_{ij}$ .

CAPÍTULO IV

O MODELO DE OPORTUNIDADES

#### 4.1 - CONSIDERAÇÕES

O modelo de oportunidades foi desenvolvido por Morton Schneider [Ruiter, 1967a, p.1] e possui uma característica que o distingue dos demais que é sua única variável independente chamada de OPORTUNIDADE INTERVENIENTE. Consideremos um ponto de onde partem diversos viajantes com um propósito específico. Nas cercanias deste ponto existem diversos pontos que podem satisfazer o propósito pelo qual um viajante se prontificou a realizar sua viagem, ou seja, existem diversos pontos candidatos a destino de viagem. Cada um destes pontos candidatos constitui uma oportunidade para o viajante terminar sua viagem. Schneider sugere que, à medida que os viajantes se afastam de um ponto, a probabilidade das viagens terminarem é proporcional ao número de viajantes insatisfeitos e ao número de oportunidades já alcançadas. Por viajante insatisfeito é entendido aquele que não aceitou como destino nenhuma oportunidade das que lhe surgiu.

Considerando as oportunidades ordenadas crescentemente segundo impedância crescente a partir da origem, chamando de  $V$  o número acumulado já alcançado e representando por  $Q$ , a proporção de viajantes que continuam além de  $V$ , teremos de acordo com Schneider [Harris, 1964, p.1] que:

(4.1)

$$\frac{dQ}{dV} = -L Q$$

onde  $L$  é uma constante positiva

Como para  $V = 0$  a proporção de viajantes insatisfeitos é 1 a integração da equação acima nos leva a:

$$(4.2) \quad Q = e^{-LV}$$

Podemos dizer então que o Modelo de Oportunidades distribui ao longo de todos os possíveis destinos, ou seja, de todas as oportunidades, os destinos reais de todas as viagens com uma determinada origem. Do modo como foi proposto por Schneider e como pode ser visto nas equações 4.1 e 4.2, a distribuição de viagens depende sobremaneira do valor atribuído ao parâmetro  $L$ . Um valor constante de  $L$  requer algumas hipóteses restritivas [Harris, 1964, p.1] e mostradas a seguir:

- i - Todos os viajantes estão igualmente propensos a viajar pelo propósito considerado
- ii - A separação espacial das oportunidades é indiferente para os viajantes
- iii - Todas as oportunidades tem a mesma chance de satisfazerem um dado propósito de viagem
- iiii - Os viajantes percebem todas as oportunidades com a mesma clareza.

#### 4.2 - HIPÓTESES BÁSICAS E FORMULAÇÃO MATEMÁTICA

O modelo de oportunidades está baseado nas seguintes hipóteses como pode ser visto em Ruiter [1967a, p1]

- 1 - O custo total das viagens originadas num

ponto é minimizado sujeito à condição de que cada oportunidade se for considerada tem uma determinada probabilidade de ser aceita como destino.

- 2 - A probabilidade de uma oportunidade ser aceita como destino, se for considerada, é constante independente da ordem na qual são consideradas

A minimização do custo total das viagens fica subentendida à medida que os viajantes tentam encontrar um destino aceitável o "mais perto" possível de sua origem. Contudo desde que as oportunidades próximas da origem não se não aceitas como destino para algumas viagens devido à função de probabilidade que governará a distribuição estas viagens serão então forçadas a terminarem em oportunidades mais distantes.

Se  $P\{V\}$  é a probabilidade de uma viagem terminar entre as  $V$  primeiras oportunidades ordenadas segundo impedância crescente a partir da origem então as hipóteses 1 e 2 anteriormente citadas nos levam à seguinte formulação matemática em termos diferenciais:

(4.3)

$$dP = (1 - P\{V\}) L dV$$

onde

$dP$  = probabilidade de uma viagem terminar considerando  $dV$  possíveis oportunidades.

$V$  = número de oportunidades já alcança -

das (chamado ainda de volume de oportu-  
nidades subtendido)

$L$  = probabilidade constante de uma oportu-  
nidade considerada ser aceita como des-  
tino

Tendo em vista que  $P[0]$  deve ser igual a zero,  
a integração da equação 4.3 nos fornece que:

(4.4)

$$P(V) = 1 - e^{-LV} \quad \text{para } V > 0$$

Na figura 4.1 podemos ver  $P(V)$  em função de  $V$

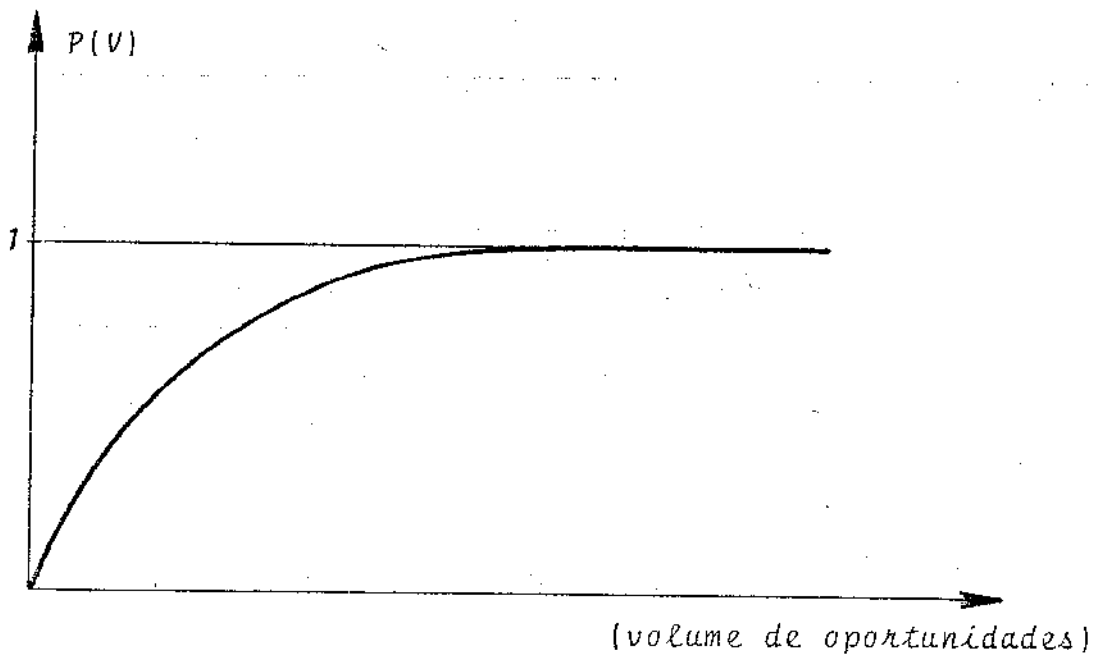


Figura 4.1 -  $P(V) \times V$

Podemos observar que a expressão 4.4 está coerente com a equação 4.2 uma vez que  $P[V] = 1 - Q$ . O número das viagens originadas num ponto considerado que terminam dentro das  $V$  primeiras oportunidades é dado pelo produto do total de viagens originadas neste ponto pela probabilidade de uma viagem terminar nas  $V$  primeiras oportunidades:

$$T[V] = P(1 - e^{-LV})$$

onde  $P$  é o total de viagens originadas no ponto considerado.

#### 4.3 - O MODELO REVISADO

A distribuição de probabilidade como formulada anteriormente não garante a distribuição de 100% das viagens produzidas num ponto. Isto pode ser observado tendo em vista que a equação 4.4 se aproxima de 1 somente quando o volume  $V$  de oportunidades tende a infinito. Na prática tem-se observado segundo aplicações já realizadas [Ruiter, 1967b, pp.3] que uns 10% a 20% das viagens produzidas não são consideradas. Tal fato motivou o desenvolvimento de um modelo revisado.

A equação 4.4 nos diz que a probabilidade de um viajante aceitar um destino dentro de um certo volume  $V_N$  de oportunidades é dada por

{4.6}

$$P[V_N] = 1 - e^{-LV_N}$$

No entanto, quando é sabido que as viagens produzidas terminam antes de  $V_N$  oportunidades serem consideradas, a probabilidade das viagens terminarem antes de  $V$

oportunidades serem consideradas deveria ser condicionada - ao fato acima mencionado. Tal probabilidade condicionada se nã desenvolvida a seguir mas para isto introduziremos as se guintas probabilidades:

$P[V/V_N]$  = probabilidade de uma viagem terminar dentro das  $V$  primeiras oportunidades dado que terminam dentro de um volume  $V_N$  de oportunidades

$P[V, V_N]$  = probabilidade de uma viagem terminar dentro de um volume  $V$  de oportunidades e antes de alcançar  $V_N$  oportunidades.

$P[V_N]$  = probabilidade de uma viagem terminar dentro de  $V_N$  oportunidades

$P[V/V_N]$   $\bar{e}$  dada por

$$(4.7) \quad P[V/V_N] = \frac{P[V, V_N]}{P[V_N]}$$

onde  $P[V, V_N]$   $\bar{e}$  igual a  $P[V]$  pelo fato de que todas as  $V$  primeiras oportunidades estão incluĩdas em  $V_N$ . Portanto tere - mos que

$$(4.8) \quad P[V/V_N] = \frac{P[V]}{P[V_N]}$$

Considerando as equações 4.4 e 4.6 podemos escrever que

$$(4.9) \quad P[V/V_N] = \frac{1 - e^{-LV}}{1 - e^{-LV_N}} \quad \text{para } 0 \leq V \leq V_N$$

Podemos ver pela equação 4,5 que  $P[V/V_N]$  se aproxima de 1 - quando  $V$  se aproxima de  $V_N$ , o que garante que todas as viagens produzidas sejam distribuídas ao longo das  $V_N$  oportuni-  
dades.

#### 4.4 - NOTAÇÃO

Dada uma rede de transportes utilizaremos a notação a seguir observando que as variáveis em letra maiúscula se referem aos valores no ano meta e em letras minúsculas ao ano base. Deste modo se  $C_{ij}$  representa a impedância às viagens do centroide  $i$  para o centroide  $j$  no ano meta,  $c_{ij}$  representará a impedância às referidas viagens no ano base. O mesmo valerá para todas as variáveis abaixo introduzidas:

$T_{ij}$  = número de viagens do centroide origem  $i$  para o centroide destino  $j$ .

$P_i$  = total de viagens produzidas pelo centroide  $i$

$A_j$  = total de viagens atraídas pelo centroide  $j$

$C_{ij}$  = impedância às viagens do centroide  $i$  para o centroide  $j$

$X_{ij}$  = conjunto de centroides incluindo o centroide  $i$  de  $j$  e todos os centroides  $k$  para os quais

$$C_{ik} \leq C_{ij}$$

$Y_{ij}$  = conjunto de centroides incluindo todos os centroides  $k$  para os quais  $C_{ik} < C_{ij}$ , mas excluindo o centroide  $j$ .

$U_{ij} = \sum_{k \in X_{ij}} A_k$  = total de viagens atraídas pelas centroides pertencentes ao conjunto  $X_{ij}$

$V_{ij} = \sum_{k \in Y_{ij}} A_k$  = total de viagens atraídas pelos centroides pertencentes ao conjunto  $Y_{ij}$

$L_i$  = probabilidade constante de uma oportunidade, se for considerada, ser aceita como destino para as viagens produzidas pelo centroide  $i$

$N$  = número de centroides da rede.

#### 14.5 - O MODELO IRRESTRITO

O desenvolvimento do modelo descrito por Scheider [1960] e posteriormente por Whitaker e West [1968] começa assumindo que o número de viagens do centroide  $i$  para um centróide  $j$  é igual ao produto do total de viagens produzidas por  $i$  pela probabilidade de que uma viagem produzida pelo centróide  $i$  encontre no centróide  $j$  um destino aceitável. Esta probabilidade pode ser expressa como a diferença de dois valores da função de probabilidade acumulativa que governa a distribuição, que são a probabilidade-

de que uma viagem produzida por  $i$  termine no centróide  $j$  ou em qualquer centróide cuja impedância a partir de  $i$  é menor que a impedância de  $i$  a  $j$  e a probabilidade que uma viagem produzida por  $i$  termine em algum centróide entre  $i$  e  $j$  (excluindo  $j$ ). Usualmente como medida do número de oportunidades de um centróide é considerado o número de viagens atraídas por este centróide e portanto teremos:

$P(U_{ij})$  = probabilidade de que uma viagem produzida pelo centróide  $i$  termine em algum centróide do conjunto  $X_{ij}$

$P(V_{ij})$  = probabilidade de que uma viagem produzida pelo centróide  $i$  termine em algum centróide do conjunto  $V_{ij}$ .

Portanto tendo em vista as considerações anteriores, o número de viagens entre o centróide  $i$  e o centróide  $j$  será dado por:

[4.10]

$$T_{ij} = P_i (P(U_{ij}) + P(V_{ij}))$$

É interessante observar ainda que

[4.11]

$$U_{ij} = V_{ij} + A_j$$

Pelo até agora discorrido podemos ver que a probabilidade de uma viagem, originária de  $i$ , terminar num centróide  $j$  é uma função do "tamanho" do centróide  $j$  (medido pelo total de viagens por ele atraídas), da proximidade-relativa deste centróide  $j$  ao centróide origem  $i$  e dos "tamanhos" dos centróides mais próximos da origem.

A fim de encontrar os valores de  $T_{ij}$ , as funções acumulativas de probabilidade  $P\{U_{ij}\}$  e  $P\{V_{ij}\}$  devem ser determinadas. O modelo irrestrito determina  $P\{U_{ij}\}$  e  $P\{V_{ij}\}$  utilizando 4.4 e considerando um valor de  $L$  para cada centróide origem teremos:

[4.12]

$$P\{U_{ij}\} = 1 - e^{-L_i U_{ij}}$$

[4.13]

$$P\{V_{ij}\} = 1 - e^{-L_i V_{ij}}$$

Substituindo 4.12 e 4.13 na equação 4.10, o número de viagens entre o centróide  $i$  e o centróide  $j$  será dado por:

[4.14]

$$T_{ij} = P_i [e^{-L_i V_{ij}} - e^{-L_i U_{ij}}]$$

Desde que a formulação do modelo requer que os centróides sejam considerados em ordem crescente de impedância (acesso) a partir do centróide origem, é necessário que um algoritmo de caminho mínimo seja incorporado ao procedimento para aplicação do modelo. Sem perdas de generalidades podemos supor que os centróides estão numerados segundo uma ordem de acesso a partir do centróide origem  $i$  como mostra a figura 4.2.

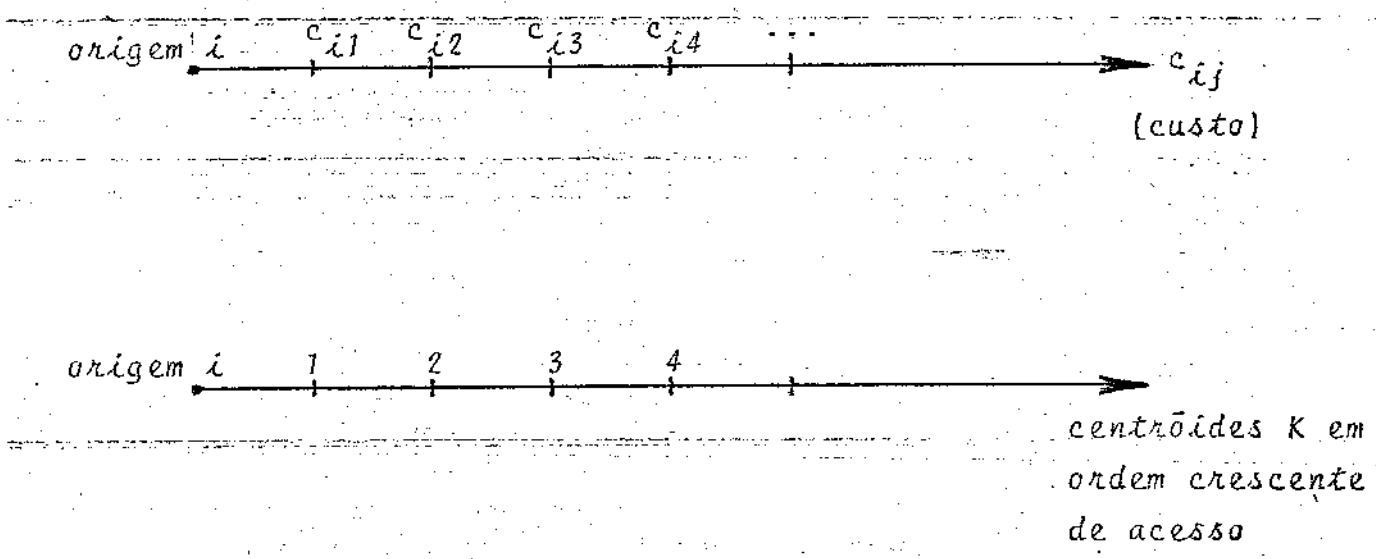


Figura 4.2

Os conjuntos  $Y_{ij}$  e  $X_{ij}$  ficariam ent\u00e3o dados por:

$Y_{i1} = \emptyset$	
$Y_{i2} = \{1\}$	$X_{i1} = \{1\}$
$Y_{i3} = \{1, 2\}$	$X_{i2} = \{1, 2\}$
$Y_{i4} = \{1, 2, 3\}$	$X_{i3} = \{1, 2, 3\}$
$\vdots$	$\vdots$
$\vdots$	$\vdots$
$\vdots$	$\vdots$
$Y_{iN} = \{1, 2, \dots, [N-1]\}$	$X_{in} = \{1, 2, 3, \dots, N\}$

Considerando como medida do n\u00famero de oportu

nidades de um centróide o total de viagem por ele atraídas, podemos como mostra a figura 4.3 visualizar os volumes de oportunidades a partir do centróide  $i$ :

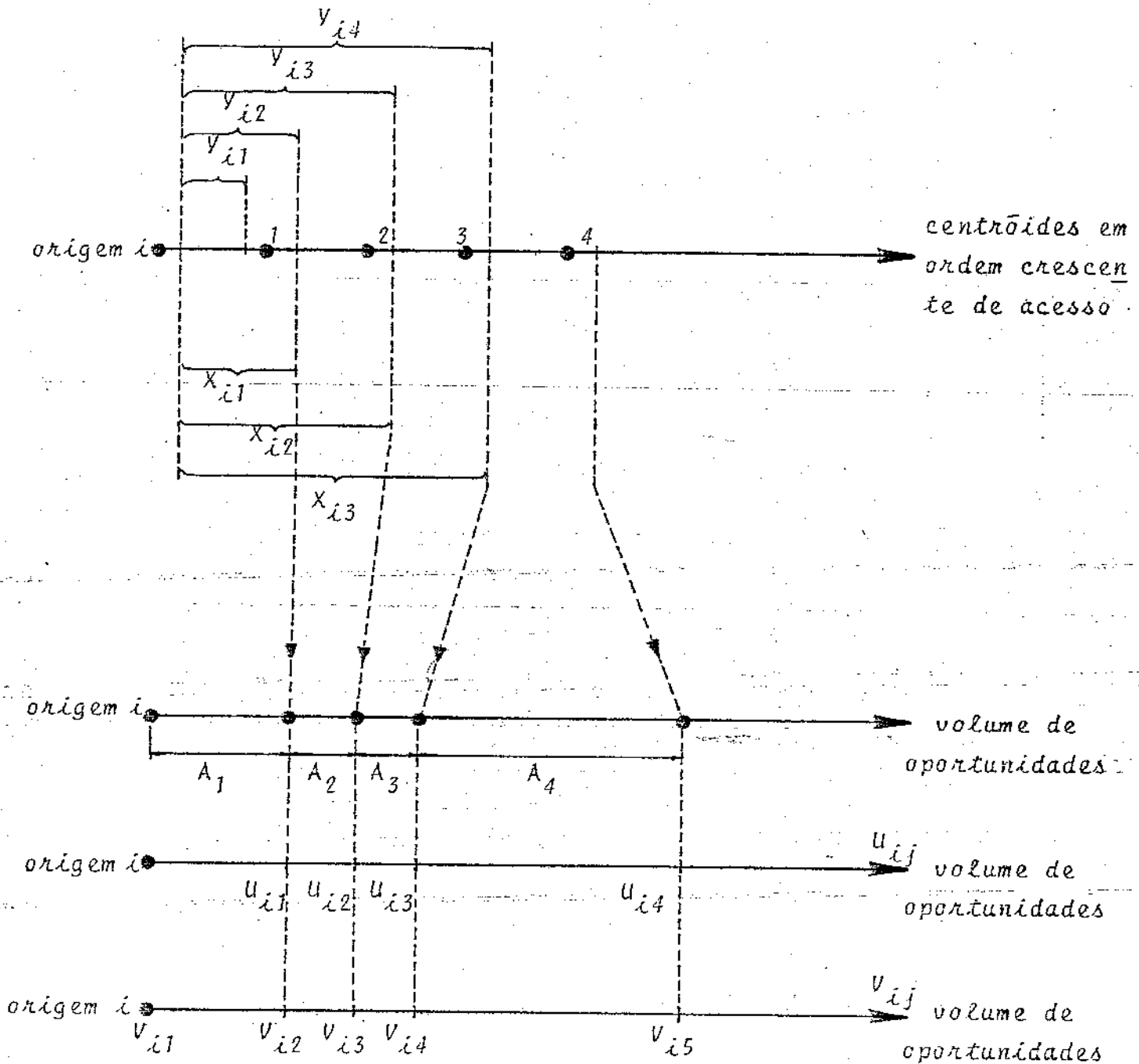


Figura 4.3

#### 4.6 - O MODELO DE OPORTUNIDADES SATISFAZENDO A RESTRIÇÃO DE PRODUÇÃO

Na matriz de viagens resultante da aplicação do modelo irrestrito a soma das viagens originadas no centróide  $i$ , ou seja, soma na linha  $i$ , pode não necessariamente ser igual a  $P_i$  que é o total estimado de viagens produzidas pelo centróide  $i$ . Ruiters [1967 b, p.6] sugeriu a versão-revisada do modelo, baseada em probabilidades condicionais e mostrada no Item IV.3, a fim de que as restrições de produção dadas por,

(4.15)

$$\sum_{j=1}^N T_{ij} = P_i \quad \text{para } i = 1, N$$

sejam satisfeitas

A probabilidade  $P(U_{ij}/U_{iN})$ , definida como a probabilidade de que uma viagem originada no centróide  $i$  termine em algum centróide do conjunto  $X_{ij}$  dado que ela termina dentro do conjunto  $X_{iN}$ , pode ser escrita a partir da equação 4.9 como se segue:

(4.16)

$$P(U_{ij}/U_{iN}) = \frac{1 - e^{-L_i U_{ij}}}{1 - e^{-L_i U_{iN}}}$$

Analogamente teremos:

(4.17)

$$P(V_{ij}/U_{iN}) = \frac{1 - e^{-L_i V_{ij}}}{1 - e^{-L_i U_{iN}}}$$

Portanto a expressão para calcular o número de viagens de um centróide  $i$  para um centróide  $j$ , baseada nas probabilidades condicionadas dadas por 4.16 e 4.17 será:

(4.18)

$$T_{ij} = P_i \frac{e^{-L_i V_{ij}} - e^{-L_i U_{ij}}}{1 - e^{-L_i U_{iN}}}$$

Esta expressão anterior pode também ser obtida fazendo-se uma iteração do método de Furness na matriz de viagens obtida com o modelo irrestrito. O total das viagens produzidas por um centróide  $i$  e resultante da aplicação do modelo irrestrito é dado por:

(4.19)

$$\sum_{j=1}^N T_{ij} = \sum_{j=1}^N P_i [e^{-L_i V_{ij}} - e^{-L_i U_{ij}}]$$

Sem perdas de generalidades, e como já foi dito anteriormente, podemos assumir que os centróides  $j$  estão numerados em ordem crescente de impedância (acesso) a partir da origem  $i$ . Portanto a expressão 4.15 se reduz a ,

(4.20)

$$\sum_{j=1}^N T_{ij} = P_i [1 - e^{-L_i U_{iN}}]$$

desde que  $V_{i1} = 0$  e  $V_{ij} = U_{i(j-1)}$

Fazendo-se uma iteração do método de Furness nas linhas da matriz de viagem, cada elemento  $T_{ij}$  deve ser multiplicado pela razão entre  $P_i$ , que é a soma desejada dos elementos da linha  $i$ , e a soma dos desta linha. Portanto  $T_{ij}^{(1)}$ , resultante da aplicação da primeira iteração sobre a

matriz de viagem obtida pelo modelo irrestrito, será dado - por:

$$T_{ij}^{(1)} = T_{ij} \frac{P_i}{\sum_{j=1}^N T_{ij}}$$

Substituindo 4.20 na equação anterior teremos

$$T_{ij}^{(1)} = T_{ij} \frac{P_i}{P_i(1 - e^{-L_i U_{iN}})}$$

donde

$$(4.21) \quad T_{ij}^{(1)} = P_i \frac{e^{-L_i V_{ij}} - e^{-L_i V_{iN}}}{1 - e^{-L_i U_{iN}}}$$

que é a mesma expressão dada por 4.18

#### 4.7 - O MODELO DE OPORTUNIDADE SATISFAZENDO A RESTRIÇÃO DE ATRAÇÃO

A restrição de atração é dada por:

$$(4.22) \quad \sum_{i=1}^N T_{ij} = A_j \quad j = 1, N$$

A expressão para o modelo de oportunidade satisfazendo a restrição de atração pode ser obtida introduzindo um fator de ajuste para cada coluna da matriz de viagens obtida pelo modelo irrestrito. Teremos então,

(4.23)

$$T_{ij} = s_j P_i \left( e^{-L_i V_{ij}} - e^{-L_i U_{ij}} \right)$$

onde  $s_j$  é o fator de ajuste para a coluna  $j$ . Substituindo a expressão anterior em 4.22 teremos:

$$\sum_{i=1}^N s_j P_i \left( e^{-L_i V_{ij}} - e^{-L_i U_{ij}} \right) = A_j$$

donde

(4.24)

$$s_j = \frac{A_j}{\sum_{i=1}^N P_i \left( e^{-L_i V_{ij}} - e^{-L_i U_{ij}} \right)}$$

e a expressão para  $T_{ij}$  ficará da seguinte forma:

(4.25)

$$T_{ij} = P_i A_j \frac{e^{-L_i V_{ij}} - e^{-L_i U_{ij}}}{\sum_{i=1}^N P_i \left( e^{-L_i V_{ij}} - e^{-L_i U_{ij}} \right)}$$

Esta expressão pode ser obtida aplicando-se uma iteração do método de Furness às colunas da matriz de viagens obtida pelo modelo irrestrito. Cada elemento  $T_{ij}$  de uma coluna  $j$  deve ser multiplicado pela razão entre a soma desejada da coluna e a soma real dos elementos desta coluna. Portanto obtemos uma matriz  $\{T_{ij}^{(1)}\}$  cujos elementos são da dos por

$$T_{ij}^{(1)} = T_{ij} \frac{A_j}{\sum_{i=1}^N T_{ij}}$$

onde  $T_{ij}$  é obtido pela aplicação do modelo irrestrito, sendo dado por

$$T_{ij} = P_i \{ e^{-L_i^V} v_{ij} - e^{-L_i^U} u_{ij} \}$$

Podemos escrever então que

$$(4.26) \quad T_{ij}^{(1)} = P_i A_j \frac{e^{-L_i^V} v_{ij} - e^{-L_i^U} u_{ij}}{\sum_{i=1}^N P_i \{ e^{-L_i^V} v_{ij} - e^{-L_i^U} u_{ij} \}}$$

Portanto a expressão 4.25, que foi obtida com a introdução dos fatores de ajuste, também pode ser obtida aplicando-se uma iteração do método de Furness à matriz de viagens obtida pelo modelo irrestrito, uma vez que é idêntica à expressão 4.26.

#### 4.8 - O MODELO DE OPORTUNIDADE COM DUPLA RESTRIÇÃO

Embora expressões analíticas possam ser obtidas para o modelo de oportunidade que satisfaça a restrição de atração ou a restrição de produção, a satisfação simultânea destas duas restrições só é possível através de um procedimento iterativo.

Wilson (1967, p.255) sugeriu que o método iterativo de Furness fosse aplicado à matriz de viagens obtida pelo modelo irrestrito a fim de obter uma matriz de viagens que satisfaça as restrições de produção e atração simultaneamente, ou seja, que as somas nas linhas e nas colunas dêem os totais desejados. A fim de fazer ambas as restrições as itera

ções devem ser feitas alternadamente nas linhas e nas colunas até que os totais desejados de viagens, atraídas e produzidas, sejam alcançadas. Entretanto este método sugerido por Wilson não tem sido muito utilizado.

O procedimento iterativo mais utilizado é o que consta na bateria de programas do Bureau of Public Roads (Federal Highway Administration, 1972, p. IV-65) e que será mostrado a seguir

#### 4.8.1 - O MÉTODO DO BPR. (Bureau of Public Roads)

Este procedimento iterativo pode ser descrito do seguinte modo:

$$(4.27) \quad T_{ij}^{(n)} = P_i \left( e^{-L_i V_{ij}^{(n)}} - e^{-L_i U_{ij}^{(n)}} \right)$$

$$(4.28) \quad A_j^{(n)} = \frac{A_j}{\sum_{i=1}^N T_{ij}^{(n-1)}} \cdot A_j^{(n-1)}$$

$$A_j^{(0)} = A_j$$

onde

$T_{ij}^{(n)}$  = número de viagens do centróide  $i$  para o centróide  $j$  após a  $n$ -ésima iteração

$A_j^{(n)}$  = parâmetro de atração do centróide  $j$  para a  $n$ -ésima iteração

$$U_{ij}^{(n)} = \sum_{K \in X_{ij}} A_K^{(n)} = V_{ij}^{(n)} + A_j^{(n)}$$

$$V_{ij}^{(n)} = \sum_{K \in Y_{ij}} A_K^{(n)}$$

Podemos ver pela equação 4.27 que este procedimento iterativo consiste em aplicações sucessivas do modelo irrestrito. Inicialmente  $A_j^{(0)}$  é feito igual a  $A_j$  que é o total desejado de viagens atraídas pelo centróide  $j$ . A cada iteração os parâmetros de atração são modificados segundo a equação 4.28, são encontrados os novos  $U_{ij}^{(n)}$  e  $V_{ij}^{(n)}$ , para em seguida se determinar  $T_{ij}^{(n)}$ . O procedimento iterativo continua até que a diferença dada por  $(A_j^{(n)} - A_j^{(n-1)})$  se aproxime de um valor especificado próximo de zero.

#### 4.8.2 - O MÉTODO DO BPR MODIFICADO

O procedimento iterativo de parâmetros de atração do BPR descrito anteriormente não garante que as restrições de produção de viagens sejam satisfeitas, a menos que os termos  $L_i U_{ij}$  sejam grandes. Isto provém do fato de que a expressão utilizada para a determinação de  $T_{ij}^{(n)}$  é do modelo irrestrito.

Na descrição que se segue, o procedimento do BPR foi modificado para satisfazer as restrições de produção de viagens a cada iteração. Pretende-se verificar se tal fato acelera a convergência do processo iterativo. Para tal, ao invés de usar a expressão do modelo irrestrito, utiliza-se a do modelo revisado, sendo portanto  $T_{ij}^{(n)}$  determinado a partir da equação 4.18:

[4.29]

$$T_{ij}^{(n)} = P_i \frac{e^{-L_i V_{ij}^{(n)}} \dots e^{-L_i U_{ij}^{(n)}}}{1 - e^{-L_i U_{iN}}}$$

Os parâmetros de atração  $A_j^{(n)}$  continuam sendo modificados segundo a equação 4.28.

#### 4.8.3 - O MÉTODO DE FURNESS

Já descrito anteriormente no capítulo III, o método de Furness foi sugerido por Wilson para ser aplicado à matriz de viagens obtida com o modelo irrestrito, a fim de se obter uma matriz que satisfaça as restrições de atração e produção de viagens.

O procedimento a ser seguido é o mesmo descrito no modelo de fator de crescimento de Furness do capítulo III. No entanto ao invés de se usar a matriz de viagens observadas no ano base, usa-se a matriz obtida pela aplicação do modelo irrestrito. Na figura 4.4 são mostradas duas possibilidades de se obter a matriz de viagens para o ano meta a partir de aplicações do método de Furness: A aplicação direta sobre a matriz observada no ano base - constitui o já citado Modelo de Fator de Crescimento de Furness. A outra possibilidade é a própria sugestão de Wilson.

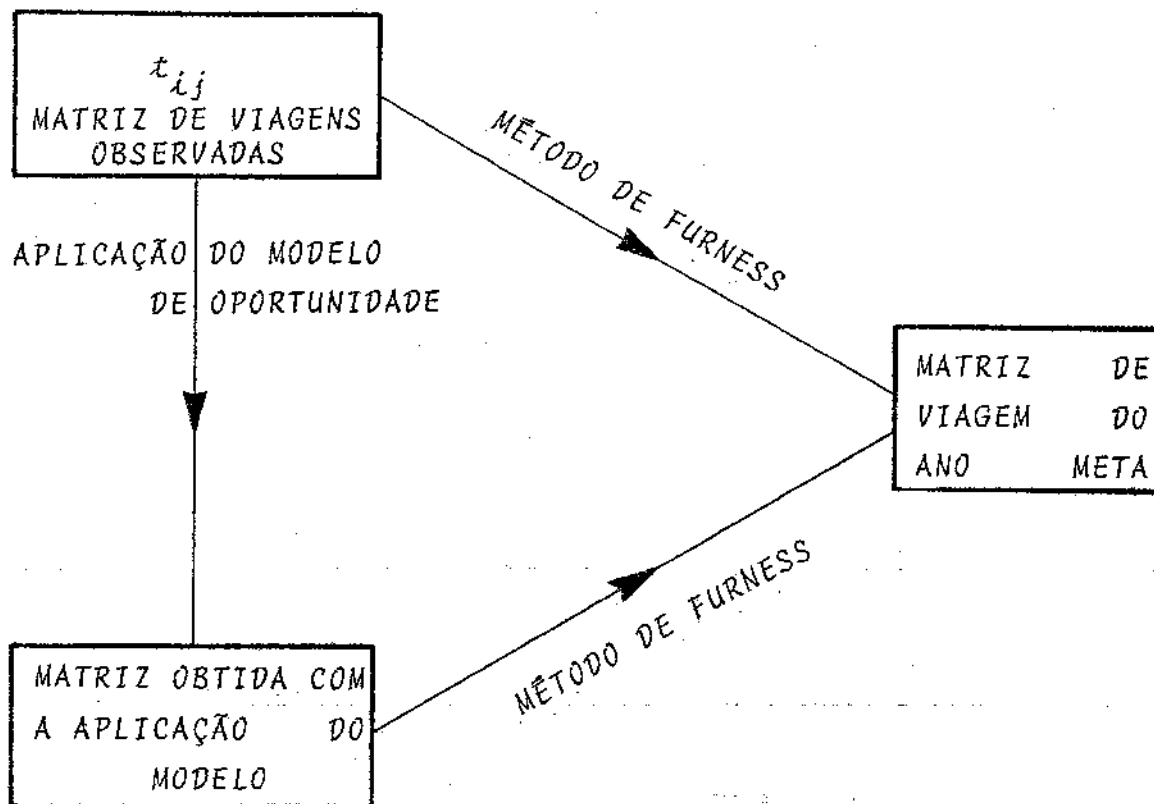


Figura 4.4

Aplicaremos no entanto o método de Furness somente à matriz obtida com o modelo irrestrito uma vez que como demonstrado no Item IV.6 a expressão 4.18 para o modelo satisfazendo a restrição de produção pode ser obtida com uma iteração do método de Furness nas linhas da referida matriz.

#### 4.9 - OS PARÂMETROS $L_i$

Usualmente o modelo de oportunidade é referido como de "L-único" ou de "L-múltiplo", dependendo se um único valor do parâmetro é aplicado a todos os centróides - ou se pode ter diferentes valores para os diferentes centróides. Geralmente os modelos de L-múltiplo são mais flexíveis.

veis e capazes de representar satisfatoriamente diferentes tipos de configurações de viagens embora a calibração de tais modelos seja mais trabalhosa e exaustiva que a calibração de modelos de L-único. Antes de serem descritos alguns métodos de calibração mais usuais será feita uma discussão dos parâmetros  $L_i$  nos itens que se seguem.

#### 4.9.1 - NATUREZA DOS PARÂMETROS $L_i$

Na apresentação do modelo irrestrito feita anteriormente a probabilidade de uma viagem originada no centróide  $i$  terminar dentro de um volume  $U_{ij}$  de oportunidades, ou seja, na zona  $j$  ou em zonas mais próximas, é dada pela equação 4.12:

$$P(U_{ij}) = 1 - e^{-L_i U_{ij}}$$

Explicitando  $L_i$  teremos então:

$$(4.30) \quad L_i = - \frac{\ln (1 - P(U_{ij}))}{U_{ij}}$$

Portanto  $L_i$  pode ser interpretado graficamente como a inclinação da reta que teoricamente resultaria ao se plotar  $\ln (1 - P(U_{ij}))$  versus  $U_{ij}$  (Ruiter, 1967b, p.49).

Duas características do parâmetro  $L_i$  podem ser visualizadas a partir da equação 4.30:

- i) será sempre positivo uma vez que:
  - $1 - P(U_{ij})$  é sempre menor que um.
- ii) tem a dimensão (1/oportunidade) uma vez que o numerador é adimensional.

Experiências empíricas mostraram que os valores de  $L_i$  são sempre muito pequenos e menores que um. Este fato e as duas características anteriormente citadas são as razões pelas quais  $L_i$  é interpretado como uma probabilidade modificada. Tomando sempre valores entre zero e um, mas no entanto não sendo adimensional é interpretado como uma probabilidade por oportunidade de satisfação do viajante. Entenda-se por viajante satisfeito aquele que aceita como terminada a sua viagem. Tal interpretação está perfeitamente de acordo com as hipóteses do modelo enunciadas por Ruiters (1967a, p. 5).

Examinando a expressão que nos dá  $P(U_{ij})$ , ou seja, a função de probabilidade acumulativa que governará a distribuição, podemos observar que valores grandes de  $L_i$  tendem a distribuir uma grande proporção de viagens produzidas pelo centróide  $i$  entre destinos mais próximos, enquanto que valores menores tendem a distribuir mais viagens ao longo dos centróides mais distantes. Tentativas foram realizadas com o propósito de determinar o valor de  $L_i$  tal que o modelo reproduzisse para o centróide  $i$  as proporções exatas do volume de tráfego que se dirigem para os demais centróides. Estas tentativas mostraram-se inadequadas em aplicações para determinadas configurações de viagens interzonais levando Whitaker e West (1968, pp. 3-5) a investigarem a razão de tal fato. Eles mostraram que para um dado conjunto de viagens atraídas existirã um máximo calculável de viagens produzidas por um centróide  $i$  que poderão se dirigir para outro centróide. Tal máximo não pode ser excedido mesmo fazendo-se novos ajustes no parâmetro  $L_i$ . Em outras palavras, podemos dizer que dados  $P_i$  e  $A_j$  para  $j=1, N$ , existirã  $T_{ij}$  máximo que o modelo pode reproduzir. Isto pode ser demonstrado tomando a primeira e a segunda derivada de  $T_{ij}$ , dado por 4.14, em relação a  $L_i$ . Nesta equação  $U_{ij}$  e  $V_{ij}$  serão cons-

tantes e dados por,

$$(4.31) \quad u_{ij} = \sum_{K \in X_{ij}} A_K$$

$$v_{ij} = \sum_{K \in Y_{ij}} A_K$$

como pode ser visto no item IV.4. Portanto teremos:

$$(4.32) \quad \frac{dT_{ij}}{dL_i} = P_i (-v_{ij} e^{-L_i v_{ij}} + u_{ij} e^{-L_i u_{ij}})$$

$$(4.33) \quad \frac{d^2 T_{ij}}{dL_i^2} = P_i (v_{ij}^2 e^{-L_i v_{ij}} - u_{ij}^2 e^{-L_i u_{ij}})$$

Chamando de  $L_i^0$  o valor que anula a primeira derivada teremos:

$$(4.34) \quad u_{ij} e^{-L_i^0 u_{ij}} = v_{ij} e^{-L_i^0 v_{ij}}$$

donde

$$-L_i^0 u_{ij} - \ln u_{ij} = -L_i^0 v_{ij} + \ln v_{ij}$$

e portanto

$$(4.35) \quad L_i^0 = \frac{\ln(u_{ij}/v_{ij})}{u_{ij} - v_{ij}}$$

Substituindo o valor de  $L_i^0$  dado pela equação 4.35 na expressão da derivada segunda de  $T_{ij}$  dada por 4.33, obtemos que

$$\left. \frac{d^2 T_{ij}}{d L_i^2} \right|_{L_i^0} < 0$$

demonstrando ser  $L_i^0$  um ponto de máximo. Substituindo 4.35 - em 4.14 obtemos o valor máximo de  $T_{ij}$  que será dado por:

$$(4.36) \quad (T_{ij})_{\max} = P_i \left[ \exp\left(-V_{ij} \frac{\ln(U_{ij}/V_{ij})}{U_{ij} - V_{ij}}\right) - \exp\left(-U_{ij} \frac{\ln(U_{ij}/V_{ij})}{U_{ij} - V_{ij}}\right) \right]$$

donde

$$\frac{(T_{ij})_{\max}}{P_i} = \left( \frac{V_{ij}}{U_{ij}} \right)^{\frac{V_{ij}}{U_{ij} - V_{ij}}} - \left( \frac{V_{ij}}{U_{ij}} \right)^{\frac{U_{ij}}{U_{ij} - V_{ij}}}$$

e portanto

$$(4.37) \quad \frac{(T_{ij})_{\max}}{P_i} = \left( \frac{V_{ij}}{U_{ij}} \right)^{\frac{V_{ij}}{U_{ij} - V_{ij}}} \times \left( 1 - \frac{V_{ij}}{U_{ij}} \right)$$

Esta ultima expressão pode ainda ser reduzida tendo em vista que

$$U_{ij} = V_{ij} + A_j$$

e fazendo

$$n_{ij} = V_{ij}/A_j :$$

$$(4.38) \quad \frac{(T_{ij})_{\max}}{P_i} = \frac{(n_{ij})^{n_{ij}}}{(n_{ij}+1)^{n_{ij}+1}}$$

Dados  $V_{ij}$ ,  $U_{ij}$  e  $P_i$  fica evidente a partir de equação anterior que existe um valor máximo permissível de  $T_{ij}$  que o modelo de oportunidade pode reproduzir.

A figura 4.5 é a representação gráfica da equação 4.14 para alguns valores de  $V_{ij}$  e  $U_{ij}$ . Observando a curva 1 nota-se que até um valor  $L_i^0$ , a um crescimento de  $L_i$  corresponde um crescimento em  $T_{ij}$ . Após  $L_i^0$ , a um crescimento de  $L_i$  corresponde uma diminuição de  $T_{ij}$ . Nota-se que na curva 4, caso de  $V_{ij} = 0$ , a um crescimento em  $L_i$  corresponde sempre a um crescimento em  $T_{ij}$ . Este caso no entanto corresponde ao cálculo das viagens intrazonais, ou seja, ao cálculo de  $T_{ii}$ . Esta é uma das razões pelas quais se diz que o modelo de oportunidade tende a superestimar as viagens intrazonais.

Na figura 4.6 vemos o gráfico da equação 4.38 onde se pode ver que para uma razão  $V_{ik}/A_k$  maior que 1, não mais que 25% das viagens produzidas pelo centróide  $i$  podem se dirigir ao centróide  $K$ .

A expressão 4.35 pode ainda ser reduzida tendo em vista que  $U_{ij} = V_{ij} + A_j$ . Obtemos então que:

$$L_i = \frac{1}{A_j} \ln \left( 1 + \frac{A_j}{V_{ij}} \right)$$

Por outro lado a expressão 4.38 pode ser reescrita da seguinte forma:

$$(T_{ij})_{\max} = P_i \frac{(A_j/V_{ij})^{A_j/V_{ij}}}{(A_j/V_{ij}+1)^{A_j/V_{ij}+1}}$$

Na figura 4.7 estão plotados os pontos  $(L_i^0, (T_{ij})_{\max})$  onde  $L_i^0$  e  $(T_{ij})_{\max}$  são obtidos pelas duas expressões anteriores. Em cada uma das curvas onde  $A_j = \text{constante}$ , variamos  $V_{ij}$  a partir de zero e crescendo no sentido indicado.

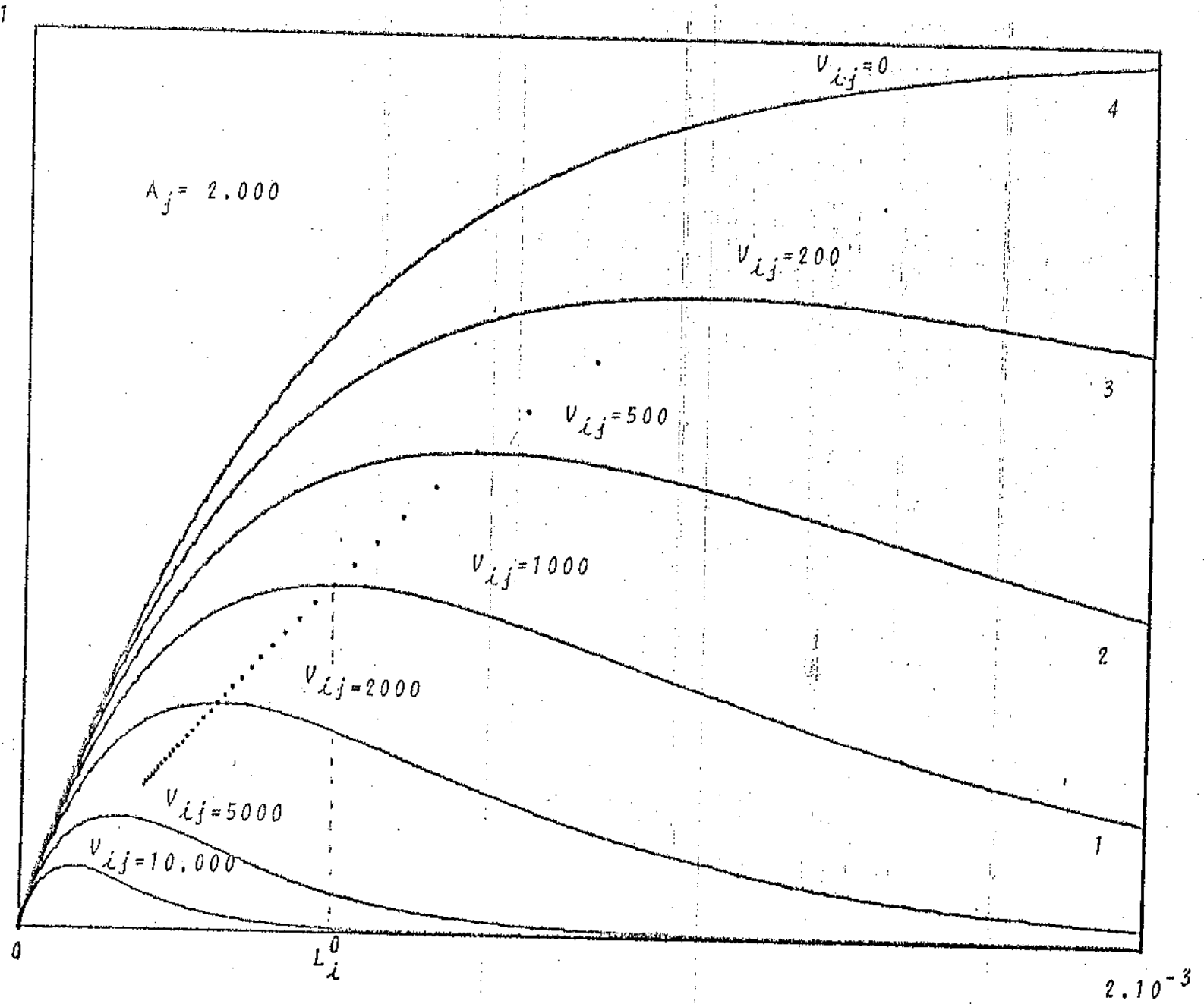


Figura 4.5

$$P_{ile}^{-L_i V_{ij}} - e^{-L_i U_{ij}} \times L_i$$

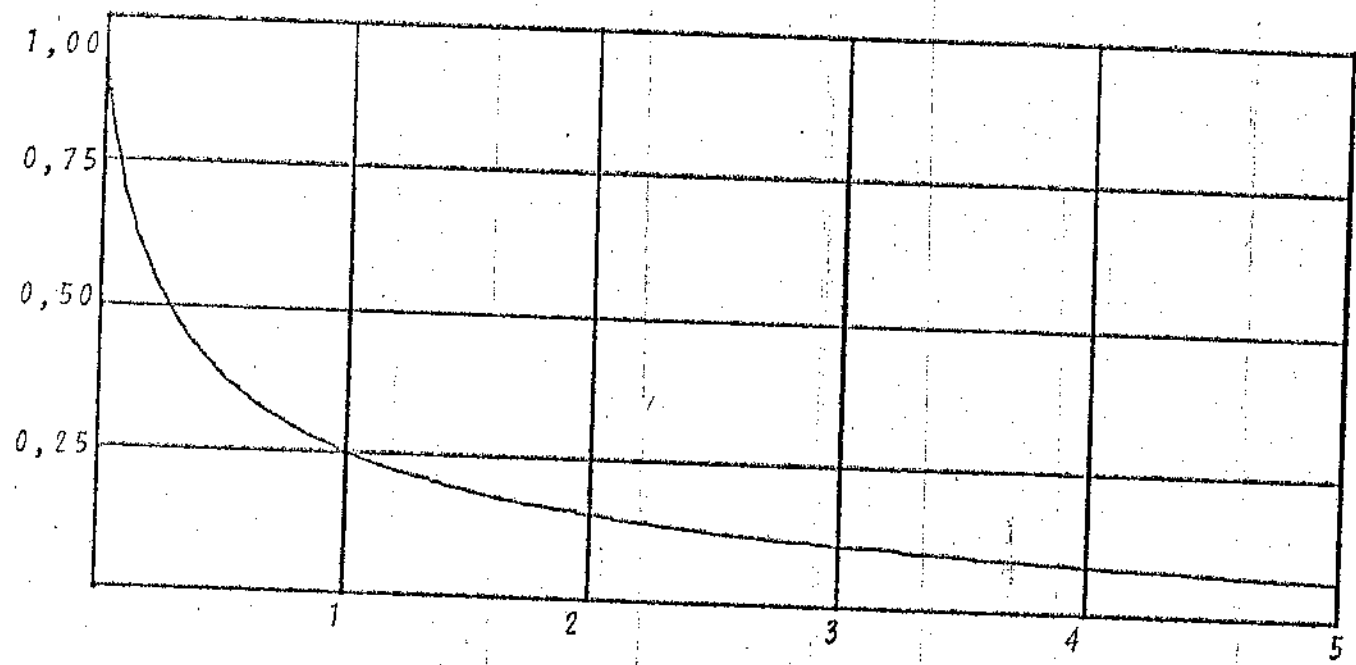


Figura 4.6 -  $\frac{(T_{ij})_{max}}{P_i} \times n_{ij}$

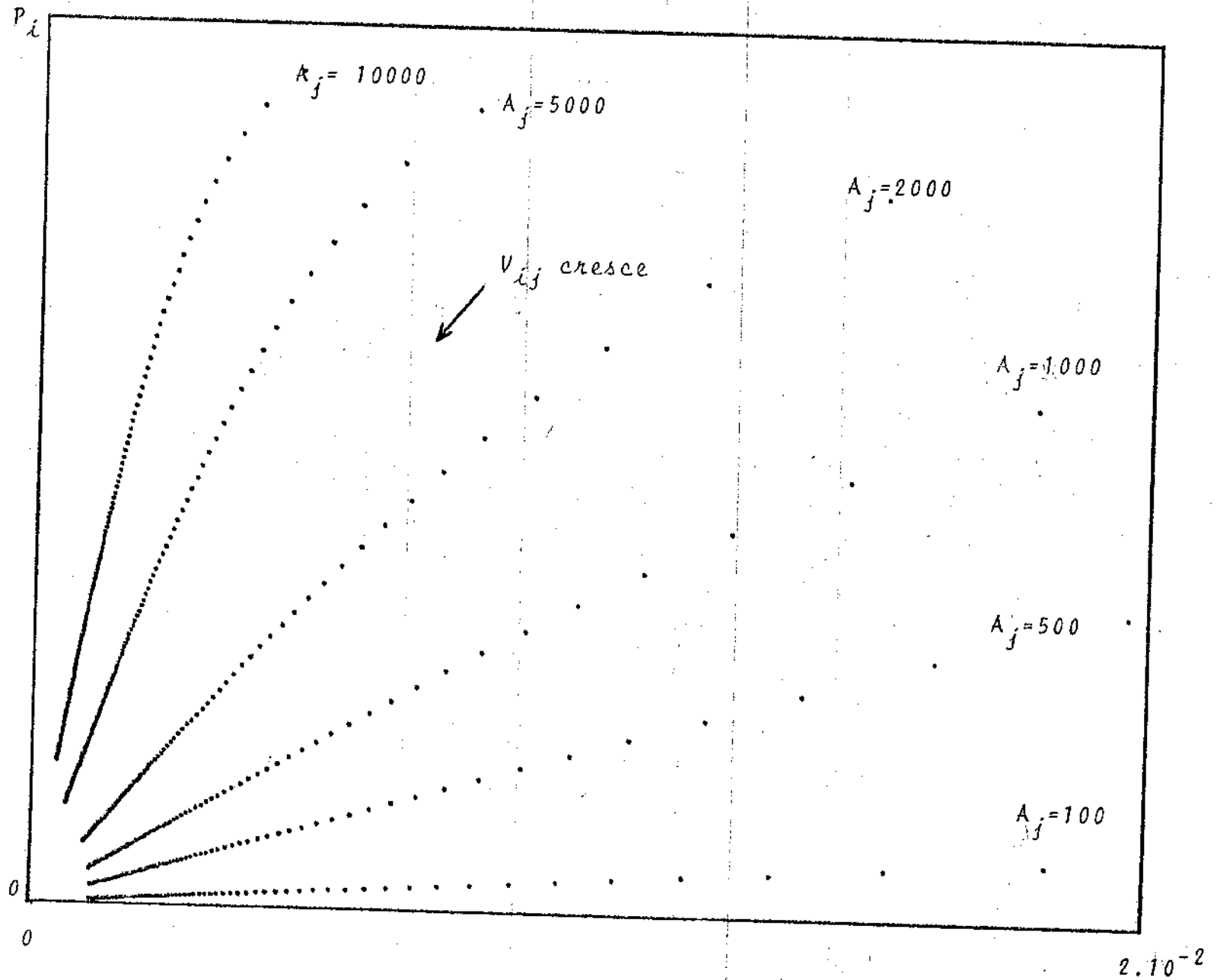


Figura 4.7 Pontos de máximo de  $P_i$  e  $e^{-L_i V_{ij}} - e^{-L_i U_{ij}} / x_i L_i$

#### 4.9.2 - RELACIONANDO $L_i$ COM PARÂMETROS DE VIAGEM

Os valores de  $L_i$  são interpretados em termos de volume de oportunidades subentendido ou ainda de frações de viagens insatisfeitas. Mesmo que de uma maneira simplificada procura-se relacionar  $L_i$  com parâmetros de viagens mais comuns que volume subentendido ou fração de viagens insatisfeitas.

Neste item mostraremos que numa situação extremamente simplificada de densidade de oportunidades constante em toda a área, os parâmetros  $L_i$  podem ser expressos em termos dos comprimentos médios de viagens e da densidade média de oportunidades. Embora esta seja uma situação extremamente simplificada, a expressão a ser obtida nos possibilita rá pesquisar a natureza de  $L_i$ . (Ruiter, 1967b)

Além da hipótese simplificadora acima descrita é também necessário admitir que a ordenação segundo o critério de acesso estabelecido pode ser trocada, sem perdas de essência, por uma ordenação em distância. Na apresentação do modelo de oportunidade Ruiter (1967a, pp.1-2) diz que:

"O tempo total das viagens originadas num ponto é minimizado sujeito à condição de que cada ponto destino, se for considerado, tem uma determinada probabilidade de ser aceito como destino".

Para tal portanto é feita uma ordenação em tempo de viagem e nesse caso admitir uma ordenação em distância, sem perda de essência, implica em admitir que as velocidades seriam constantes, ou aproximadamente constantes, em toda a área de estudo. Poder-se-ia tentar neste caso um relacionamento dos parâmetros  $L_i$  com os tempos médios de viagem.

No entanto isto não é feito na prática tendo em vista que os levantamentos de tempo de viagem são menos realistas que os de distância, uma vez que os primeiros são estimados quase sempre grosseiramente pelos viajantes.

Uma vez que o modelo de oportunidade é de natureza probabilística, o conceito de expectância matemática pode ser utilizado para a determinação dos comprimentos médios de viagens. Admitindo uma densidade de oportunidades constante na área teremos:

(4.39)

$$\bar{R}_i = E(R_i) = \int_a^b R(U_i) dP(U_i)$$

onde

$R_i$  = variável distância [em Km]

$\bar{R}_i$  = valor esperado ou comprimento médio das viagens produzidas pelo centróide  $i$  [em Km]

$R_i(U_i)$  = volume subentendido de oportunidades

(4.40)

$$dP(U_i) = d(1 - e^{-L_i U_i}) = L_i e^{-L_i U_i} dU_i$$

$a, b$  = limites inferior e superior de  $U_i$

Se  $\rho$  é a densidade média de oportunidades, admitida constante, então o volume de oportunidades pode ser dado por:

(4.41)

$$U_i = \rho \pi R_i^2$$

onde  $\rho$  tem dimensão de oportunidade/ $\text{Km}^2$ .

Resolvendo 4.41 para  $R_i$  teremos:

$$(4.42) \quad R_i = \left( \frac{u_i}{\rho\pi} \right)^{1/2} = R_i(u_i)$$

Substituindo 4.40 e 4.42 em 4.39 e fazendo os limites  $a=0$  e  $b=\infty$  teremos:

$$(4.43) \quad \bar{R}_i = \int_0^{\infty} \left( \frac{u_i}{\rho\pi} \right)^{1/2} L_i e^{-L_i u_i} \cdot du_i$$

Resolvendo 4.43 teremos:

$$(4.44) \quad \bar{R}_i = \frac{1}{2} \left( \frac{1}{\rho L_i} \right)^{1/2}$$

donde

$$(4.45) \quad L_i = \frac{1}{4\rho\bar{R}_i^2}$$

Embora seja uma aproximação grosseira a equação 4.45 nos mostra que  $L_i$  tende a ser inversamente proporcional à densidade de oportunidades e ao quadrado do comprimento médio de viagens. Dimensionalmente a equação 4.45 está de acordo com as hipóteses do modelo uma vez que  $\rho$  tem dimensão oportunidade/ $\text{Km}^2$  e  $\bar{R}_i$  é dado em Km.

#### 4.10 - MÉTODOS DE CALIBRAÇÃO

A calibração do modelo de oportunidade consiste na determinação dos parâmetros  $L_i$  sendo que os métodos a serem introduzidos se referem aos modelos de L-múltiplo.

Se a matriz origem-destino do ano base é conhecida, o modelo poderá ser calibrado para reproduzir uma matriz de viagens a mais próxima possível desta matriz origem-destino. Em geral os valores assim determinados de  $L_i$  são aplicados diretamente ao sistema de transportes futuro. Contudo, se os valores determinados a partir do ano base puderem ser relacionados com algumas variáveis, como por exemplo os comprimentos médios de viagens, e se os valores destas variáveis puderem ser estimados para o futuro, então os valores futuros de  $L_i$  poderão ser obtidos através de correções dos valores atuais.

Muitos métodos foram sugeridos para se determinar os valores dos parâmetros  $L_i$ , mas no entanto não foi desenvolvido um método que possa garantir um bom ajuste do modelo aos dados utilizados na calibração. A escolha do método de calibração a ser aplicado depende mais das informações disponíveis do que de características que o tornem mais vantajoso frente aos demais. Em geral, para os modelos de L-múltiplo, a calibração é completada com a repetição para todos os centróides da rede de um mesmo processo. Em outras palavras, as determinações dos parâmetros  $L_i$  são feitas separadamente, centróide após centróide, até que todos os centróides da rede sejam abrangidos.

#### 4.10.1 - MÉTODO ITERATIVO DE CALIBRAÇÃO (MIC)

Sugerido por Ruiter (1967b, pp. 54-55) este método de calibração de modelos de L-múltiplo está baseado no ajuste dos comprimentos médios das viagens originadas em cada centróide. Consiste na determinação de uma relação entre os citados comprimentos médios com os parâmetros  $L_i$ , para então se determinar  $L_i$  a partir de uma estimação do valor do comprimento médio das viagens originadas no centróide  $i$ . Es-

ta determinação de  $L_i$  é feita iterativamente por ser impossível explicitar  $L_i$ .

No Item IV.2.2 foi utilizado o conceito probabilístico de expectativa matemática para a determinação do comprimento médio de viagens, obtendo-se a equação 4.39 e reescrita abaixo.

$$\bar{R}_i = E(R_i) = \int_a^b R_i(u_i) dP(u_i)$$

Consideremos agora a discretização da equação acima:

$$(4.46) \quad \bar{R}_i = \sum_{j=1}^N R_{ij} \times \Delta P_{ij}$$

onde

$\bar{R}_i$  = comprimento médio das viagens produzidas pelo centróide  $i$ .

$R_{ij}$  = distância do centróide  $i$  ao centróide  $j$ .

$\Delta P_{ij}$  = probabilidade de uma viagem originada no centróide  $i$  terminar no centróide  $j$ .

$N$  = número de centróides da rede.

$\Delta P_{ij}$  é dado por

$$(4.47) \quad \Delta P_{ij} = P(u_{ij}/u_{in}) - P(v_{ij}/u_{in})$$

e portanto

$$(4.48) \quad \bar{R}_i = \sum_{j=1}^N R_{ij} (P(u_{ij}/u_{in}) - P(v_{ij}/u_{in}))$$

Substituindo  $P(u_{ij}/u_{in})$  e  $P(v_{ij}/u_{in})$  dados pelas equações 4.16 e 4.17 teremos

$$(4.49) \quad \bar{R}_i = \frac{\sum_{j=1}^N R_{ij} \frac{e^{-L_i V_{ij}} - e^{-L_i U_{ij}}}{1 - e^{-L_i U_{in}}}}{1 - e^{-L_i U_{in}}}$$

A equação 4.49 nos mostra que  $L_i$  não pode ser isolado algebricamente num lado da equação. Métodos iterativos para resolver equações não-lineares como a 4.49 são apresentados nos textos de análise numérica tais como Hildebrand, F.B. [1976].

Um método utilizado consiste em se modificar a equação não-linear  $f(x)=0$  para a forma  $x=F(x)$  e usar a relação de recorrência  $x_{k+1} = F(x_k)$ . É escolhido um  $x_0$  como aproximação inicial, encontrando-se um  $x_1 = F(x_0)$  e continuando o procedimento até que a diferença entre  $x_k$  e  $x_{k-1}$  seja suficientemente pequena. Hildebrand mostrou que o método seguramente convergirá somente se:

$$(4.50) \quad \left| \frac{dF(x)}{dx} \right|_{x^*} < 1$$

onde  $x^*$  é a solução da equação

Aplicando este método à equação 4.49, uma função  $F(L_i)$  pode ser determinada multiplicando ambos os lados da referida equação por  $L_i / \bar{R}_i$ :

$$(4.51) \quad L_i = F(L_i) = \frac{L_i \sum_{j=1}^N R_{ij} (e^{-L_i V_{ij}} - e^{-L_i U_{ij}})}{\bar{R}_i (1 - e^{-L_i U_{in}})}$$

Como  $F(L_i)$  depende de um número grande de parâmetros fica difícil uma verificação de convergência para -

casos gerais. Contudo, tendo em vista que a equação 4.44 é aproximadamente verdadeira, Ruiter fez o teste de convergência sobre uma nova função  $F(L_i)$  obtida multiplicando-se ambos os lados desta equação por  $L_i/\bar{R}_i$ . Evidentemente que com tal procedimento não estava demonstrando a convergência para o caso geral, mas simplesmente tentando obter indícios de que o processo iterativo aplicado à equação 4.51 possa convergir. Obtemos então:

$$(4.52) \quad L_i = F(L_i) = \frac{1}{2\bar{R}_i} \times \left( \frac{L_i}{\rho} \right)^{1/2}$$

Portanto,

$$\frac{dF(L_i)}{dL_i} = \frac{1}{4\bar{R}_i (\rho L_i)^{1/2}}$$

e substituindo  $L_i$  dado pela equação 4.45 teremos;

$$\frac{dF(L_i)}{dL_i} = \frac{1}{4\bar{R}_i \left( \rho \frac{1}{4\rho\bar{R}_i^2} \right)^{1/2}}$$

donde

$$\frac{dF(L_i)}{dL_i} = \frac{1}{2}$$

Portanto para este caso particular de aproximação, a condição 4.50 é satisfeita indicando portanto a convergência do processo iterativo aplicado à equação 4.52.

O método iterativo de calibração consiste em resolver para cada um dos centróides  $i$ , uma equação do tipo da 4.51. A partir desta equação podemos saber as informações necessárias, que são:

$R_{ij}$  = distância do centróide  $i$  ao centróide  $j$ .

$\bar{R}_i$  = comprimento médio das viagens originadas no centróide  $i$ .

$$V_{ij} = \sum_{K \in X_{ij}} A_K$$

$$U_{ij} = \sum_{K \in Y_{ij}} A_K$$

Utilizando este método, a calibração do modelo para o futuro requer uma estimação dos comprimentos médios de viagens futuras e dos valores de  $A_j$ , para todo  $j$ , que são obtidos com o processo de geração de viagens. Conhecendo-se a rede viária futura poderão ser determinados os conjuntos  $X_{ij}$  e  $Y_{ij}$ , possibilitando a determinação dos  $V_{ij}$  e  $U_{ij}$  para todo  $i$  e  $j$ . O conhecimento da matriz origem-destino é suficiente para se calibrar o modelo para o presente, tendo em vista que a partir da referida matriz podemos achar os valores dos comprimentos médios de viagens e conhecer os totais de viagens atraídas por cada um dos centróides.

#### 4.10.2 - MÉTODO EMPÍRICO DE CALIBRAÇÃO (MEC)

Na discussão da natureza dos parâmetros  $L_i$  - foi demonstrado que,

$$L_i = - \frac{\ln (1 - P(U_{ij}))}{U_{ij}}$$

sendo  $L_i$  interpretado graficamente como a inclinação da reta que teoricamente resultaria ao se plotar  $\ln (1 - P(U_{ij}))$  versus  $U_{ij}$ . Sendo impossível a determinação dos valores reais de  $P(U_{ij})$ , é feita uma aproximação como se segue:

$$P(U_{ij}) \cong \frac{U_{ij}}{U_{in}}$$

Fixando um centróide origem  $i$  e chamando

$$Z_{ij} = -\ln(1 - P(u_{ij}))$$

teremos uma série de pontos do tipo  $(u_{ij}, Z_{ij})$ . Este método - empírico consiste em ajustar a melhor reta do tipo  $Z = L_i u_{ij}$  - aos pontos  $(u_{ij}, Z_{ij})$  para  $j$  variando de 1 a  $N$ . O valor do parâmetro  $L_i$  é determinado de modo a minimizar a somatória - dos erros quadráticos da aproximação de maneira que

(4.53)

$$\frac{d\delta(L_i)}{dL_i} = 0$$

onde

(4.54)

$$\delta(L_i) = \sum_{j=1}^N (Z_{ij} - L_i u_{ij})^2$$

Diferenciando  $\delta(L_i)$  teremos

$$-\sum_j (Z_{ij} - L_i u_{ij}) u_{ij} = 0$$

donde

(4.55)

$$L_i = \frac{\sum_j Z_{ij} u_{ij}}{\sum_j u_{ij}^2}$$

Substituindo  $Z_{ij}$  e  $P(u_{ij})$  dado aproximadamente por  $u_{ij}/u_{in}$  teremos que

(4.56)

$$L_i = \frac{-\sum_j u_{ij} \ln(1 - u_{ij}/u_{in})}{\sum_j u_{ij}^2}$$

Uma vez sendo conhecidos os  $U_{ij}$ , para todo  $i$  e para todo  $j$ , a equação 4.56 pode ser resolvida, determinando-se com isto um valor de  $L_i$  para cada centróide da rede.

CAPITULO V

## 5.1 - OS PROGRAMAS

Foram feitos dois programas em Fortran sendo que o primeiro diz respeito aos Modelos de Fator de Crescimento, mais precisamente, aos métodos de Fratar, Furness e Detroit. Na figura 5.1 podemos ver o seu diagrama de blocos simplificado.

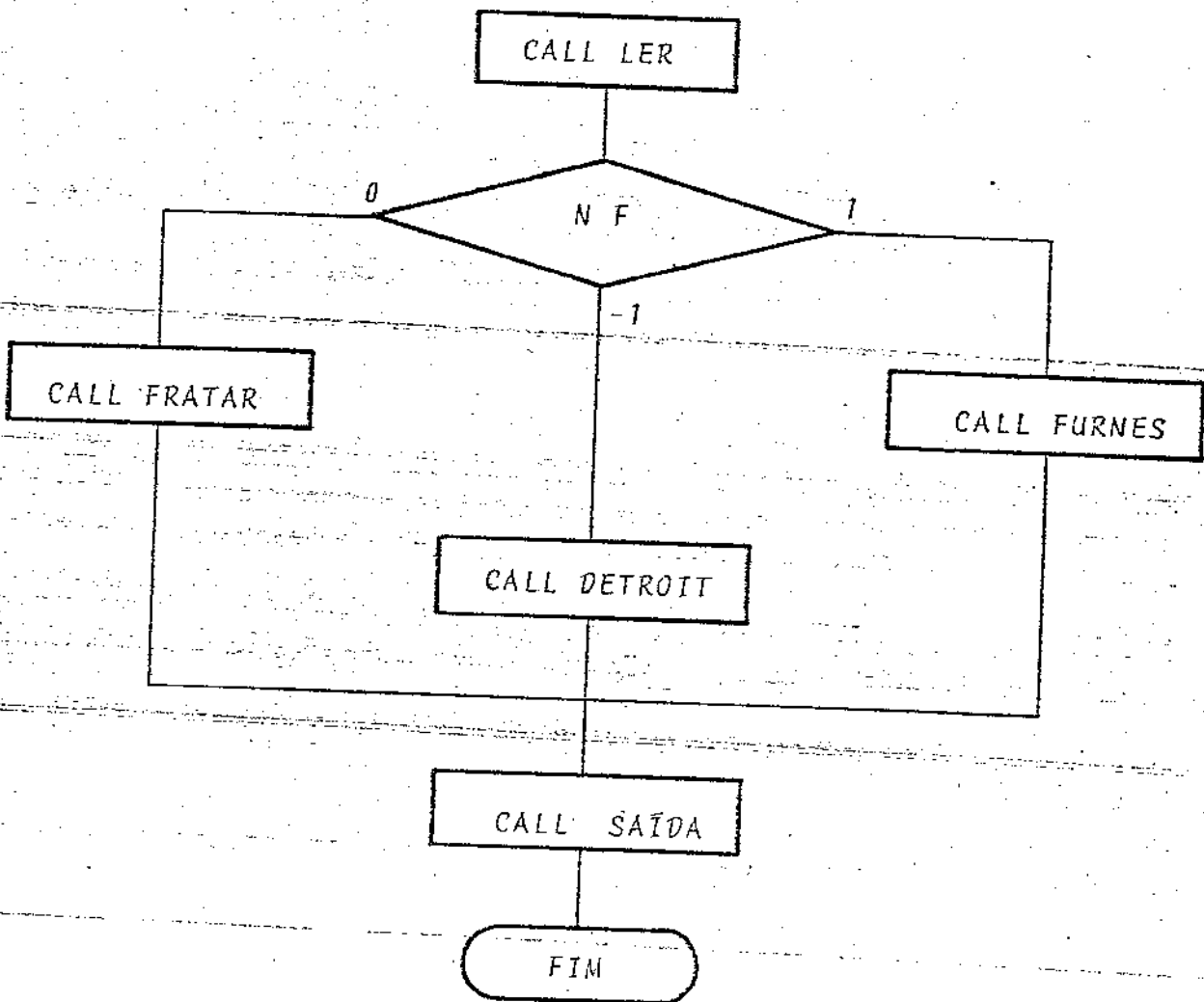


Figura 5.1 - Diagrama de Blocos simplificado do programa para implementar os Modelos de Fator de Crescimento

O segundo programa implementa o modelo de oportunidade e pode ser visto, em diagrama de blocos simplificado, na figura 5.2. No apêndice E estão as listagens dos 2 programas citados como também das subrotinas utilizadas.

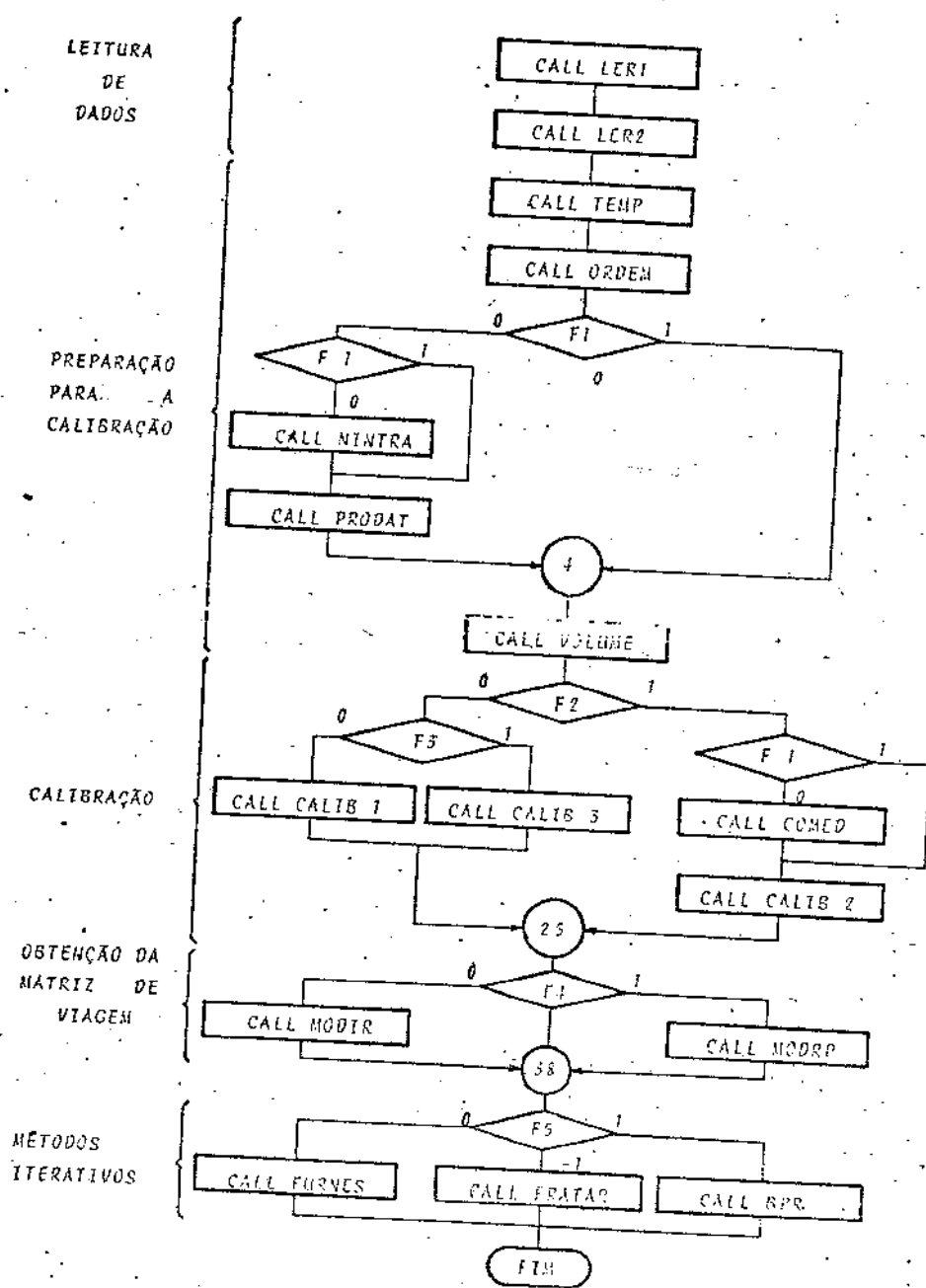


Figura 5.2- Diagrama de blocos simplificado do programa para implementar o Modelo de Oportunidade.

## 5.2 - ÁREA DE ESTUDO

A Prefeitura do Município de São Bernardo do Campo através da sua Secretaria de Planejamento (SP), elaborou um Plano de Desenvolvimento Integrado do Município (PDIM). Foi nos estudos de Planejamento de Transportes do PDIM - SBC que fomos buscar os dados necessários para a realização deste trabalho.

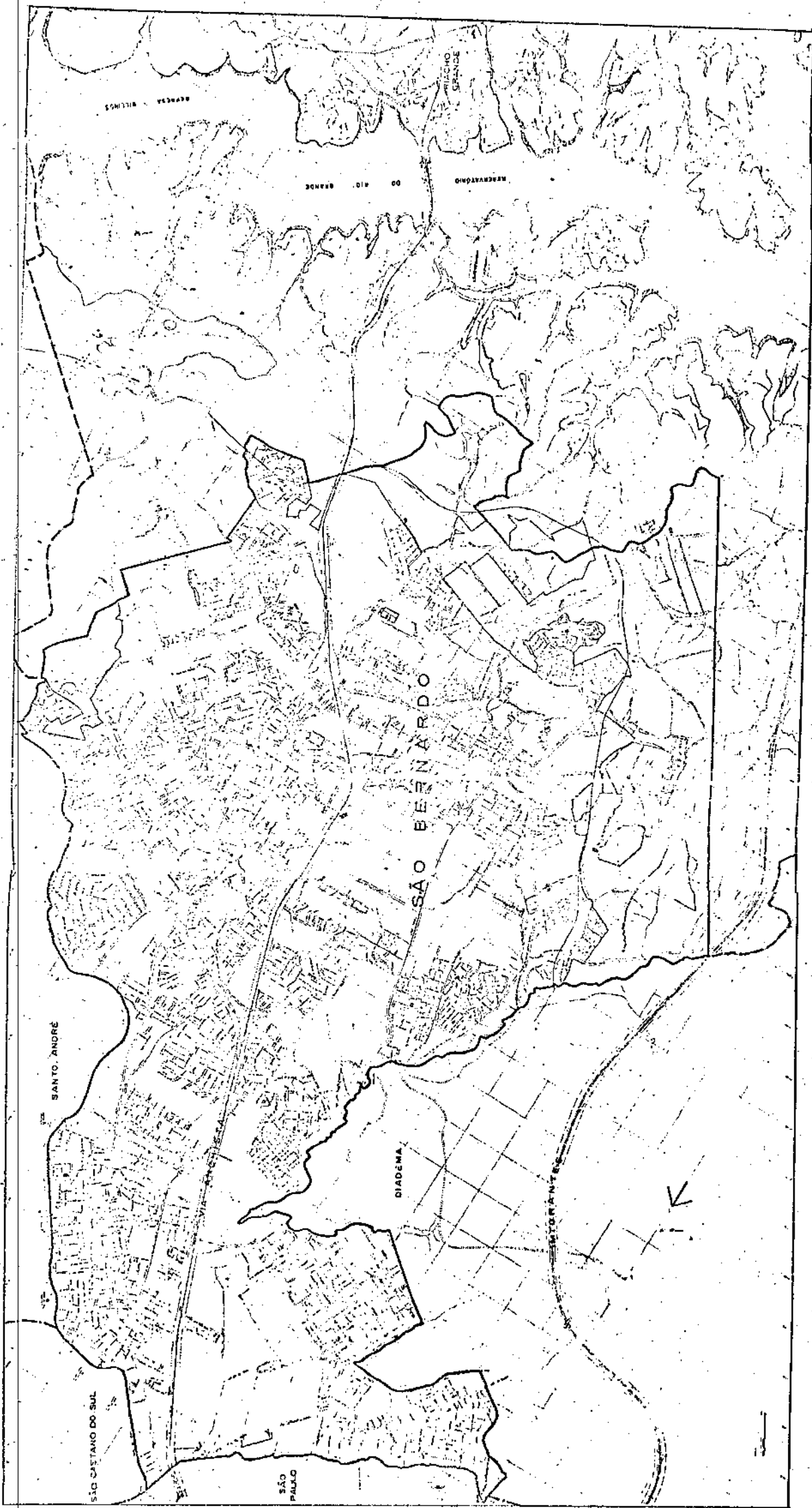
### 5.2.1 - ÁREA DE PESQUISA

A área de estudo foi considerada como abrangendo todo o Município de São Bernardo do Campo. No interior desta região foi delimitada a área de pesquisa que abrange todo o aglomerado urbano a menos do Distrito de Riacho Grande e como está mostrado no Mapa 1. É nesta área de pesquisa que estão concentrados os grandes fluxos de tráfego da região.

### 5.2.2 - ZONAS E CENTRÓIDES

A área de pesquisa foi dividida nos estudos de transportes do PDIM em 50 zonas, procurando delimitar áreas com atividades afins. Devido a uma característica importante de São Bernardo do Campo, que é o grande volume de viagens dos tipos externas e através, foram consideradas ainda 20 zonas externas. Ao todo são 70 zonas, sendo 50 internas à área de pesquisa e 20 externas. No Mapa 2 podemos ver as zonas consideradas e a localização dos seus respectivos centróides. No apêndice C estão assinaladas as 20 zonas externas consideradas.

### 5.2.3- SISTEMA DE TRANSPORTES E REDE VIÁRIA BÁSICA



PDIM SBC

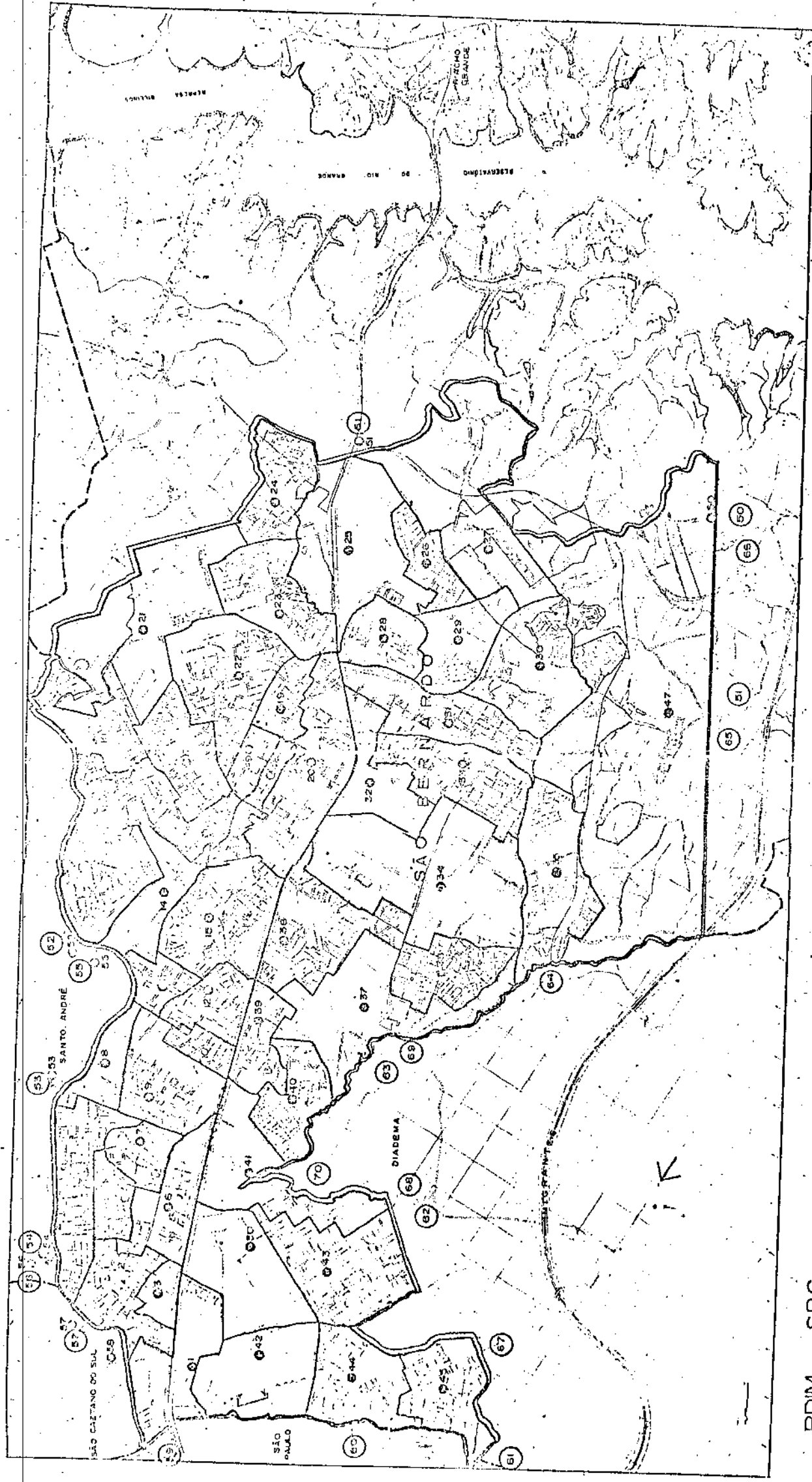
ESTUDO DE TRANSPORTES  
 LOCALIZAÇÃO DA ÁREA DE  
 ESTUDO E DE PESQUISA

--- LIMITE DA ÁREA DE ESTUDO  
 - - - LIMITE DA ÁREA DE PESQUISA  
 - - - LIMITE DE MUNICÍPIOS



ESCALA  
 0 0,5 2 KM

1



ESCALA

- LIMITE DA ÁREA DE ESTUDO
- LIMITE DA ÁREA DE PESQUISA
- LIMITE DE MUNICÍPIOS
- LIMITE DAS ZONAS
- LOCAL E Nº DO CENTROÍDE EXTERNO
- LOCAL E Nº DO CENTROÍDE INTERNO

PDIM - SBC

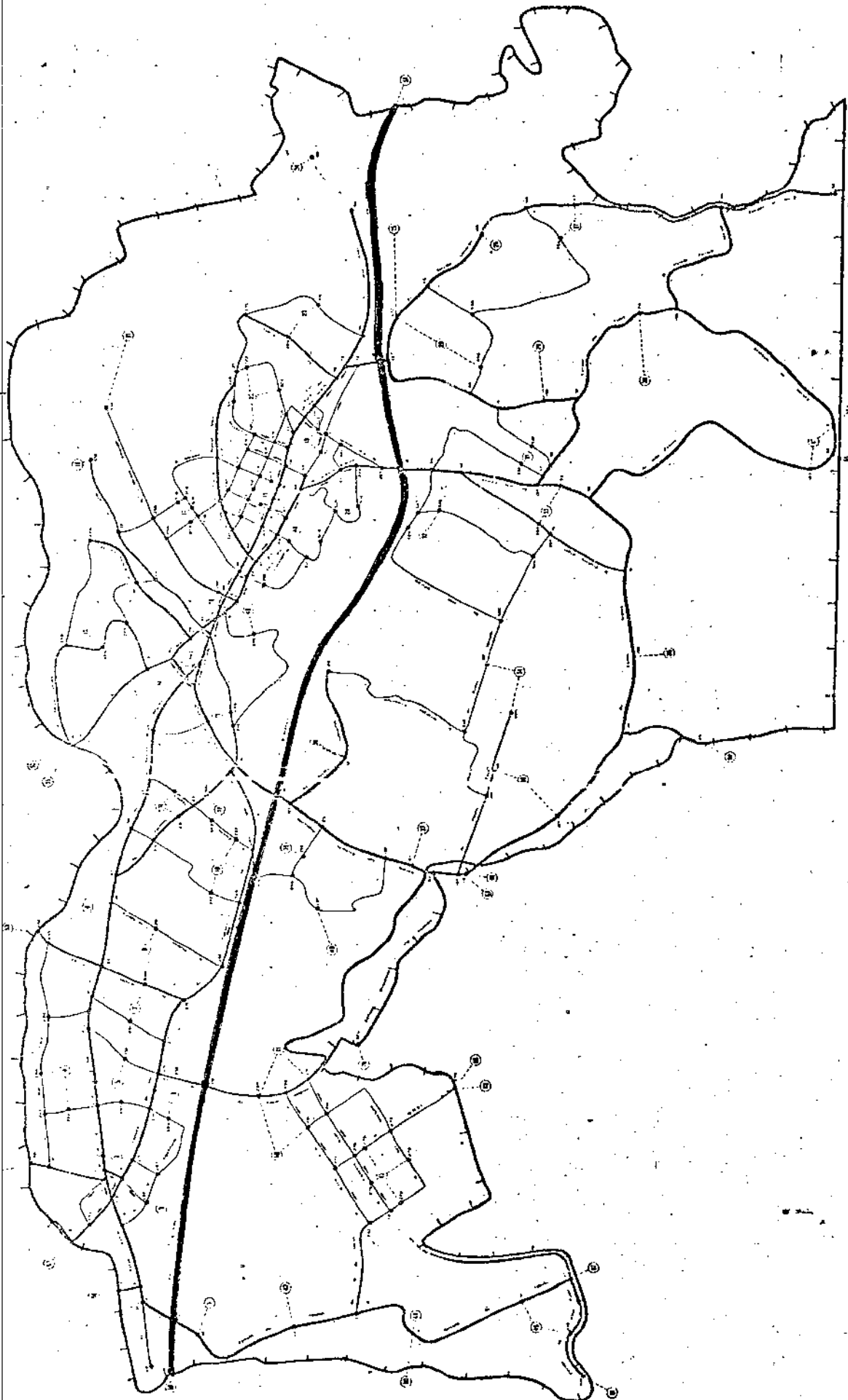
ESTUDO DE TRANSPORTES  
ZONAS DE TRÁFEGO E CENTROÍDES

Nos estudos do PDIM - SBC não foram consideradas as linhas férreas. Portanto o sistema de transportes ou rede de transportes abrange o conjunto de vias com cruzamentos e terminais que são utilizados por carros, ônibus e caminhões. Nesta rede serão considerados os transportes de passageiros por carros e coletivos. Não analisaremos portanto os deslocamentos de cargas na área de pesquisa.

A rede viária básica considerada pode ser vista no Mapa 3. Ela está composta de 323 nós e 912 arcos, sendo que os 70 primeiros nós são os centróides das zonas consideradas.

#### 5.2.4 - AS VIAGENS

A Secretaria de Planejamento de S.B.C. efetuou em 1974 uma pesquisa O/D de viagens com a finalidade de caracterizar os deslocamentos das pessoas residentes no Município no horário inferior às 10 horas da manhã. Em conjunto também foi efetuada uma pesquisa sócio-econômica da população. A tabela 5.1 obtida com a pesquisa O/D mostra a variação das viagens no período de pico (6-9hs.) de acordo com o modo e o motivo.



PDIM - SBC

ESTUDO DE TRANSPORTES  
REDE VIARIA BÁSICA

SETEMBRO 1974

- +— LIMITE DA ÁREA DE PESQUISA
- ⊙ Nº DO CENTRÓIDE (ZONA DE TRAFEGO)
- 129 Nº DO NÓ
- MÁO ÚNICA DE DIREÇÃO

ESCALA



3

VARIAÇÃO SEGUNDO MODO E MOTIVO DAS VIAGENS

MOTIVO	MODO				TOTAL %
	A.VEÍC.	PASS.A.	ÔNIBUS	TAXI	
TRABALHO	22,4	6,0	42,5	0,8	78,3
ESCOLA	0,4	0,0	0,9	-	1,5
COMPRAS	0,8	1,0	2,6	-	3,1
NEGÓCIO	0,7	0,4	1,6	-	2,5
RECREAÇÃO	1,6	2,7	2,9	-	3,6
OUTROS	2,5	3,3	6,8	0,2	11,0
TOTAL	31,5	12,2	15,3	1,0	100

Fonte: PDIM - SBC(1974)

Os dados apresentados na tabela 5.1 indicam a conveniência de se considerar um único motivo (trabalho) e uma divisão nos seguintes modos:

- 1 - auto-veículos (motorista)
- 2 - auto-pessoas (motorista + passageiros)
- 3 - ônibus + taxi

Para complementar os dados fornecidos pela pesquisa O/D foi também efetuada pela S.P uma pesquisa de tráfego para determinar a taxa de ocupação dos veículos, volume de tráfego, velocidade nos segmentos de ruas, composição do tráfego e movimentos de conversão nos principais cruzamentos. Convém salientar que as viagens (de pessoas não residen

tes) externas com destino na área de pesquisa e as viagens - através não puderam ser estimadas com a pesquisa O/D efetuada. A fonte de dados utilizada neste caso foi o METRO-SP - através das estimativas que o mesmo possuía. Nos estudos do METRO-SP, sua área de estudo abrangia o Município de São Bernardo do Campo dividido em 5 zonas de tráfego.

Nos estudos do PDIM - SBC encontramos as seguintes matrizes elaboradas a partir das considerações anteriores:

1 - auto - veículo - pico

2 - pessoas - pico

Neste trabalho consideraremos apenas a segunda matriz O/D, ou seja, a de pessoas - pico. Isto significa que consideraremos apenas as viagens de pessoas ao trabalho, realizadas por ônibus, taxi ou auto-particular no período de 6 às 9 horas da manhã.



## 6.1 - CONSIDERAÇÕES DE APLICAÇÃO DO MODELO DE OPORTUNIDADE

No Item IV.2 falamos que uma das hipóteses do modelo era que o custo total das viagens originadas num ponto é minimizado. Até então não quisemos particularizar função custo apesar de alguns autores como Ruiter (1967 a. pp. 1-2) e Pyers, C.E. (1966) afirmarem que uma das hipóteses é a minimização do tempo total de viagem. O custo que associamos a cada trecho de rua foi seu tempo de percurso de modo que as ordenações dos centróides foram feitas sempre segundo o tempo de viagem do caminho mínimo. Portanto para efeito de aplicação o custo de uma viagem será seu tempo de duração.

### 6.1.1 - O MÉTODO ITERATIVO DE CALIBRAÇÃO

O método iterativo utilizado foi baseado no ajuste dos tempos de viagem ao invés do ajuste dos comprimentos médios sugerido por Ruiter, uma vez que foi realizada uma pesquisa de tráfego possibilitando-nos o conhecimento dos tempos de percurso dos trechos de ruas. Deste modo a equação (4.49) pode ser reescrita em termos de tempo médios de viagem:

$$(6.1) \quad \bar{c}_{ip} = \frac{\sum_j c_{ij} [e^{-L_i^V \bar{c}_{ij}} - e^{-L_i^U \bar{c}_{ij}}]}{1 - e^{-L_i^U \bar{c}_{in}}}$$

onde

$\bar{c}_{ip}$  = tempo médio das viagens produzidas pelo centróide de  $i$  e previsto pelo modelo.

$c_{ij}$  = tempo de viagem do centróide  $i$  para o centróide de  $j$ .

O método consiste fundamentalmente em igualar os tempos médios previstos com os observados, ou seja igualar  $\bar{c}_{ip}$  com  $\bar{c}_{io}$  que é dado por

$$(6.2) \quad \bar{c}_{io} = \frac{\sum_j c_{ij} t_{ij}}{\sum_j t_{ij}}$$

Deste modo a equação a ser resolvida iterativamente passa a ser dada por:

$$(6.3) \quad L_i^{(n)} = F(L_i^{(n-1)}) = \frac{L_i^{(n-1)} \sum_j c_{ij} (e^{-L_i^{(n-1)} V_{ij}} - e^{-L_i^{(n-1)} U_{ij}})}{\bar{c}_{io} (1 - e^{-L_i^{(n-1)} U_{in}})}$$

que pode ainda ser escrita como

$$(6.4) \quad L_i^{(n)} = L_i^{(n-1)} \frac{\bar{c}_{ip}}{\bar{c}_{io}}$$

Suponhamos uma variação de  $\bar{c}_{ip}$  com  $L_i$  segundo uma curva do tipo da figura 6.1. Podemos ver então que  $L_i^a$  e  $L_i^b$  seriam duas soluções possíveis. No entanto o método iterativo não tenderá a  $L_i^b$ , o que nos induz a chamar o ponto b de uma solução instável. Se o valor inicial de  $L_i$  for menor que  $L_i^b$  o método fará  $L_i$  tender a zero. Se  $L_i$  inicial for maior que  $L_i^b$  obteremos uma solução que será  $L_i = L_i^a$  desde que não haja saltos da região II para a região I. Não pretendemos provar nem garantir a convergência do método iterativo, mas simplesmente tomar algumas atitudes preventivas e de alerta para eventuais surpresas.

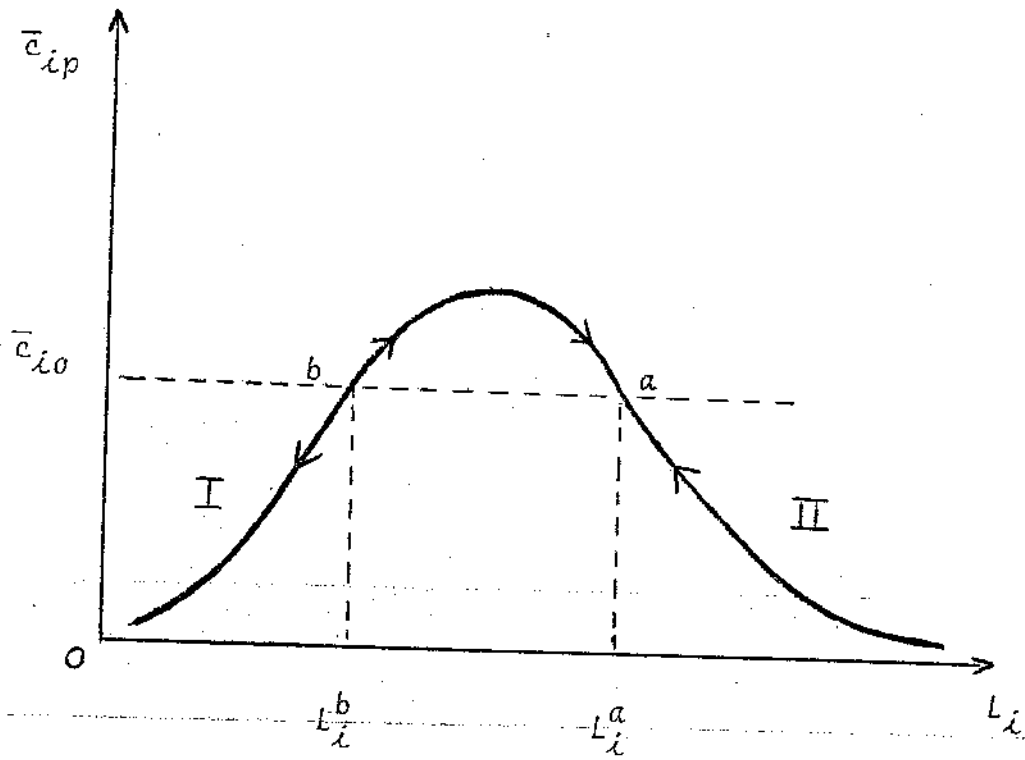


Figura 6.1

Se por acaso  $\bar{c}_{ip}$  for sempre menor que  $\bar{c}_{i0}$ , ou seja, ter uma variação com  $L_i$  segundo uma curva do tipo da figura 6.2, então o método tenderia a  $L_i=0$

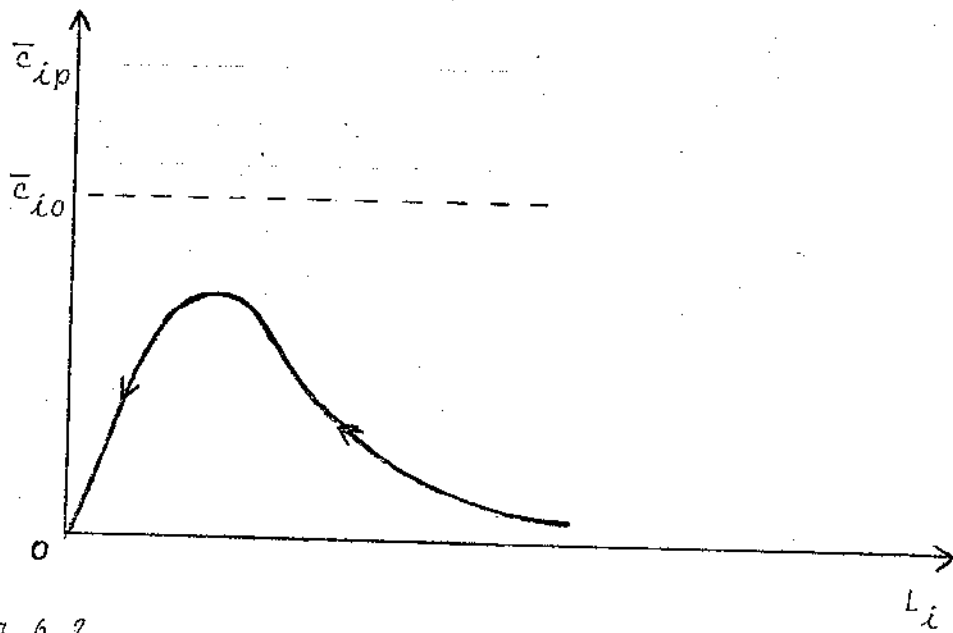


Figura 6.2

A subrotina CALIB2 que tem o propósito de calibrar o modelo segundo este método empírico está dotada das seguintes características tendo em vista as duas penúltimas considerações<sup>1</sup>:

- 1 - inicializar com valores "grandes" de  $L_i$
- 2 - parar o método iterativo caso  $\Delta \bar{c}_{ip} < 0$  e  $\Delta L_i < 0$  e tomar como solução o penúltimo - valor de  $L_i$  encontrado.

### 6.1.2 - MÉTODO EMPÍRICO DE CALIBRAÇÃO

A subrotina CALIB1 é quem realiza a calibração do modelo segundo este método empírico que consiste em ajustar uma reta a um conjunto de pontos do tipo:

$$(U_{ij}, -\ln[1-P(U_{ij})])$$

Procuramos dotar a subrotina das seguintes características:

- 1 - ajustar a melhor reta que passa pela origem. Neste caso  $L_i$  será dado pela equação 4.56 e para tal basta fazer a variável 00 igual a zero.
- 2 - Procurar a melhor reta que se ajuste aos pontos - sem impor que passe pela origem. Neste caso  $L_i$  - será dado pela inclinação da reta obtida e para tal basta fazer a variável 00=1.

---

<sup>1</sup> A idéia é nos prevenir dos dois casos citados. Não significa que sejam únicos. Simplesmente os achamos possíveis.

### 6.1.3 - GRAUS DE APROXIMAÇÃO

Para comparar tanto os métodos de calibração como os resultados finais obtidos precisamos de medidas do grau de aproximação entre a matriz de viagens obtida e a matriz origem-destino. A seguir mostraremos as diferentes técnicas utilizadas.

#### 6.1.3.1 - RAIZ DO ERRO MÉDIO QUADRÁTICO

Seja  $\{b_{ij}\}$  a matriz obtida e  $\{t_{ij}\}$  a matriz origem-destino o erro médio quadrático entre os seus elementos será dado por:

$$EMQ = \frac{\sum_i^N \sum_j^N (b_{ij} - t_{ij})^2}{N^2}$$

E portanto sua raiz será dada por:

$$REMQ = \frac{(\sum_i^N \sum_j^N (b_{ij} - t_{ij})^2)^{1/2}}{N}$$

#### 6.1.3.2 - COEFICIENTE DE CORRELAÇÃO MATRICIAL

Dadas as matrizes  $\{b_{ij}\}$  e  $\{t_{ij}\}$  poderíamos plotar o conjunto de pontos  $(t_{ij}, b_{ij})$  com  $t_{ij}$  como variável independente. Um ajuste perfeito resultaria numa reta passando pela origem com inclinação de 45° e um coeficiente de correlação de 1. Ajustes bons resultariam em coeficientes de correlação próximos de 1 enquanto piores ajustes produziam coeficientes próximos de zero. Chamaremos de coeficien

te de correlação matricial ao coeficiente de correlação assim obtido de modo que:

$$CCM = \frac{\sum_i \sum_j (b_{ij} - \bar{b}) (t_{ij} - \bar{t})}{\left( \sum_i \sum_j (t_{ij} - \bar{t})^2 \sum_i \sum_j (b_{ij} - \bar{b})^2 \right)^{1/2}}$$

onde

$$\bar{b} = \frac{\sum_i \sum_j b_{ij}}{N^2} \quad e \quad \bar{t} = \frac{\sum_i \sum_j t_{ij}}{N^2}$$

#### 6.1.3.3 - RESTRIÇÕES DE ATRAÇÃO E PRODUÇÃO

Procuraremos verificar se uma matriz obtida satisfaz ou não as restrições de atração e produção de viagens. No entanto não dedicaremos muita atenção a este fato uma vez que os métodos iterativos utilizados forçarão a que elas sejam satisfeitas. Não será o caso no entanto das matrizes obtidas logo após a calibração.

#### 6.1.3.4 - TEMPOS MÉDIOS DE VIAGEM

Faremos as comparações entre os tempos médios observados para cada centróide  $i$  e os previstos pelo modelo. Estas comparações serão em termos de raiz do erro médio quadrático e coeficiente de correlação.

### 6.1.3.5 - FREQUÊNCIA DE COMPRIMENTO DE VIAGEM

Uma das comparações mais usadas pelos estudiosos do assunto utiliza as curvas de frequência de comprimento de viagem, obtida pelo modelo e através da matriz origem-destino. No nosso caso seria frequência de tempo de viagem. No entanto como o termo é amplamente difundido não o modificaremos, devendo ficar entendido que na nossa aplicação o comprimento de uma viagem será dado em minutos. Foi feita uma divisão do tempo de viagem em intervalos de dois minutos, para em seguida se determinar a frequência de ocorrência de viagens com comprimento no interior de cada intervalo. Deste modo podemos plotar uma curva do tipo da figura 6.3, onde o comprimento de viagem é a variável independente.

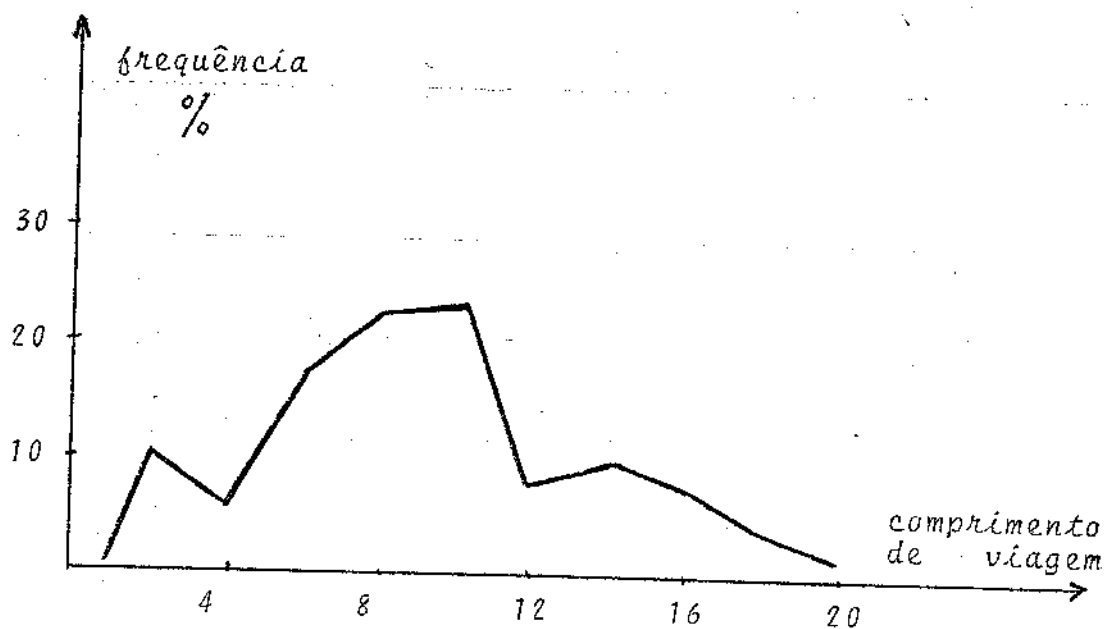


Figura 6.3 - Frequência de Comprimento de Viagem

Para cada caso estudado foram plotados duas curvas de frequência de comprimento de viagem. A primeira é a obtida com a matriz origem-destino e a segunda com a matriz de viagem prevista. Podemos imaginar agora um gráfico entre as frequências previstas pelo modelo e obtidas com a matriz O/D, como mostra a figura 6.4.

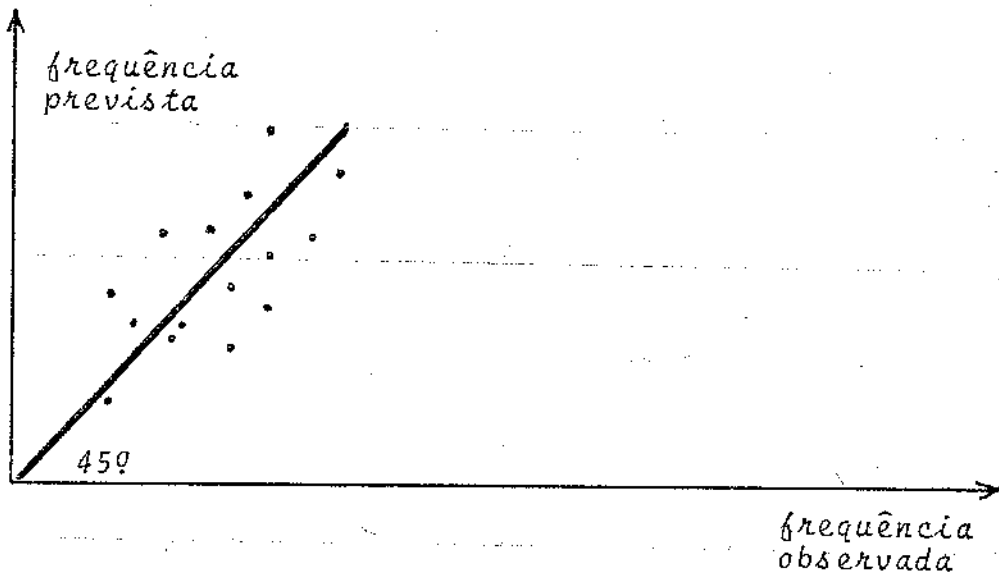


Figura 6.4

Um bom ajuste resultaria num coeficiente de correlação próximo de um e erros médios quadráticos pequenos. O nosso programa determina o coeficiente de correlação entre as citadas frequências e a raiz do erro médio quadrático.

## 6.2 - CONSIDERAÇÕES SOBRE A ÁREA DE ESTUDO

Não satisfeitos com os resultados das primeiras aplicações, resolvemos investigar mais a fundo a maneira como foram obtidos os dados que utilizávamos. Nestas aplicações estávamos considerando uma matriz O/D de 70 por 70, ou seja, estávamos considerando as viagens dos residentes e dos não residentes na área de estudo. No capítulo 5, item 5.2.4, foi dito que a pesquisa O/D levantou apenas o padrão das viagens dos residentes, sendo que as viagens dos não residentes foram estimadas através de um estudo do METRÔ-SP. Nestes estudos o Município de São Bernardo do Campo estava dividido - em 5 zonas de tráfego e estimava viagens para 1974, ou seja, o ano base deste nosso estudo. As viagens para estas 5 zonas foram então divididas, entre as 50 zonas internas, proporcionalmente ao número de empregos, que cada uma oferecia. Como uma das características de São Bernardo é o grande número de viagens de não residentes<sup>1</sup> e tendo em vista as considerações feitas, resolvemos nos restringir a distribuir apenas as viagens dos residentes, uma vez que o objetivo deste trabalho é investigar os modelos de distribuição de viagens e não o de determinar políticas ou propostas para o sistema de transportes em questão.

## 6.3 - RESULTADOS E CONCLUSÕES

Os resultados obtidos para as diversas variantes utilizadas podem ser vistos no apêndice D. Para tal convém fazer as seguintes explicações:

---

<sup>1</sup> 65,4% - FONTE: PDIM-SBC(1974).

- MIC : Método Iterativo de Calibração
- MEC : Método Empírico de Calibração
- MODIR : Modelo de Oportunidade Irrestrito
- MODRP : Modelo de Oportunidade Satisfazendo a Restrição de Produção [versão revisada]
- BPR : Método do Bureau of Public Roads para fazer o ajuste das restrições de atração e produção de viagens
- FURNES: Método de Furness para fazer o ajuste das restrições de atração e produção
- FRATAR: Método de Fratar para efetuar o ajuste citado acima.

A tabela 6.1 é um sumário dos resultados apresentados no citado apêndice e nela podemos ver que os métodos de FRATAR e FURNESS nos levam a resultados iguais. No apêndice A apresentamos uma série de considerações sobre os métodos de fator de crescimento, demonstrando inclusive que os métodos, logo anteriormente mencionados, convergem para uma mesma solução desde que aplicados sobre uma matriz composta de elementos positivos.

Podemos dizer que os resultados apresentados são satisfatórios haja visto principalmente os graus de ajuste entre as curvas de frequência de comprimento de viagem, e os valores dos coeficientes de correlação encontrados.

O Método Iterativo de Calibração se mostrou mais eficiente do que o Método Empírico, sem no entanto apresentarem diferenças muito acentuadas. O fato do MEC necessitar apenas dos totais de viagens atraídas, ou seja, dos  $A_j$ 's,

	MEC				MIC			
	FRATAR	FURNES	BPR		FRATAR	FURNES	BPR	
RMSE MATRICIAL	18.17	15.76	17.33	20.64*	15.1	15.1	15.2	
C. CORRELAÇÃO MATRICIAL	0.823	0.849	0.8015	0.819	0.8725	0.8725	0.872	
C. CORR. COMP. MEDIO DE VIAGEM	0.897	0.905	0.875	0.996	0.994	0.994	0.993	
RMSE DOS COMP. MEDIO DE VIAGEM	1.66	1.51	2.43	0.34	0.372	0.372	0.387	
C. CORR. FREQ. COMP. VIAGEM	0.955	0.968	0.888	0.978	0.989	0.989	0.988	
RMSE FREQ. COMP. VIAGEM **	6.66	6.1	9.1	4.6	3.7	3.7	3.8	
SATISFAZ RESTRIÇÃO ATRAÇÃO?	não	Δ.Δ.Δ	Δ.Δ.Δ	não	Δ.Δ.Δ	Δ.Δ.Δ	Δ.Δ.Δ	
SATISFAZ REST. PRODUÇÃO?	não	Δ.Δ.Δ	Δ.Δ.Δ	não	Δ.Δ.Δ	Δ.Δ.Δ	Δ.Δ.Δ	
TEMPO DE CPU	-	27.35	1:43.38	-	48.97	48.97	44.44	
NÚMERO DE ITERAÇÕES	-	2	46	-	2	2	2	
RMSE MATRICIAL	17.37	15.76		15.78	15.1	15.1	15.2	
C. CORRELAÇÃO MATRICIAL	0.822	0.849		0.8623	0.8725	0.8725	0.872	
C. CORR. COMP. MEDIO DE VIAGEM	0.897	0.905		0.995	0.994	0.994	0.993	
RMSE DOS COMP. MEDIO VIAGEM	1.66	1.51		0.38	0.386	0.386	0.387	
C. CORR. FREQ. DE COMP. VIAGEM	0.9545	0.968		0.985	0.988	0.988	0.988	
RMSE FREQ. COMP. VIAGEM **	6.66	6.1		4.57	3.8	3.8	3.8	
SATISFAZ RESTRIÇÃO ATRAÇÃO?	não	Δ.Δ.Δ		não	Δ.Δ.Δ	Δ.Δ.Δ	Δ.Δ.Δ	
SATISFAZ RESTRIÇÃO DE PRODUÇÃO?	Δ.Δ.Δ	Δ.Δ.Δ		Δ.Δ.Δ	Δ.Δ.Δ	Δ.Δ.Δ	Δ.Δ.Δ	
TEMPO DE CPU	-	-		-	45.68	45.40	44.44	
NÚMERO DE ITERAÇÕES	-	2		-	2	5	2	
EXIGE MATRIZ O/D ?			NÃO				SIM	

\* - Permitindo até 51 iterações no MEC ou 18 [outros casos 21 iterações]  
 \*\* - 0 RMSE se refere às viagens com mesmo comprimento e não às frequências

o favorece para uma previsão uma vez que para o ano meta estes totais são estimados pelos Modelos de Geração de Viagens. Isto no entanto não ocorre com o MIC que além dos  $A_j$ 's necessitará de estimativas dos tempos médios de viagem, dados - mais difíceis de obter. No entanto não temos condições de julgar se, do ano base ao ano meta, poderão ocorrer variações significativas dos valores de  $L_i$ . Dependerá, entre outras - coisas, de como crescerá a área de estudo, ou seja de suas - futuras atividades sócio-econômicas e da própria rede viária. Por outro lado, se  $L_i$  é interpretado como a probabilidade de uma oportunidade ser aceita como destino, é de se esperar - que diminua quando cresça o número de oportunidades, o que ocorrerá se aumentar o número de viagens da rede.

O Método do BPR apresentado no Item 4.8.1 - corresponde à variante BPR+MODIR na tabela 6.1. O que foi por nós chamado de Método do BPR modificado corresponde à variante BPR+MODRP. Podemos ver nesta tabela que houve uma redução acentuada no tempo e no número de iterações quando - se optou pela versão modificada. Em outras palavras, a satisfação da restrição de produção a cada iteração acelerou o processo iterativo, confirmando nossas expectativas do iní - cio do trabalho.

A variante MIC+MODIR+FRATAR foi rodada com um limite de 51 iterações no método de calibração enquanto - nas demais, que envolve o MIC, o limite foi 21, ou 1% de convergência, daí a pequena diferença que apresentou em relação à variante MIC+MODRP+FRATAR. Portanto, não se trata de um contra exemplo à afirmação no Item 4.6 de que a expressão do modelo com restrição de produção pode ser obtida com uma ite - ração do método de Furnes nas linhas da matriz do modelo ir - restrito.

Podemos dizer que os melhores resultados fo-

ram conseguidos com o Método Iterativo de Calibração juntamente com os FURNES, FRATAR ou BPR modificado para forçar as restrições de atração e produção de viagens serem satisfeitas. No entanto não podemos esquecer que, a utilização de métodos de fator de crescimento para se fazer o ajuste de restrições, modifica as hipóteses originais do modelo como estão enunciadas no Item 4.2. Podemos ver no entanto que a simples aplicação do MIC e do MODRP nos levou a resultados satisfatórios. Nos estudos de transportes do PDIM-SBC, onde encontramos uma aplicação do Modelo de Gravidade considerando também as viagens de não residentes, deparamos com a tabela 6.2 mostrada a seguir. Esta tabela é semelhante às anexas aos gráficos do apêndice D. Comparando, por exemplo, os coeficientes de correlação, vemos que os nossos resultados são perfeitamente satisfatórios. Finalizando gostaríamos de dizer que para testar o poder de previsão de um modelo de distribuição precisamos de dispor de mais de uma matriz O/D. O ideal seria fazer uma previsão, por exemplo para 1980, e confrontar os resultados obtidos, com a matriz O/D a ser levantada naquele ano. Com os modelos analíticos como o de oportunidade, ainda podemos verificar se as suas hipóteses nos levam a resultados próximos da realidade dispondo de apenas uma matriz O/D. No entanto é impossível um estudo dos modelos de fator de crescimento com estas restrições. Infelizmente não encontramos nenhuma cidade brasileira que dispusesse de matrizes O/D de anos distintos, o que nos impediu efetuar uma avaliação dos modelos como inicialmente pretendíamos.

TABELA 6.2

CALIBRACAO DO MODELO DE GRAVIDADE - PDIM-SBC - MATRIZ, PICU, 1974

COMPARISON OF OBSERVED AND CALCULATED TRIP-LENGTH DISTRIBUTIONS - PURPOSE NO. 1

TRIP LENGTH FROM TO EXCLUDING	OBSERVED DISTRIBUTION	CALCULATED DISTRIBUTION	SQUARED DIFFERENCE	CHI-SQUARE FACTOR
ZERO	2,607	2,300	5.153E 04	1.977E 01
2.50	8,214	8,577	5.822E 05	7.090E 01
4.50	12,706	15,895	2.797E 07	2.613E 03
6.50	19,573	18,406	1.362E 06	6.998E 01
8.50	23,659	19,644	1.693E 07	7.157E 02
10.50	14,605	15,630	1.067E 06	7.306E 01
12.50	10,017	12,840	8.083E 06	8.069E 02
14.50	3,705	6,447	7.519E 06	2.029E 03
16.50	6,544	3,897	2.753E 07	3.075E 03
18.50	1,293	1,519	5.103E 04	3.957E 01
20.50	4,211	1,657	6.523E 06	1.549E 03
22.50	77	221	2.074E 04	2.693E 02
24.50 AND OVER		270	7.290E 04	0.0
TOTAL	107,611	107,611	9.770E 07	1.132E 04

ROOT MEAN SQUARE ERROR 2853.3069

CHI-SQUARE PROBABILITY 0.0

ROOT MEAN SQUARE ERROR .21.818008

COEFFICIENT OF CORRELATION 0.56550574

FONTE : PDIM-SRC (1974)

APÊNDICE A

CONSIDERAÇÕES SOBRE OS MODELOS DE FATOR DE CRESCIMENTO

Dada uma matriz  $\{t_{ij}\}$ ,  $I \times J$  com elementos  $t_{ij} > 0$  e dado um conjunto de números positivos  $P_i$  e  $A_j$  com  $\sum_{i=1}^I P_i = \sum_{j=1}^J A_j = W$ , vamos propor os seguintes problemas chamados de P1 e P2.

### PROBLEMA P1

Encontrar uma matriz  $\{T_{ij}\}$  satisfazendo a:

$$A1. \quad \sum_{i=1}^I T_{ij} = A_j \quad j=1, J$$

$$A2. \quad \sum_{j=1}^J T_{ij} = P_i \quad i=1, I$$

$$A3. \quad T_{ij} = r_i s_j t_{ij}$$

onde  $r_i$  e  $s_j$  são constantes positivas para todo  $i$  e  $j$ .

### PROBLEMA P2

Encontrar uma matriz  $\{T_{ij}\}$  que seja ponto estacionário de mínimo da função objetivo abaixo e que satisfaça as condições (A.1), (A.2) e (A.5)

$$A4. \quad F(\{T_{ij}\}) = \sum_{i=1}^I \sum_{j=1}^J T_{ij} \ln T_{ij} - \sum_{i=1}^I \sum_{j=1}^J T_{ij} \ln t_{ij}$$

$$A5. \quad T_{ij} \geq 0 \quad \text{para todo } i \text{ e } j$$

### LEMA 1

Toda solução de P1 é solução de P2 e vice-versa

#### Demonstração do lema 1

As condições [A.1], [A.2] e [A.5] definem uma região de dimensão  $[I, J]$  que chamaremos de região factível  $D$ . Considerando o problema P2, queremos minimizar a função dada por [A.4] sobre a região factível  $D$ . Para tal vamos construir o Lagrangeano:

$$\begin{aligned} A6 \quad L(\{T_{ij}\}, \vec{\alpha}, \vec{\beta}) &= \sum_i \sum_j T_{ij} \ln T_{ij} - \sum_i \sum_j T_{ij} \ln t_{ij} \\ &\quad + \sum_i \alpha_i (\sum_j T_{ij} - P_i) + \sum_j \beta_j (\sum_i T_{ij} - A_j) \end{aligned}$$

Tomando as derivadas parciais de  $L$  e igualando-a zero teremos as condições que  $\{T_{ij}\}$  deve satisfazer para ser um ponto estacionário:

$$A7 \quad \frac{\delta L}{\delta T_{ij}} = \ln T_{ij} + 1 - \ln t_{ij} + \alpha_i + \beta_j = 0$$

donde

$$\ln T_{ij} = -1 - \alpha_i - \beta_j + \ln t_{ij}$$

$$T_{ij} = e^{-1} \cdot e^{-\alpha_i} \cdot e^{-\beta_j} \cdot t_{ij}$$

Portanto

$$A8 \quad T_{ij} = r_i s_j t_{ij}$$

onde

$$r_i = e^{-(1+\alpha)\hat{i}} > 0$$

$$s_j = e^{-\beta j} > 0$$

Então uma matriz  $\{T_{ij}\}$  será um ponto estacionário se satisfizer as condições (A.1), (A.2), (A.5) e (A.8). No entanto as condições (A.8) e (A.3) são idênticas. Portanto - uma matriz que é ponto estacionário de F será solução do problema P1, ou seja, toda solução de P2 é solução de P1.

Seja  $\{T_{ij}^*\}$  um ponto estacionário de F. Se  $T_{ij}^* > 0$  então a matriz de derivadas segundas de F calculada em  $\{T_{ij}^*\}$  é definida positiva com termos  $1/T_{ij}^*$  ao longo da diagonal e zero nas demais posições. Portanto  $\{T_{ij}^*\}$  é um ponto estacionário de mínimo. Então toda solução de P1 é um ponto estacionário de mínimo de F e portanto solução de P2.

## LEMA 2

A função  $F(\{T_{ij}\})$  dada por (A.4) é estritamente convexa ao conjunto D.

### Demonstração

O conjunto D é certamente convexo uma vez que é definido por um conjunto de inequações e equações lineares. O

segundo termo da equação (A.4) é linear com  $T_{ij}$ . Portanto - será suficiente demonstrar que o primeiro termo que chamaremos de  $G(\{T_{ij}\})$  é estritamente convexo. Então:

$$G(\{T_{ij}\}) = \sum_i \sum_j T_{ij} \ln T_{ij}$$

Consideremos agora a função  $f(x) = x \ln x$ . Evans, S.P[1973] demonstrou que esta função  $f(x)$  é estritamente convexa num intervalo  $(0, M]$  onde  $M$  é positivo. Se  $D$  é conjunto limitado, sempre existirão números positivos  $M_{ij}$  tais que

$$D \subset \prod_{i,j} [0, M_{ij}]$$

onde o símbolo  $\prod$  representa a operação produto cartesiano. Como  $G(\{T_{ij}\})$  é uma somatória de funções do tipo  $T_{ij} \ln T_{ij}$  segue-se que ela é restritamente convexa na região  $\prod_{i,j} [0, M_{ij}]$  e portanto em  $D$ .

### TEOREMA 1

O problema P2 tem solução única.

#### Demonstração

Seja  $\{T_{ij}^*\}$  um ponto estacionário de  $F$ . Se  $T_{ij}^* > 0$  então  $\{T_{ij}^*\}$  é um ponto de mínimo como foi mostrado no Lemã 1. Pelo-Lema 2 a função  $F$  é estritamente convexa em  $D$ . No entanto se uma função estritamente convexa tem um número local, este mínimo é necessariamente o mínimo sobre todo conjunto, ou seja, o mínimo global. Portanto o problema P2 tem solução única.

## TEOREMA 2

O problema P1 tem solução única.

### DEMONSTRAÇÃO

Pelo Lema 1, os problemas P1 e P2 tem conjuntos soluções iguais. No teorema 1 demonstramos que P2 tem uma única solução. Portanto o problema P1 tem uma única solução.

## TEOREMA 3

Se o método iterativo de Furness converge<sup>1</sup> então a matriz limite é a única solução do problema P1.

### DEMONSTRAÇÃO

Para facilitar a descrição reescreveremos abaixo o método de Furness.

$$t_{ij}^{(1)} = F_i^{(0)} \cdot t_{ij}$$

$$t_{ij}^{(2n)} = F_j^{(2n-1)} \cdot t_{ij}^{(2n-1)}$$

$$t_{ij}^{(2n+1)} = F_i^{(2n)} \cdot t_{ij}^{(2n)}$$

onde

---

<sup>1</sup> Aqueles que desejarem uma prova da convergência do método de Furness podem consultar Evans, A.W(1970).

$$A10 \quad F_i^{(2n)} = \frac{P_i}{\sum_j t_{ij}^{(2n)}}$$

$$A11 \quad F_j^{(2n-1)} = \frac{A_j}{\sum_i t_{ij}^{(2n-1)}}$$

O método iterativo devido a sua formulação força a satisfação das restrições de produção de viagens nas iterações ímpares, ou seja, faz com que a soma na linha  $i$  da matriz  $\{t_{ij}^{(2n+1)}\}$  seja igual a  $P_i$ . Analogamente nas iterações pares força a soma das colunas serem iguais aos  $A_j$ 's.

Podemos então escrever que:

$$A12 \quad \sum_j t_{ij}^{(2n+1)} = P_i \quad \text{para todo } i$$

$$A13 \quad \sum_i t_{ij}^{(2n)} = A_j \quad \text{para todo } j$$

por:

Seja  $\{t_{ij}^0\}$  a matriz limite. Então será dada

$$\{t_{ij}^0\} = \lim_{m \rightarrow \infty} \{t_{ij}^{(m)}\} = \lim_{n \rightarrow \infty} \{t_{ij}^{(2n)}\} = \lim_{n \rightarrow \infty} \{t_{ij}^{(2n+1)}\}$$

Tendo em vista as condições anteriores ela deve então satisfazer as restrições de atração e produção de viagens, ou seja:

$$A14 \quad \sum_i t_{ij}^{(k)} = A_j \quad \text{para todo } j$$

$$A15 \quad \sum_j t_{ij}^{(k)} = P_i \quad \text{para todo } i$$

Agora observemos que o método de Furness consiste de multiplicações alternadas de linhas e de colunas. Portanto a  $(K+2)$ -ésima matriz estará relacionada com a  $k$ -ésima por:

$$t_{ij}^{(K+2)} = X_i Y_j t_{ij}^{(K)} \quad \text{para todo } i \text{ e } j$$

Portanto se existir uma matriz limite ela será necessariamente da forma

$$A16 \quad t_{ij}^{(k)} = R_i S_j t_{ij}$$

Podemos concluir então que se o método de Furness converge para uma matriz esta deve satisfazer as condições (A.14), (A.15) e (A.16). Estas no entanto são respectivamente iguais às condições do problema P1 ou seja, (A.1), (A.2) e (A.3). Então a matriz  $\{t_{ij}^{(k)}\}$  será solução do problema P1 e portanto única.

#### TEOREMA 4

Os métodos de Furness e Detroit<sup>1</sup> quando aplicados a uma mesma matriz  $t_{ij}$  com elementos positivos convergem para uma mesma matriz solução.

---

<sup>1</sup> A prova de convergência do método de Detroit pode ser vista em EVANS, A.W. (1970)

## DEMONSTRAÇÃO

O método iterativo de Detroit é dado por:

$$t_{ij}^{(n)} = \frac{F_i^{(n-1)} \cdot F_j^{(n-1)}}{c^{(n-1)}} \times t_{ij}^{(n-1)}$$

Portanto ele consiste de multiplicações de linhas e colunas, donde se o método tende a um limite ele necessariamente será da forma:

$$t_{ij}^d = r_i s_j t_{ij}$$

satisfazendo a

$$\sum_{i=1}^I t_{ij}^d = A_j$$

$$\sum_{j=1}^J t_{ij}^d = P_i$$

Portanto a matriz  $\{t_{ij}^d\}$  será solução do problema P1. Já foi mostrado no teorema 3 que a matriz  $\{t_{ij}^b\}$  resultado da aplicação do método de Furness também é solução de P1. Como o problema P1 tem solução única então

$$\{t_{ij}^b\} = \{t_{ij}^d\}$$

## TEOREMA 5

Se o método de Fratar converge, ele e o método de Furness tenderão a uma mesma matriz solução quando aplicados a uma matriz  $\{t_{ij}\}$  com elementos positivos.

### DEMONSTRAÇÃO

O método iterativo de Fratar é definido por

$$t_{ij}^{(n)} = \frac{F_j^{(n-1)} \cdot P_i}{\sum_{j=1}^J t_{ij}^{(n-1)} \cdot F_j^{(n-1)}} \times t_{ij}^{(n-1)}$$

Observemos que o denominador da expressão anterior é uma constante para todos os elementos de uma mesma linha  $i$ :

$$\sum_{j=1}^J t_{ij}^{(n-1)} \cdot F_j^{(n-1)} = B_i^{(n-1)}$$

Portanto

$$t_{ij}^{(n)} = \frac{F_j^{(n-1)} \cdot P_i}{B_i^{(n-1)}} t_{ij}^{(n-1)}$$

$$t_{ij}^{(n)} = F_j^{(n-1)} \cdot \bar{F}_i^{(n-1)} \cdot t_{ij}^{(n-1)}$$

onde

$$\bar{F}_i^{(n-1)} = \frac{P_i}{B_i^{(n-1)}}$$

Portanto se o método de Fratar converge a matriz limite será da forma

$$\{t_{ij}^{\delta n}\} = r_i s_j t_{ij} \quad \text{para todo } i \text{ e } j$$

satisfazendo a:

$$\sum_{i=1}^I t_{ij}^{\delta n} = A_j \quad \text{para todo } j$$

$$\sum_{j=1}^J t_{ij}^{\delta n} = P_i \quad \text{para todo } i$$

Deste modo ela será solução do Problema P1.

Tendo em vista que o método de Furness também converge para uma solução do P1 e que este tem solução única então os citados métodos convergem para uma mesma solução.

APÊNDICE C

LOCALIZAÇÃO DAS ZONAS EXTERNAS À ÁREA DE PESQUISA

NÚMERO DA ZONA	LOCALIZAÇÃO
51	Santos e Litoral - Via Anchieta Riacho Grande - Via Anchieta Ribeirão Pires (outros - Via Anchieta)
52	Santo André - (Pereira Barreto) Santo André - (Baeta Neves)
53	Santo André - (Winston Churchill)
54	Santo André - (Rudge Ramos - R. Afonsina)
55	S. Caetano - (S. André - R. Pereira Barreto)
56	S. Caetano - (Rudge Ramos - R. Afonsina)
57	S. Caetano - (Rudge Ramos - R. Gerti)
58	S. Caetano - Estrada das Lágrimas
59	S. Paulo - Via Anchieta (Rudge Ramos)
60	S. Paulo - Via Anchieta
61	S. Paulo - Estrada do Cursino
62	S. Paulo - Estrada da Água Funda
63	S. Paulo - Via dos Imigrantes (Diadema MMDC)
64	S. Paulo - (Diadema - Piraporinha)
65	S. Paulo - Via Imigrantes (Piraporinha)
66	S. Paulo - Via Imigrantes (Estr. Eldorado)
67	S. Paulo - Via Imigrantes (Estr. Alvarenga)
68	S. Paulo - Via Imigrantes (Estr. Galvão)
69	Diadema - (Taboão)
70	Diadema - (MMDC)
71	Diadema - (Piraporinha)
72	Diadema - (V. Paulicéia)

APÊNDICE D

LISTAGEM DE PROGRAMA E SUBROTINA

1	0,00007032716	0,727357	0,000000	-0,50647483400
2	0,00007091430	0,700539	0,000000	-0,57523562900
3	0,00007107619	0,708964	0,000000	-0,57451892600
4	0,00007108205	0,733795	0,000000	-0,61180401600
5	0,00007151155	0,687773	0,000000	-0,63482459380
6	0,00007108370	0,708861	0,000000	-0,57944335000
7	0,00007252194	0,750114	0,000000	-0,64602937000
8	0,00007164331	0,756208	0,000000	-0,66763695000
9	0,0000716459	0,756192	0,000000	-0,66722557400
10	0,00007398419	0,683789	0,000000	-0,67598335000
11	0,00007842826	0,703657	0,000000	-0,65153509400
12	0,00007643500	0,658566	0,000000	-0,66483534400
13	0,00007425727	0,64027	0,000000	-0,60088938600
14	0,00007437442	0,653117	0,000000	-0,59739020300
15	0,00007564692	0,698543	0,000000	-0,61919884400
16	0,00007845300	0,686642	0,000000	-0,54680565100
17	0,00007163717	0,685900	0,000000	-0,52458152200
18	0,0000780886	0,657390	0,000000	-0,52852275200
19	0,00007156817	0,694169	0,000000	-0,52157900500
20	0,00007362725	0,665887	0,000000	-0,55630026800
21	0,00006997916	0,638668	0,000000	-0,53933979100
22	0,00007176456	0,691894	0,000000	-0,52619988200
23	0,00007400929	0,647348	0,000000	-0,59447144700
24	0,00007518759	0,642541	0,000000	-0,60949531900
25	0,00007569447	0,632518	0,000000	-0,61263677000
26	0,00007577893	0,638852	0,000000	-0,62123336700
27	0,00007588427	0,628881	0,000000	-0,62684354300
28	0,00007596872	0,626670	0,000000	-0,63325280800
29	0,00007642343	0,616377	0,000000	-0,66287520500
30	0,00007583307	0,609395	0,000000	-0,67345421800
31	0,00007578575	0,610805	0,000000	-0,66938241600
32	0,00007681569	0,608708	0,000000	-0,65483494200
33	0,00007615967	0,695447	0,000000	-0,67468459000
34	0,00007805816	0,656021	0,000000	-0,69373986100
35	0,00007568148	0,601352	0,000000	-0,66514749100
36	0,00007618343	0,645456	0,000000	-0,67123326700
37	0,00007497388	0,667808	0,000000	-0,67261786000
38	0,00007870950	0,725011	0,000000	-0,67747227000
39	0,00007490058	0,712068	0,000000	-0,65285451100
40	0,00007346291	0,694916	0,000000	-0,66174372300
41	0,00006853567	0,658997	0,000000	-0,56804055400
42	0,00007387205	0,716521	0,000000	-0,54622934800
43	0,00006867552	0,648284	0,000000	-0,60268037500
44	0,00006849092	0,581554	0,000000	-0,62033118700
45	0,00006849362	0,581502	0,000000	-0,60245882000
46	0,00007289182	0,686523	0,000000	-0,51329063000
47	0,00007679975	0,609592	0,000000	-0,56888296000
48	0,00007126489	0,608624	0,000000	-0,51475348300
49	0,00007117542	0,702101	0,000000	-0,60707375300
50	0,0000703746	0,653339	0,000000	-0,59147846000

ZONA	COMPRIMENTO MEDIO REAL	COMPRIMENTO MEDIO PREVISTO	VARIAÇÃO %	PRODUTÃO %	RAIZ DO ERRO QUADRATICO	RAIZ DO ERRO QUADRATICO	FATOR DE CORRELAÇÃO
1	584,00	293,95	98,32	92,52	268,00	240,81	0,517
2	893,00	1895,78	122,71	92,78	2000,00	1929,70	6,53
3	162,00	140,70	86,88	92,82	440,00	408,41	5,80
4	41,00	38,23	93,23	92,82	1827,00	1695,86	0,89
5	311,00	431,04	138,95	92,94	1098,00	1020,44	6,27
6	627,00	860,63	137,26	92,82	760,00	705,45	7,03
7	61,00	70,94	116,30	93,20	945,00	880,70	6,84
8	519,00	672,23	129,52	100,00	0,00	0,00	6,55
9	201,00	241,42	120,11	94,27	1275,00	1201,96	0,00
10	0,00	0,00	100,00	93,55	111,00	103,89	8,72
11	58,00	85,10	146,73	94,53	720,00	680,64	7,03
12	160,00	232,77	149,22	94,11	1265,00	1192,54	6,57
13	599,00	502,10	83,82	93,62	2963,00	2771,13	8,13
14	794,00	914,25	115,15	93,59	192,00	170,09	7,79
15	611,00	920,85	150,58	93,94	1392,00	1307,64	6,45
16	146,00	112,38	76,98	92,65	630,00	583,70	5,69
17	560,00	597,79	105,62	92,97	1078,00	999,41	7,47
18	1958,00	2397,02	132,77	92,53	474,00	494,41	7,62
19	1379,00	1379,01	191,46	92,95	513,00	495,19	11,91
20	529,00	597,13	112,88	93,17	874,00	816,92	7,41
21	19,00	8,30	48,83	100,00	0,00	0,00	0,00
22	645,00	549,82	85,24	93,00	1660,00	1543,83	7,97
23	476,00	410,59	86,26	93,78	1026,00	961,06	9,09
24	45,00	21,81	48,47	93,64	364,00	341,56	12,01
25	1601,00	933,10	58,28	100,00	0,00	0,00	0,00
26	192,00	133,47	69,51	93,87	988,00	928,42	9,46
27	133,00	85,61	57,07	93,89	161,00	151,33	11,80
28	39,00	33,19	85,18	94,01	364,00	342,20	9,13
29	0,00	0,00	100,00	94,11	19,00	16,04	8,02
30	85,00	43,99	51,76	94,20	423,00	423,00	16,02
31	101,00	94,84	93,90	94,19	1034,00	973,93	12,94
32	426,00	394,01	92,71	94,20	200,00	188,39	8,35
33	133,00	124,81	93,84	94,05	1254,00	1179,43	11,83
34	22,00	16,00	85,67	95,00	64,00	60,00	10,89
35	165,00	117,56	71,25	93,05	1103,00	1033,42	7,32
36	317,00	335,70	112,21	94,06	2016,00	1896,23	8,78
37	1088,00	1196,89	104,73	93,79	162,00	151,93	8,82
38	76,00	72,55	95,46	94,89	1408,00	1331,83	9,95
39	129,00	138,00	128,54	93,77	642,00	600,13	7,03
40	0,00	0,00	100,00	93,43	624,00	583,00	8,49
41	103,00	106,62	103,00	92,10	220,00	202,63	10,09
42	675,00	322,97	103,51	100,00	0,00	0,00	0,00
43	394,00	229,14	47,85	92,15	2226,00	2051,33	8,27
44	303,00	193,81	64,73	92,10	1054,00	970,73	9,58
45	0,00	0,00	50,76	92,10	550,00	508,59	11,24
46	2118,00	3049,55	100,00	92,77	189,00	189,00	7,00
47	304,00	249,92	143,98	94,19	336,00	316,49	5,24
48	825,00	1025,09	82,21	92,87	216,00	200,60	8,89
49	834,00	632,63	124,28	100,00	108,00	100,20	6,09
50	698,00	672,26	90,31	100,00	0,00	0,00	0,00

ESTUDO DOS COMPRIMENTOS MEDIOS DE VIAGEM

RAIZ DO ERRO QUADRATICO 18,16771

ERRO MEDIO QUADRATICO 2,76944

FATOR DE CORRELAÇÃO 0,66416

COEFICIENTE DE CORRELAÇÃO MATRICIAL 0,62233

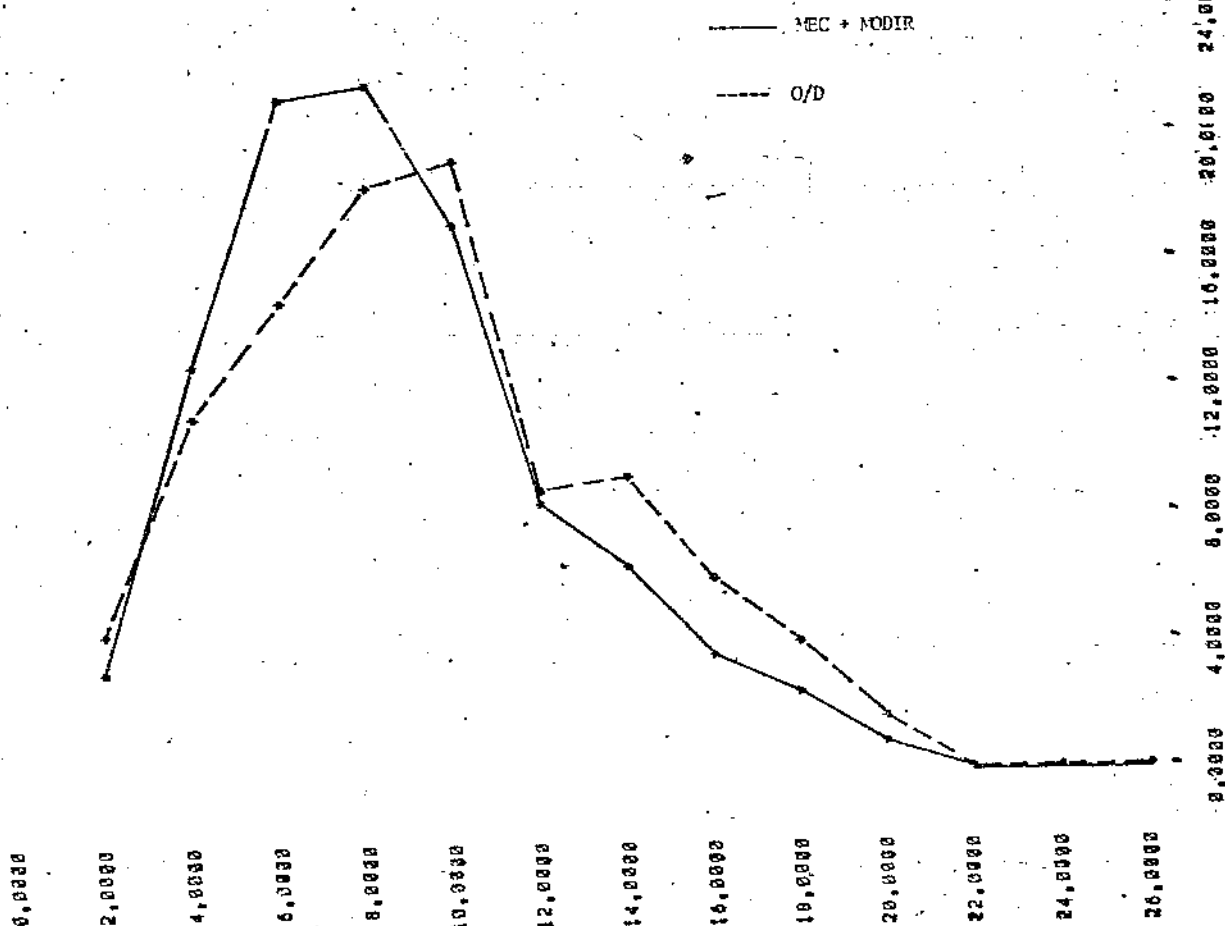
0,896844

FREQUENCIA DE COMPRIMENTO DE VIAGEM

INTERVALO	OBSERVADO	PREVISTO	FREQ. OBS.	FREQ. PREV.
0,0 2,0	1739,0	1133,6	4,6	3,3
2,0 4,0	4174,0	4468,7	11,3	12,9
4,0 6,0	5497,0	7417,8	14,8	21,4
6,0 8,0	6848,0	7523,3	18,8	21,7
8,0 10,0	7164,0	5976,3	19,3	17,3
10,0 12,0	3359,0	3044,6	9,1	8,8
12,0 14,0	3511,0	2316,8	9,8	6,7
14,0 16,0	2311,0	1381,1	6,2	4,8
16,0 18,0	1616,0	842,7	4,4	2,4
18,0 20,0	621,0	313,4	1,7	0,9
20,0 22,0	139,0	136,8	0,4	0,4
22,0 24,0	127,0	42,6	0,3	0,1
24,0 182,0	0,0	38,3	0,0	0,1

RAIZ DO ERRO MEDIO QUADRATICO\* 6,656

COEFICIENTE DE CORRELACAO\* 0,954992



ZONA	COMPRIMENTO MEDIO REAL	COMPRIMENTO MEDIO PREVISTO	RAZAO	ERRO	ERRO QUADRATICO	RAIZ DO ERRO MEDIO QUADRATICO	FATOR DE CORRELACAO
1	5,17	5,17	1,00	0,00	0,00	0,00	0,00
2	6,53	6,53	1,00	0,00	0,00	0,00	0,00
3	9,50	9,50	1,00	0,00	0,00	0,00	0,00
4	8,58	8,58	1,00	0,00	0,00	0,00	0,00
5	5,87	5,87	1,00	0,00	0,00	0,00	0,00
6	5,12	5,12	1,00	0,00	0,00	0,00	0,00
7	6,04	6,04	1,00	0,00	0,00	0,00	0,00
8	8,55	8,55	1,00	0,00	0,00	0,00	0,00
9	6,00	6,00	1,00	0,00	0,00	0,00	0,00
10	8,72	8,72	1,00	0,00	0,00	0,00	0,00
11	8,68	8,68	1,00	0,00	0,00	0,00	0,00
12	8,97	8,97	1,00	0,00	0,00	0,00	0,00
13	8,13	8,13	1,00	0,00	0,00	0,00	0,00
14	7,79	7,79	1,00	0,00	0,00	0,00	0,00
15	6,45	6,45	1,00	0,00	0,00	0,00	0,00
16	7,38	7,38	1,00	0,00	0,00	0,00	0,00
17	7,47	7,47	1,00	0,00	0,00	0,00	0,00
18	5,12	5,12	1,00	0,00	0,00	0,00	0,00
19	7,62	7,62	1,00	0,00	0,00	0,00	0,00
20	11,91	11,91	1,00	0,00	0,00	0,00	0,00
21	7,41	7,41	1,00	0,00	0,00	0,00	0,00
22	9,00	9,00	1,00	0,00	0,00	0,00	0,00
23	7,97	7,97	1,00	0,00	0,00	0,00	0,00
24	9,09	9,09	1,00	0,00	0,00	0,00	0,00
25	12,81	12,81	1,00	0,00	0,00	0,00	0,00
26	9,00	9,00	1,00	0,00	0,00	0,00	0,00
27	9,45	9,45	1,00	0,00	0,00	0,00	0,00
28	11,89	11,89	1,00	0,00	0,00	0,00	0,00
29	9,13	9,13	1,00	0,00	0,00	0,00	0,00
30	8,02	8,02	1,00	0,00	0,00	0,00	0,00
31	9,17	9,17	1,00	0,00	0,00	0,00	0,00
32	11,51	11,51	1,00	0,00	0,00	0,00	0,00
33	7,14	7,14	1,00	0,00	0,00	0,00	0,00
34	7,32	7,32	1,00	0,00	0,00	0,00	0,00
35	10,99	10,99	1,00	0,00	0,00	0,00	0,00
36	7,33	7,33	1,00	0,00	0,00	0,00	0,00
37	8,62	8,62	1,00	0,00	0,00	0,00	0,00
38	8,51	8,51	1,00	0,00	0,00	0,00	0,00
39	7,88	7,88	1,00	0,00	0,00	0,00	0,00
40	7,78	7,78	1,00	0,00	0,00	0,00	0,00
41	8,09	8,09	1,00	0,00	0,00	0,00	0,00
42	8,13	8,13	1,00	0,00	0,00	0,00	0,00
43	9,69	9,69	1,00	0,00	0,00	0,00	0,00
44	5,00	5,00	1,00	0,00	0,00	0,00	0,00
45	5,88	5,88	1,00	0,00	0,00	0,00	0,00
46	8,00	8,00	1,00	0,00	0,00	0,00	0,00
47	10,33	10,33	1,00	0,00	0,00	0,00	0,00
48	11,24	11,24	1,00	0,00	0,00	0,00	0,00
49	7,08	7,08	1,00	0,00	0,00	0,00	0,00
50	5,32	5,32	1,00	0,00	0,00	0,00	0,00
51	7,80	7,80	1,00	0,00	0,00	0,00	0,00
52	5,54	5,54	1,00	0,00	0,00	0,00	0,00
53	7,69	7,69	1,00	0,00	0,00	0,00	0,00
54	5,71	5,71	1,00	0,00	0,00	0,00	0,00
55	8,00	8,00	1,00	0,00	0,00	0,00	0,00

ERRO MEDIO QUADRATICO 5,89773  
 RAIZ DO ERRO MEDIO QUADRATICO 2,42882  
 FATOR DE CORRELACAO 0,875154

ESTUDO DOS COMPRIMENTOS MEDIOS DE VIAGEM  
 COEFICIENTE DE CORRELACAO MATRICIAL 0,891542  
 NUMERO DE ITERACOES 46  
 RAIZ DO ERRO 17,33226  
 METODO QUADRATICO

FREQUENCIA DE COMPRIMENTO DE VIAGEM

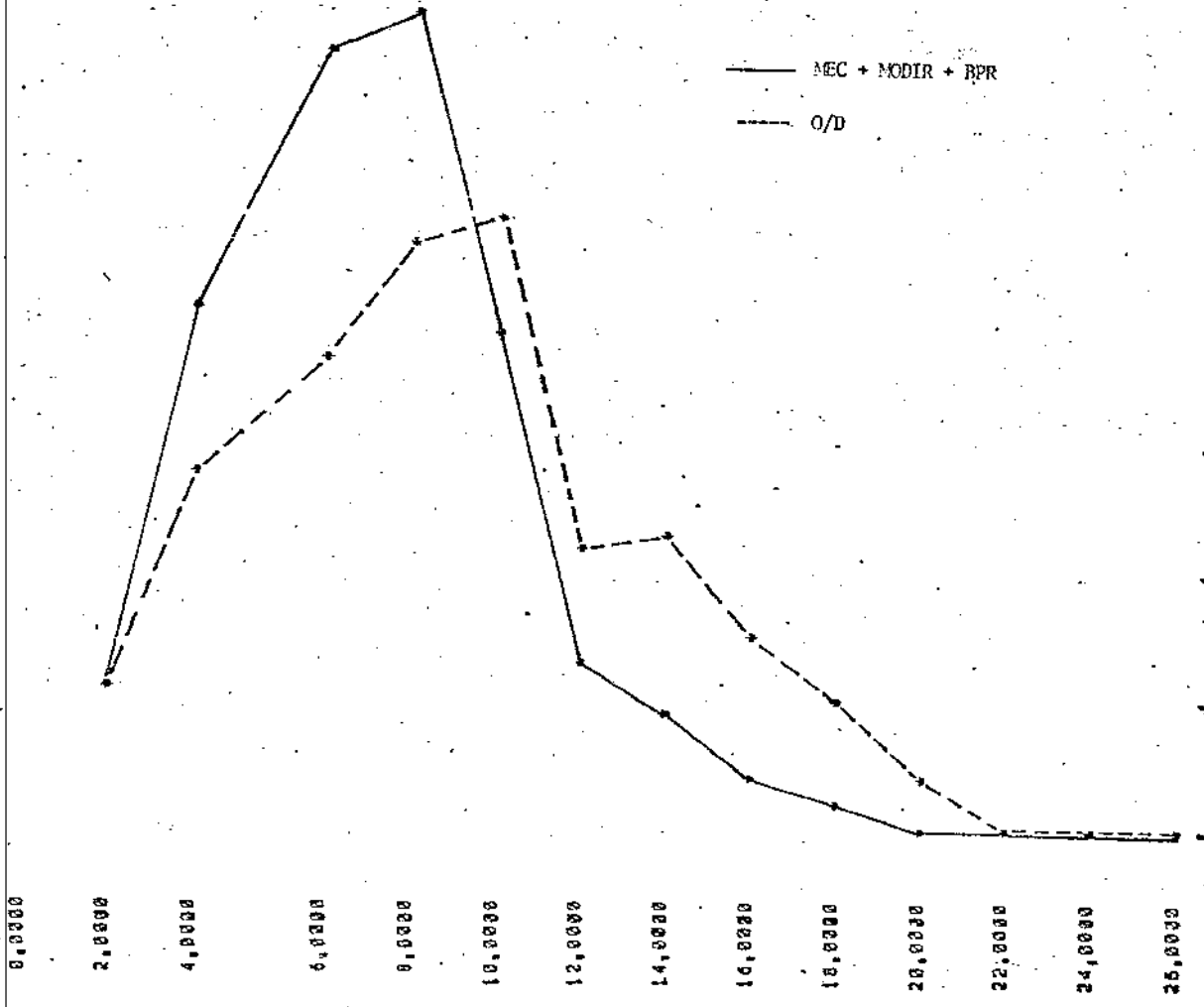
INTERVALO	OBSERVADO	PREVISTO	FREQ. OBS.	FREQ. PREV.
0,0 2,0	1700,0	1630,7	4,6	4,4
2,0 4,0	4174,0	6133,5	11,3	16,6
4,0 6,0	5497,0	9139,4	14,8	24,7
6,0 8,0	6840,0	9591,7	18,8	26,0
8,0 10,0	7164,0	6791,2	19,3	15,7
10,0 12,0	3359,0	2054,0	9,1	5,6
12,0 14,0	3511,0	1465,7	9,8	4,0
14,0 16,0	2311,0	659,5	0,2	1,8
16,0 18,0	1616,0	318,3	4,4	0,9
18,0 20,0	821,0	99,6	1,7	0,3
20,0 22,0	139,0	33,2	0,4	0,1
22,0 24,0	127,0	9,7	0,3	0,0
24,0 182,0	0,0	0,0	0,0	0,0

RAIZ DO ERRO MEDIO QUADRATICO = 9,094

COEFICIENTE DE CORRELACAO = 0,887862

P0	F1	P2	F3	F4	P5
0,0	1,0	0,0	0,0	0,0	1,0

OO = 0,0 ME = 0



REAL	PREVISTO	REAL	PREVISTO	% APLICAO	% PRODUCAO	ALUNA	DESEMPENHO MEDIO	CUMPRIMENTO MEDIO
524,00	523,46	260,00	260,00	99,38	100,00	1	5,17	5,80
891,00	893,72	2000,00	2000,00	99,03	100,00	2	6,53	6,33
162,00	161,11	440,00	440,00	99,45	100,00	3	9,80	6,36
41,00	40,93	1827,00	1827,00	99,83	100,00	4	0,89	7,25
311,00	310,08	1008,00	1008,00	99,70	100,00	5	7,03	6,48
627,00	625,21	760,00	760,00	99,71	100,00	6	6,04	5,70
61,00	61,30	945,00	945,00	99,99	100,00	7	8,55	7,39
519,00	519,90	0,00	0,00	100,17	100,00	8	0,00	0,00
201,00	201,35	1275,00	1275,00	99,17	100,00	9	8,72	8,18
0,00	0,00	111,00	111,00	100,00	100,00	10	8,60	8,33
58,00	58,19	720,00	720,00	100,31	100,00	11	8,57	6,87
160,00	160,59	1265,00	1265,00	100,36	100,00	12	6,13	6,95
599,00	603,15	2060,00	2060,00	100,69	100,00	13	7,70	8,03
794,00	798,71	192,00	192,00	100,59	100,00	14	6,45	6,40
611,00	613,66	1392,00	1392,00	100,44	100,00	15	7,38	6,33
146,00	146,92	630,00	630,00	100,63	100,00	16	7,47	5,32
560,00	569,36	1075,00	1075,00	100,59	100,00	17	5,12	7,42
196,00	196,18	513,00	513,00	100,52	100,00	18	7,62	6,35
1360,00	1365,97	210,00	210,00	100,44	100,00	19	11,91	7,02
520,00	521,40	874,00	874,00	100,45	100,00	20	7,41	7,22
19,00	19,10	0,00	0,00	100,54	100,00	21	0,00	0,00
645,00	648,26	1660,00	1660,00	100,51	100,00	22	7,97	8,35
475,00	477,90	1026,00	1026,00	100,41	100,00	23	9,89	8,31
45,00	45,16	364,00	364,00	100,32	100,00	24	12,01	11,38
1601,00	1605,39	0,00	0,00	100,27	100,00	25	0,00	0,00
192,00	192,52	988,00	988,00	100,27	100,00	26	9,46	9,33
150,00	150,40	161,00	161,00	100,27	100,00	27	11,80	10,22
39,00	39,12	364,00	364,00	100,31	100,00	28	9,13	8,62
0,00	0,00	18,00	18,00	100,00	100,00	29	8,78	8,55
85,00	85,14	450,00	450,00	100,16	100,00	30	16,02	10,54
101,00	101,27	1034,00	1034,00	100,26	100,00	31	0,48	12,95
426,00	427,26	200,00	200,00	100,30	100,00	32	11,83	8,43
133,00	133,29	1254,00	1254,00	100,22	100,00	33	10,09	11,62
22,00	22,01	64,00	64,00	100,04	100,00	34	7,32	6,62
164,00	165,11	1100,00	1100,00	100,08	100,00	35	12,97	9,71
317,00	318,23	2016,00	2016,00	100,39	100,00	36	8,78	10,73
1083,00	1080,60	162,00	162,00	100,25	100,00	37	8,62	8,55
176,00	176,10	1400,00	1400,00	100,13	100,00	38	9,02	8,60
129,00	129,44	640,00	640,00	100,34	100,00	39	8,60	7,45
0,00	0,00	624,00	624,00	100,00	100,00	40	10,00	8,84
103,00	102,60	220,00	220,00	99,69	100,00	41	5,88	7,35
675,00	669,31	0,00	0,00	100,16	100,00	42	0,00	0,00
354,00	351,02	2226,00	2226,00	99,16	100,00	43	0,59	0,04
303,00	300,01	1054,00	1054,00	99,01	100,00	44	10,33	8,55
0,00	0,00	550,00	550,00	100,00	100,00	45	11,24	10,62
210,00	210,48	100,00	100,00	100,49	100,00	46	7,88	6,29
304,00	304,55	336,00	336,00	100,18	100,00	47	9,32	8,91
825,00	829,19	216,00	216,00	100,50	100,00	48	7,60	6,87
804,00	804,33	100,00	100,00	100,02	100,00	49	5,85	7,02
690,00	690,52	0,00	0,00	99,64	100,00	50	0,00	0,00

RAIZ DO ERRO MEDIO QUADRATICO 15,76342

COEFICIENTE DE CORRELACAO MATRICIAL 0,849058  
 NUMERO DE ITERACOES 5

ESTUDO DOS COMPRIMENTOS MEDIOS DE VIAGEM.  
 ERRO MEDIO QUADRATICO 2,28878  
 RAIZ DO ERRO MEDIO QUADRATICO 1,51285  
 FATOR DE CORRELACAO 0,995488

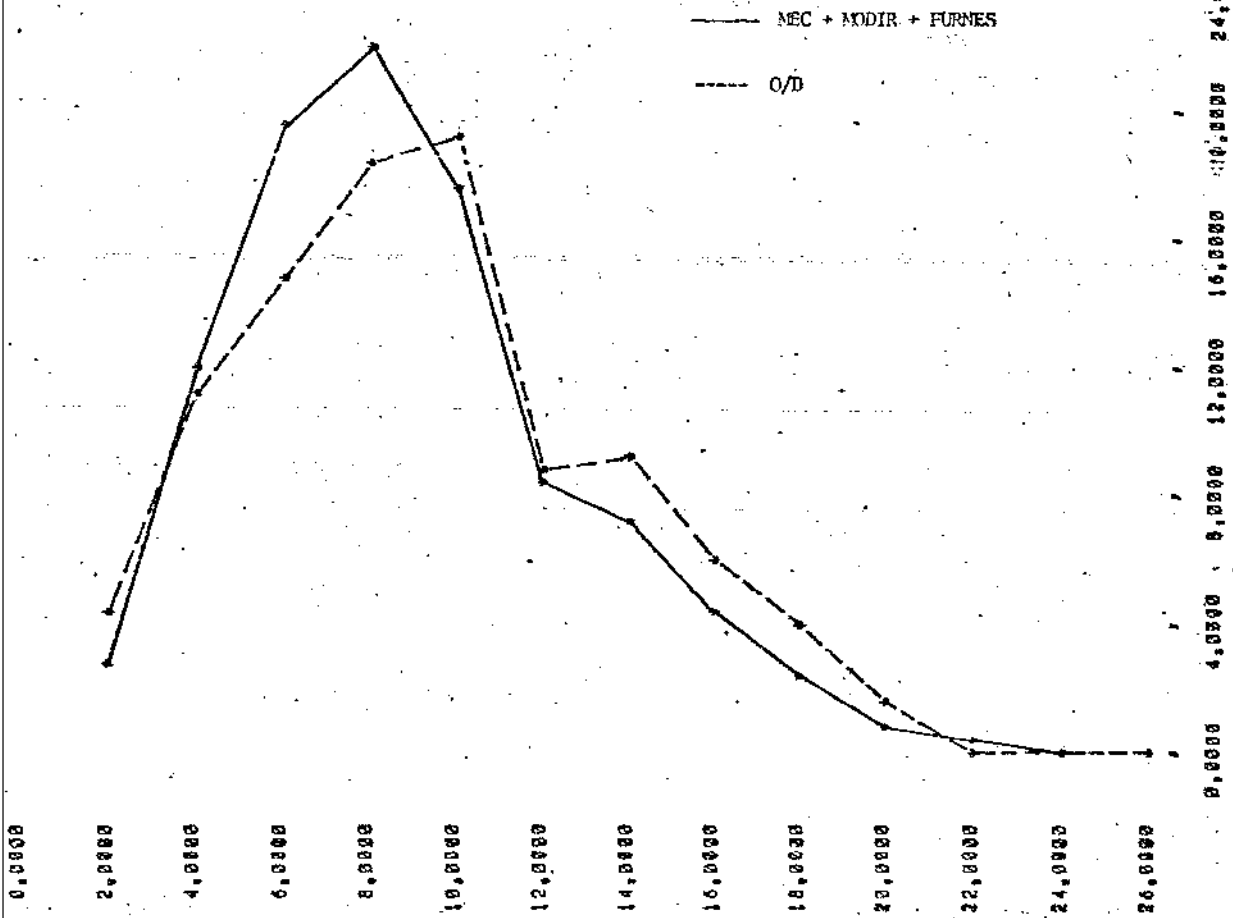
FREQUENCIA DE COMPRIMENTO DE VIAGEM

INTERVALO	OBSERVADO	PREVISTO	FREQ. OBS.	FREQ. PREY.
0,0 2,0	1700,0	1130,3	4,0	3,0
2,0 4,0	4174,0	4457,5	11,3	12,0
4,0 6,0	5497,0	7399,5	14,8	20,0
6,0 8,0	6840,0	8167,9	18,5	22,0
8,0 10,0	7164,0	6843,3	19,3	17,7
10,0 12,0	3359,0	3222,4	9,1	8,7
12,0 14,0	3511,0	2689,2	9,5	7,3
14,0 16,0	2311,0	1735,0	6,2	4,7
16,0 18,0	1616,0	1035,9	4,4	2,8
18,0 20,0	621,0	385,5	1,7	1,0
20,0 22,0	139,0	186,9	0,4	0,5
22,0 24,0	127,0	61,9	0,3	0,2
24,0 26,0	0,0	43,9	0,0	0,1

RAIZ DO ERRO MEDIO QUADRATICO = 0,081

COEFICIENTE DE CORRELACAO = 0,988899

F0	F1	F2	F3	F4	F5
0,0	1,0	0,0	0,0	0,0	0,0



4 - 1961-17 SYMBOLS - 514

COMPRIMENTO MEDIO PREVISAO 5,17  
 REAL 5,17  
 1 100,00  
 2 100,00  
 3 100,00  
 4 100,00  
 5 100,00  
 6 100,00  
 7 100,00  
 8 100,00  
 9 100,00  
 10 100,00  
 11 100,00  
 12 100,00  
 13 100,00  
 14 100,00  
 15 100,00  
 16 100,00  
 17 100,00  
 18 100,00  
 19 100,00  
 20 100,00  
 21 100,00  
 22 100,00  
 23 100,00  
 24 100,00  
 25 100,00  
 26 100,00  
 27 100,00  
 28 100,00  
 29 100,00  
 30 100,00  
 31 100,00  
 32 100,00  
 33 100,00  
 34 100,00  
 35 100,00  
 36 100,00  
 37 100,00  
 38 100,00  
 39 100,00  
 40 100,00  
 41 100,00  
 42 100,00  
 43 100,00  
 44 100,00  
 45 100,00  
 46 100,00  
 47 100,00  
 48 100,00  
 49 100,00  
 50 100,00

COMPRIMENTO MEDIO PREVISAO 5,17  
 REAL 5,17  
 1 100,00  
 2 100,00  
 3 100,00  
 4 100,00  
 5 100,00  
 6 100,00  
 7 100,00  
 8 100,00  
 9 100,00  
 10 100,00  
 11 100,00  
 12 100,00  
 13 100,00  
 14 100,00  
 15 100,00  
 16 100,00  
 17 100,00  
 18 100,00  
 19 100,00  
 20 100,00  
 21 100,00  
 22 100,00  
 23 100,00  
 24 100,00  
 25 100,00  
 26 100,00  
 27 100,00  
 28 100,00  
 29 100,00  
 30 100,00  
 31 100,00  
 32 100,00  
 33 100,00  
 34 100,00  
 35 100,00  
 36 100,00  
 37 100,00  
 38 100,00  
 39 100,00  
 40 100,00  
 41 100,00  
 42 100,00  
 43 100,00  
 44 100,00  
 45 100,00  
 46 100,00  
 47 100,00  
 48 100,00  
 49 100,00  
 50 100,00

COMPRIMENTO MEDIO PREVISAO 5,17  
 REAL 5,17  
 1 100,00  
 2 100,00  
 3 100,00  
 4 100,00  
 5 100,00  
 6 100,00  
 7 100,00  
 8 100,00  
 9 100,00  
 10 100,00  
 11 100,00  
 12 100,00  
 13 100,00  
 14 100,00  
 15 100,00  
 16 100,00  
 17 100,00  
 18 100,00  
 19 100,00  
 20 100,00  
 21 100,00  
 22 100,00  
 23 100,00  
 24 100,00  
 25 100,00  
 26 100,00  
 27 100,00  
 28 100,00  
 29 100,00  
 30 100,00  
 31 100,00  
 32 100,00  
 33 100,00  
 34 100,00  
 35 100,00  
 36 100,00  
 37 100,00  
 38 100,00  
 39 100,00  
 40 100,00  
 41 100,00  
 42 100,00  
 43 100,00  
 44 100,00  
 45 100,00  
 46 100,00  
 47 100,00  
 48 100,00  
 49 100,00  
 50 100,00

COMPRIMENTO MEDIO PREVISAO 5,17  
 REAL 5,17  
 1 100,00  
 2 100,00  
 3 100,00  
 4 100,00  
 5 100,00  
 6 100,00  
 7 100,00  
 8 100,00  
 9 100,00  
 10 100,00  
 11 100,00  
 12 100,00  
 13 100,00  
 14 100,00  
 15 100,00  
 16 100,00  
 17 100,00  
 18 100,00  
 19 100,00  
 20 100,00  
 21 100,00  
 22 100,00  
 23 100,00  
 24 100,00  
 25 100,00  
 26 100,00  
 27 100,00  
 28 100,00  
 29 100,00  
 30 100,00  
 31 100,00  
 32 100,00  
 33 100,00  
 34 100,00  
 35 100,00  
 36 100,00  
 37 100,00  
 38 100,00  
 39 100,00  
 40 100,00  
 41 100,00  
 42 100,00  
 43 100,00  
 44 100,00  
 45 100,00  
 46 100,00  
 47 100,00  
 48 100,00  
 49 100,00  
 50 100,00

ESTUDO DOS COMPRIMENTOS MEDIOS DE VIAGEM  
 ERRO MEDIO RAIZ DO ERRO PATOR DE  
 QUADRATICO MEDIO QUADRATICO CORRELACAO  
 2,28802 1,51262 0,985478  
 COEFICIENTE DE CORRELACAO MATRICIAL 0,849203  
 NUMERO DE ITERACOES \* 2  
 RAIZ DO ERRO 15,76197  
 MEDIO QUADRATICO

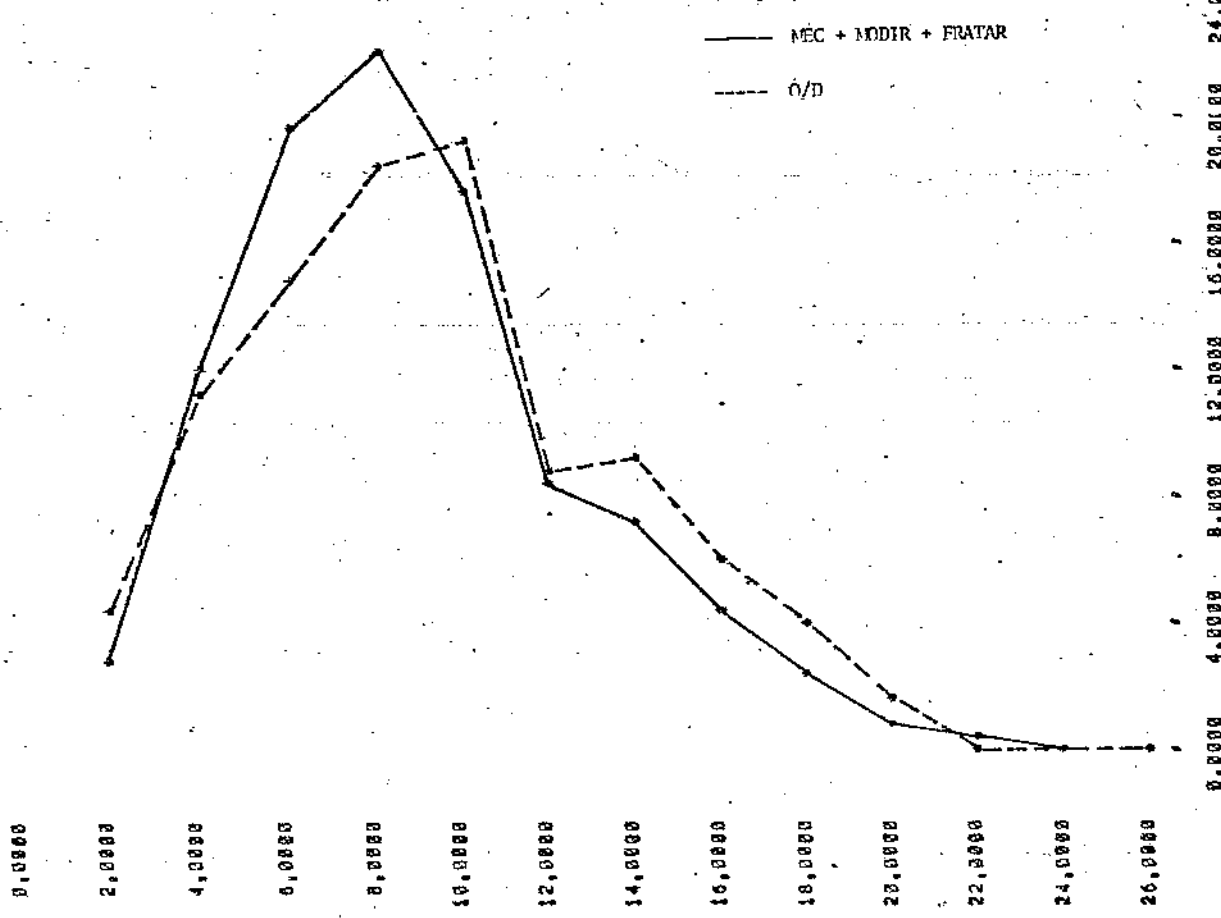
FREQUENCIA DE COMPRIMENTO DE VIAGEM

INTERVALO	OBSERVADO	PREVISTO	FREQ. OBS.	FREQ. PREV.
0,0 2,0	1720,0	1130,1	4,8	3,8
2,0 4,0	4174,0	4457,0	11,3	12,0
4,0 6,0	5497,0	7399,0	14,8	20,0
6,0 8,0	6840,0	8167,7	18,5	22,0
8,0 10,0	7164,0	6543,7	19,3	17,7
10,0 12,0	3359,0	3222,1	9,1	8,7
12,0 14,0	3511,0	2689,4	9,5	7,3
14,0 16,0	2311,0	1735,5	6,2	4,7
16,0 18,0	1616,0	1036,3	4,4	2,8
18,0 20,0	621,0	385,5	1,7	1,0
20,0 22,0	139,0	180,9	0,4	0,5
22,0 24,0	127,0	61,9	0,3	0,2
24,0 26,0	0,0	43,8	0,0	0,1

RAIZ DO ERRO MEDIO QUADRATICO = 6,081

COEFICIENTE DE CORRELACAO = 0,988117

F0	F1	F2	F3	F4	F5
0,0	1,0	0,0	0,0	0,0	-1,0



0,0000 2,0000 4,0000 6,0000 8,0000 10,0000 12,0000 14,0000 16,0000 18,0000 20,0000 22,0000 24,0000 26,0000

LISTA DE PARÂMETROS DE CONTABILIZAÇÃO

ZONA	PARÂMETRO E	NÚMERO DE LITRAÇÕES
1	PARA000000000	1
2	PARA000000000	1
3	PARA000000000	1
4	PARA000000000	1
5	PARA000000000	1
6	PARA000000000	1
7	PARA000000000	1
8	PARA000000000	1
9	PARA000000000	1
10	PARA000000000	1
11	PARA000000000	1
12	PARA000000000	1
13	PARA000000000	1
14	PARA000000000	1
15	PARA000000000	1
16	PARA000000000	1
17	PARA000000000	1
18	PARA000000000	1
19	PARA000000000	1
20	PARA000000000	1
21	PARA000000000	1
22	PARA000000000	1
23	PARA000000000	1
24	PARA000000000	1
25	PARA000000000	1
26	PARA000000000	1
27	PARA000000000	1
28	PARA000000000	1
29	PARA000000000	1
30	PARA000000000	1
31	PARA000000000	1
32	PARA000000000	1
33	PARA000000000	1
34	PARA000000000	1
35	PARA000000000	1
36	PARA000000000	1
37	PARA000000000	1
38	PARA000000000	1
39	PARA000000000	1
40	PARA000000000	1
41	PARA000000000	1
42	PARA000000000	1
43	PARA000000000	1
44	PARA000000000	1
45	PARA000000000	1
46	PARA000000000	1
47	PARA000000000	1
48	PARA000000000	1
49	PARA000000000	1
50	PARA000000000	1

REAL	PREVISTO	PREVISTO	REAL	PREVISTO	ATRAIAO	PRODUCAO	REAL	PREVISTO
1	50158	397,81	200,00	7,98	100,00	100,00	5,17	5,17
2	80359	1078,68	2000,00	12,78	100,00	100,00	6,53	6,53
3	162389	152,53	400,00	9,77	100,00	100,00	9,48	9,48
4	41284	38,64	1027,00	9,125	100,00	100,00	8,49	8,49
5	31178	383,78	1099,00	12,44	100,00	100,00	7,13	7,13
6	62384	815,15	700,00	13,01	100,00	100,00	6,41	6,41
7	61384	66,48	945,00	10,90	100,00	100,00	8,55	8,55
8	51984	544,73	945,00	11,59	100,00	100,00	8,62	8,62
9	20184	218,51	1275,00	10,71	100,00	100,00	8,66	8,66
10	8384	8384	111,00	10,00	100,00	100,00	8,57	8,57
11	5284	725,1	720,00	12,58	100,00	100,00	8,13	8,13
12	16084	199,78	1205,00	12,00	100,00	100,00	7,74	7,74
13	54784	567,9	2968,00	14,71	100,00	100,00	6,41	6,41
14	79184	418,27	192,00	115,05	100,00	100,00	7,23	7,23
15	61184	797,57	1392,00	110,54	100,00	100,00	7,38	7,38
16	14884	336,73	630,00	53,05	100,00	100,00	7,47	7,47
17	56084	658,38	1875,00	116,12	100,00	100,00	5,12	5,12
18	195084	2312,87	513,00	179,45	100,00	100,00	7,40	7,40
19	138884	1435,44	210,00	115,54	100,00	100,00	7,31	7,31
20	52984	544,89	874,00	112,40	100,00	100,00	8,00	8,00
21	12384	12,62	8,00	8,00	100,00	100,00	7,97	7,97
22	64584	645,66	1660,00	160,00	100,00	100,00	9,49	9,49
23	43845	438,45	1026,00	94,21	100,00	100,00	12,81	12,81
24	4584	29,21	364,00	0,492	100,00	100,00	8,88	8,88
25	115027	1150,27	8,00	72,22	100,00	100,00	9,46	9,46
26	19284	154,19	988,00	80,38	100,00	100,00	11,89	11,89
27	15884	130,88	161,00	11,25	100,00	100,00	9,43	9,43
28	3984	36,13	364,00	72,05	100,00	100,00	8,72	8,72
29	884	8,84	18,00	100,00	100,00	100,00	16,42	16,42
30	8584	54,59	450,00	14,23	100,00	100,00	8,42	8,42
31	10184	100,89	1014,00	39,48	100,00	100,00	8,48	8,48
32	12084	427,36	200,00	130,32	100,00	100,00	11,83	11,83
33	13384	134,75	1754,00	130,94	100,00	100,00	18,89	18,89
34	2284	21,87	64,00	30,78	100,00	100,00	7,32	7,32
35	16584	133,45	1100,00	30,08	100,00	100,00	12,97	12,97
36	31184	339,11	2016,00	100,98	100,00	100,00	8,78	8,78
37	149884	1118,46	162,00	105,71	100,00	100,00	8,67	8,67
38	7884	76,45	1408,00	104,59	100,00	100,00	9,42	9,42
39	12984	146,58	648,00	113,03	100,00	100,00	8,64	8,64
40	8384	8384	624,00	100,00	100,00	100,00	18,49	18,49
41	10384	114,61	220,00	111,29	100,00	100,00	5,88	5,88
42	67584	402,99	8,00	68,59	100,00	100,00	8,49	8,49
43	35484	302,52	2226,00	81,89	100,00	100,00	8,53	8,53
44	30384	217,15	1054,00	71,67	100,00	100,00	17,33	17,33
45	8384	8,42	550,00	100,00	100,00	100,00	11,24	11,24
46	21184	279,74	189,00	112,70	100,00	100,00	7,88	7,88
47	34384	278,85	336,00	89,10	100,00	100,00	9,32	9,32
48	82584	944,76	216,00	120,52	100,00	100,00	7,58	7,58
49	84584	889,44	108,00	210,63	100,00	100,00	5,85	5,85
50	89884	744,16	8,00	106,68	100,00	100,00	8,48	8,48

ESTUDO DOS COMPRIMENTOS MEDIOS DE VACAEM

RAIZ DO ERRO MEDIO QUADRATICO

COEFICIENTE DE CORRELAÇÃO MATRICIAL = 0,862797

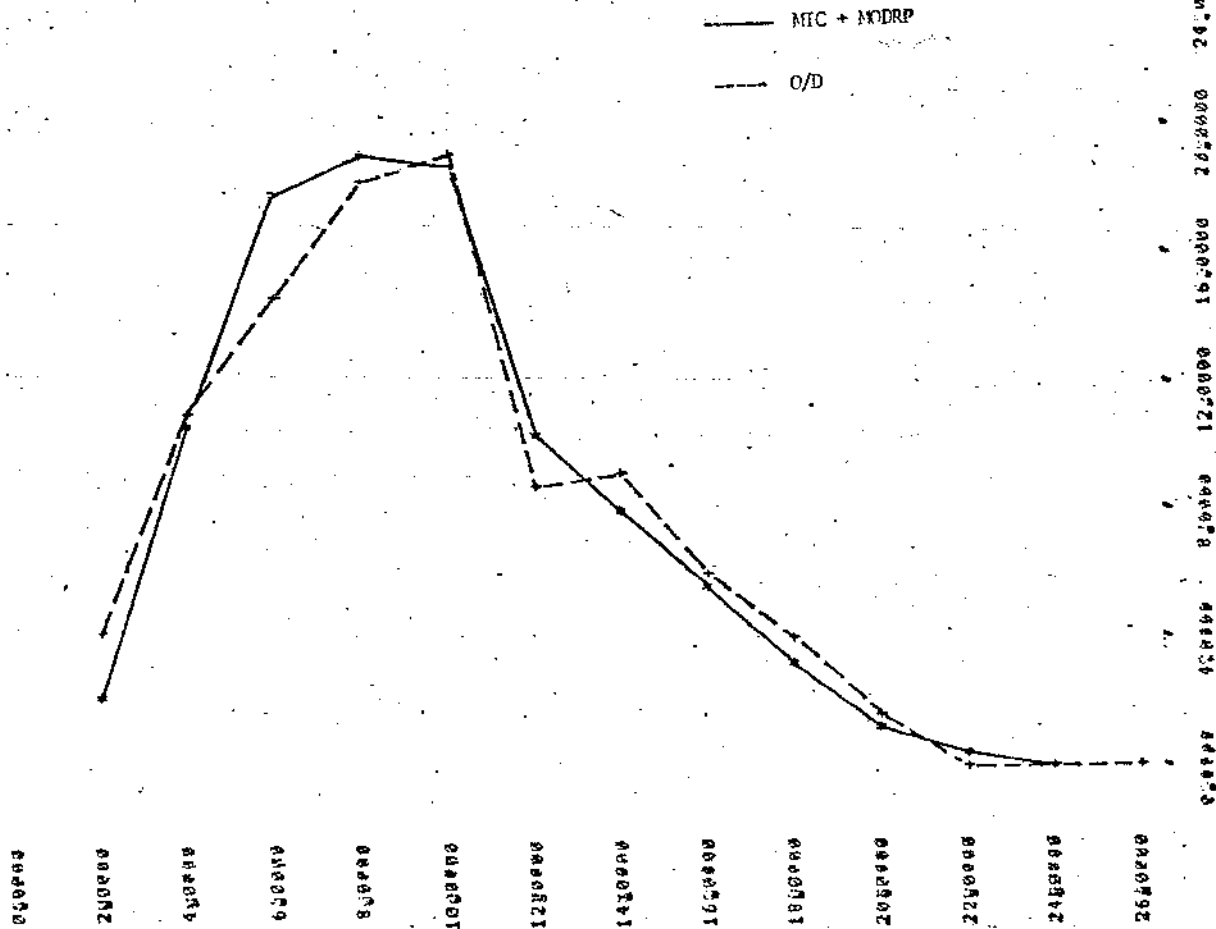
RAIZ DO ERRO MEDIO QUADRATICO

FREQUENCIA DE CUSTO

INTERVALO	OBSERVADO	PREVISTO	FREQ. OBS.	FREQ. PREV.
0,00	2,00	1790,0	940,5	2,5
2,00	4,00	4174,0	4390,7	11,0
4,00	6,00	5997,0	6745,1	18,2
6,00	8,00	6848,0	7129,1	19,2
8,00	10,00	7164,0	7090,9	19,1
10,00	12,00	3359,0	3896,3	10,5
12,00	14,00	3511,0	2990,5	8,1
14,00	16,00	2311,0	2077,1	5,6
16,00	18,00	1616,0	1295,8	3,5
18,00	20,00	621,0	513,2	1,4
20,00	22,00	139,0	199,0	0,5
22,00	24,00	127,0	63,6	0,2
24,00	182,00	0,0	37,2	0,1

RAIZ DO ERRO MEDIO QUADRATICO= 42567

COEFICIENTE DE CORRELACAO= 0,9985453



40,0000 36,0000 32,0000 28,0000 24,0000 20,0000 16,0000 12,0000 8,0000 4,0000 0,0000

ZONA	TOTAL ABRILADO		TOTAL PRODUZIDO		% ABRILADO		% PRODUZIDO		ZONA	CUMPRIMENTO MEDIO REAL		CUMPRIMENTO MEDIO PREVISTO	
	REAL	PREVISTO	REAL	PREVISTO	REAL	PREVISTO	REAL	PREVISTO		REAL	PREVISTO	REAL	PREVISTO
1	581,10	567,01	208,30	268,00	49,76	46,25	140,00	140,00	1	51,17	4,87	4,87	
2	042,00	041,25	200,00	200,00	47,91	47,91	100,00	100,00	2	6,53	6,53	6,53	
3	187,00	151,71	440,00	440,00	57,24	57,24	100,00	100,00	3	9,80	9,80	9,80	
4	41,00	47,95	187,00	187,00	79,91	79,91	100,00	100,00	4	8,20	8,20	8,20	
5	311,30	310,25	1098,00	1098,00	99,20	99,20	100,00	100,00	5	7,03	7,03	7,13	
6	027,00	026,87	700,00	700,00	99,85	99,85	100,00	100,00	6	6,84	6,84	6,84	
7	011,00	009,97	905,00	905,00	99,50	99,50	100,00	100,00	7	8,55	8,55	8,71	
8	519,00	519,01	2,00	9,00	0,00	0,00	100,00	100,00	8	8,00	8,00	8,00	
9	241,00	241,00	1275,00	1275,00	100,00	100,00	100,00	100,00	9	9,02	9,02	9,00	
10	8,00	8,00	111,00	111,00	100,00	100,00	100,00	100,00	10	8,58	8,58	8,58	
11	58,00	58,00	720,00	720,00	100,00	100,00	100,00	100,00	11	8,57	8,57	8,57	
12	100,00	100,00	1205,00	1205,00	100,00	100,00	100,00	100,00	12	8,13	8,13	8,28	
13	597,00	600,15	2960,00	2960,00	100,00	100,00	100,00	100,00	13	7,19	7,19	8,13	
14	704,00	705,44	194,00	194,00	100,00	100,00	100,00	100,00	14	6,45	6,45	6,90	
15	611,00	611,64	1392,00	1392,00	100,00	100,00	100,00	100,00	15	7,38	7,38	7,77	
16	140,00	140,35	630,00	630,00	100,00	100,00	100,00	100,00	16	7,47	7,47	7,85	
17	560,00	567,28	1075,00	1075,00	100,00	100,00	100,00	100,00	17	5,12	5,12	5,53	
18	1950,00	1960,87	513,00	513,00	100,00	100,00	100,00	100,00	18	7,07	7,07	8,25	
19	1300,00	1302,76	210,00	210,00	100,00	100,00	100,00	100,00	19	11,91	11,91	10,28	
20	527,00	529,47	874,00	874,00	100,00	100,00	100,00	100,00	20	7,41	7,41	7,45	
21	17,00	17,00	0,00	0,00	0,00	0,00	100,00	100,00	21	8,00	8,00	8,00	
22	045,00	046,48	1600,00	1600,00	100,00	100,00	100,00	100,00	22	7,97	7,97	8,38	
23	370,00	370,35	1020,00	1020,00	100,00	100,00	100,00	100,00	23	9,09	9,09	9,35	
24	450,00	450,86	364,00	364,00	100,00	100,00	100,00	100,00	24	12,41	12,41	12,17	
25	1621,00	1623,20	9,00	9,00	100,00	100,00	100,00	100,00	25	1,00	1,00	0,00	
26	192,00	192,77	908,00	908,00	100,00	100,00	100,00	100,00	26	9,15	9,15	9,35	
27	154,00	150,77	161,00	161,00	100,00	100,00	100,00	100,00	27	11,00	11,00	11,83	
28	390,00	390,00	304,00	304,00	100,00	100,00	100,00	100,00	28	9,13	9,13	9,09	
29	0,00	0,00	18,00	18,00	100,00	100,00	100,00	100,00	29	8,42	8,42	7,92	
30	05,00	05,00	450,00	450,00	100,00	100,00	100,00	100,00	30	16,92	16,92	15,48	
31	101,00	101,15	1034,00	1034,00	100,00	100,00	100,00	100,00	31	8,48	8,48	8,43	
32	426,00	426,61	200,00	200,00	100,00	100,00	100,00	100,00	32	11,53	11,53	11,16	
33	133,00	133,10	1254,00	1254,00	100,00	100,00	100,00	100,00	33	10,99	10,99	10,12	
34	270,00	270,00	64,00	64,00	100,00	100,00	100,00	100,00	34	7,34	7,34	7,34	
35	165,00	165,12	1100,00	1100,00	100,00	100,00	100,00	100,00	35	12,97	12,97	12,74	
36	317,00	317,17	2010,00	2010,00	100,00	100,00	100,00	100,00	36	9,04	9,04	9,04	
37	1058,00	1058,17	102,00	102,00	100,00	100,00	100,00	100,00	37	8,62	8,62	8,78	
38	700,00	700,00	640,00	640,00	100,00	100,00	100,00	100,00	38	8,71	8,71	8,71	
39	170,00	170,00	0,00	0,00	100,00	100,00	100,00	100,00	39	8,53	8,53	8,53	
40	700,00	700,00	624,00	624,00	100,00	100,00	100,00	100,00	40	9,89	9,89	9,89	
41	103,00	103,00	220,00	220,00	100,00	100,00	100,00	100,00	41	5,88	5,88	5,90	
42	673,00	673,32	0,00	0,00	100,00	100,00	100,00	100,00	42	8,00	8,00	8,00	
43	354,00	353,05	2226,00	2226,00	100,00	100,00	100,00	100,00	43	8,59	8,59	8,44	
44	303,00	303,14	1054,00	1054,00	100,00	100,00	100,00	100,00	44	10,23	10,23	9,74	
45	0,00	0,00	550,00	550,00	100,00	100,00	100,00	100,00	45	17,50	17,50	16,58	
46	2118,00	2121,40	109,00	109,00	100,00	100,00	100,00	100,00	46	8,40	8,40	8,40	
47	304,00	304,36	336,00	336,00	100,00	100,00	100,00	100,00	47	9,32	9,32	9,25	
48	825,00	826,54	216,00	216,00	100,00	100,00	100,00	100,00	48	8,16	8,16	8,16	
49	044,00	046,02	100,00	100,00	100,00	100,00	100,00	100,00	49	6,37	6,37	6,37	
50	008,00	006,90	0,00	0,00	100,00	100,00	100,00	100,00	50	0,00	0,00	0,00	

ESTUDO DOS CUMPRIMENTOS MEDIOS DE VIACEM

RAIZ DO ERRO MEDIO QUADRATICO	RAIZ DO ERRO MEDIO QUADRATICO	RAIZ DO ERRO MEDIO QUADRATICO	FATOR DE CORRELACAO
15418556	15418556	15418556	0,993500
0,14898	0,14898	0,14898	0,993500

COEFICIENTE DE CORRELACAO MATRICIAL = 0,872539

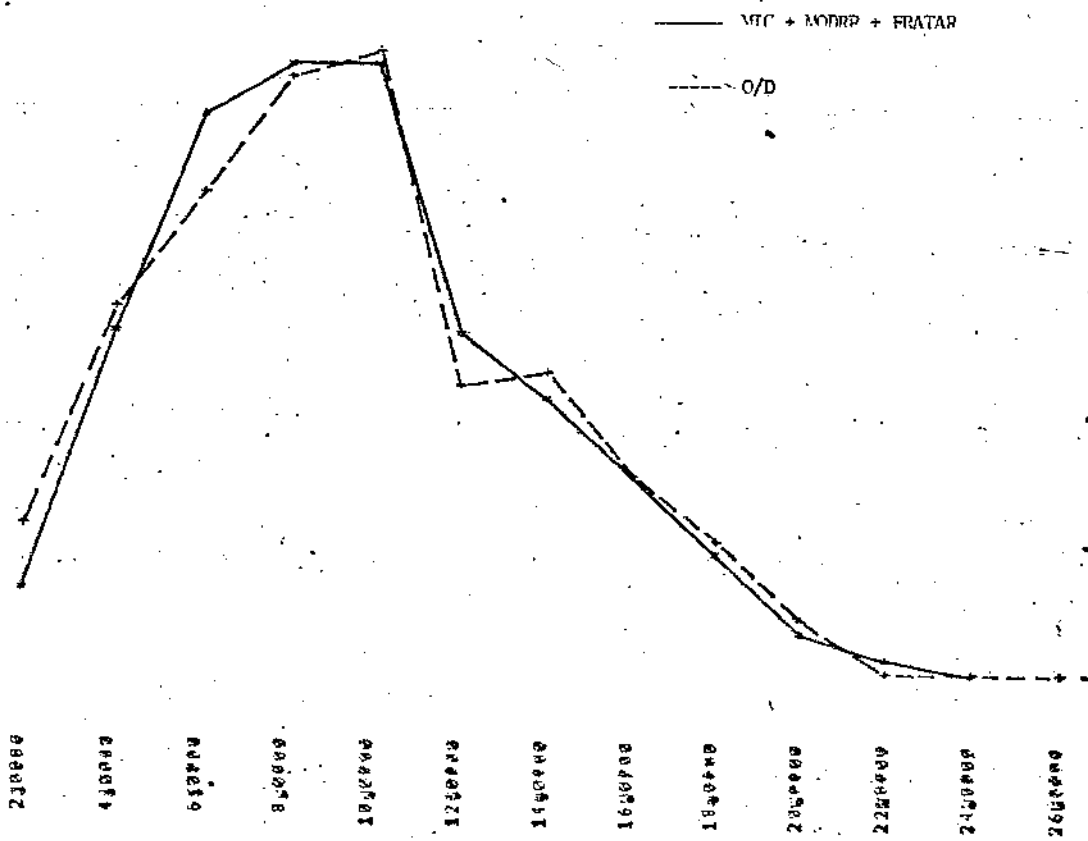
NUMERO DE ITERACOES = 2

INTERVALO	FREQUENCIA OBSERVADA	FREQUENCIA PREVISTA	FREQ. OBS.	FREQ. PREV.
0-4	2-8	991-5	4-0	4-0
4-8	0-8	3932-8	10-6	11-3
8-12	5-8	6415-4	17-3	14-8
12-16	8-8	7-637-1	19-1	18-5
16-20	10-8	7-919-1	18-9	19-3
20-24	12-8	2914-5	10-6	9-1
24-28	14-8	3163-4	8-5	9-5
28-32	16-8	2291-8	6-2	6-2
32-36	18-8	1474-1	3-8	4-4
36-40	20-8	521-7	1-5	1-7
40-44	22-8	237-0	0-0	0-4
44-48	24-8	81-9	0-0	0-3
48-52	26-8	48-3	0-1	0-0

RAIZ DO ERRO MEDIO QUADRATICO = 3.801

COEFICIENTE DE CORRELACAO = 0.988491

F0 F1 F2 F3 F4 F5  
0.0 1.0 1.0 1.0 1.0 1.0



— VIC + MODRP + FRATAR  
- - - O/D

0 40000 80000 120000 160000 200000 240000 280000 320000 360000 400000

RAIZ DO ERRO	PREVISÃO REAL	PREVISÃO	REAL	PROFITISSO	ITERAÇÃO	PRODUAÇÃO	ZONA	COMPRIMENTO MEDIO REAL	COMPRIMENTO MEDIO PREVISÃO
1	5843,44	577,81	298,44	200,99	91,76	100,00	1	5,17	4,87
2	893,44	891,55	298,44	200,99	91,76	100,00	2	6,53	6,53
3	142,04	161,71	442,00	440,00	97,82	100,00	3	9,86	9,86
4	41,00	41,00	1827,00	1827,00	97,91	100,00	4	8,07	8,20
5	312,35	312,35	1898,00	1898,00	97,86	100,00	5	7,87	7,87
6	627,04	616,87	762,00	762,00	97,85	100,00	6	6,84	6,84
7	614,44	633,97	445,00	445,00	97,95	100,00	7	8,55	8,71
8	513,04	513,04	0,00	0,00	100,00	100,00	8	9,89	9,89
9	281,04	281,04	1275,00	1275,00	100,00	100,00	9	8,72	8,72
10	6,04	6,04	111,00	111,00	100,00	100,00	10	8,02	8,02
11	50,04	58,43	720,00	720,00	100,00	100,00	11	6,57	6,57
12	160,04	166,49	720,00	720,00	100,00	100,00	12	8,13	8,24
13	593,04	622,16	1205,00	1205,00	100,00	100,00	13	7,79	7,79
14	794,04	795,44	2908,00	2908,00	100,00	100,00	14	6,45	6,45
15	611,04	611,04	192,00	192,00	100,00	100,00	15	7,47	7,47
16	100,04	100,04	1392,00	1392,00	100,00	100,00	16	5,82	5,82
17	560,04	560,04	630,00	630,00	100,00	100,00	17	7,47	7,47
18	1950,04	1950,04	1875,00	1875,00	100,00	100,00	18	8,25	8,25
19	1367,04	1367,04	513,00	513,00	100,00	100,00	19	11,91	11,91
20	529,04	529,04	1367,00	1367,00	100,00	100,00	20	7,41	7,41
21	17,04	17,04	874,00	874,00	100,00	100,00	21	9,89	9,89
22	645,04	645,04	0,00	0,00	100,00	100,00	22	8,38	8,38
23	476,04	476,04	1600,00	1600,00	100,00	100,00	23	9,89	9,89
24	45,04	45,04	1026,00	1026,00	100,00	100,00	24	12,17	12,17
25	1641,04	1641,04	364,00	364,00	100,00	100,00	25	9,48	9,48
26	192,04	192,04	0,00	0,00	100,00	100,00	26	11,82	11,82
27	154,04	154,04	988,00	988,00	100,00	100,00	27	9,13	9,13
28	33,04	33,04	161,00	161,00	100,00	100,00	28	16,02	16,02
29	1,04	1,04	364,00	364,00	100,00	100,00	29	8,48	8,48
30	85,04	85,04	18,00	18,00	100,00	100,00	30	11,91	11,91
31	161,04	161,04	450,00	450,00	100,00	100,00	31	16,12	16,12
32	12,04	12,04	1014,00	1014,00	100,00	100,00	32	8,78	8,78
33	133,04	133,04	260,00	260,00	100,00	100,00	33	5,02	5,02
34	22,04	22,04	1254,00	1254,00	100,00	100,00	34	8,54	8,54
35	163,04	163,04	64,00	64,00	100,00	100,00	35	9,89	9,89
36	317,04	317,04	1100,00	1100,00	100,00	100,00	36	7,34	7,34
37	1058,04	1058,04	2016,00	2016,00	100,00	100,00	37	12,57	12,57
38	70,04	70,04	182,00	182,00	100,00	100,00	38	8,78	8,78
39	123,04	123,04	1408,00	1408,00	100,00	100,00	39	6,02	6,02
40	6,04	6,04	640,00	640,00	100,00	100,00	40	9,89	9,89
41	193,04	193,04	624,00	624,00	100,00	100,00	41	8,54	8,54
42	675,04	675,04	220,00	220,00	100,00	100,00	42	8,54	8,54
43	354,04	353,05	0,00	0,00	100,00	100,00	43	18,07	18,07
44	303,04	317,14	2246,00	2246,00	100,00	100,00	44	5,38	5,38
45	6,04	6,04	1854,00	1854,00	100,00	100,00	45	8,54	8,54
46	2118,04	2121,48	550,00	550,00	100,00	100,00	46	18,13	18,13
47	304,04	304,04	189,00	189,00	100,00	100,00	47	7,88	7,88
48	823,04	823,04	336,00	336,00	100,00	100,00	48	9,32	9,32
49	845,04	845,04	216,00	216,00	100,00	100,00	49	7,47	7,47
50	608,04	608,04	100,00	100,00	100,00	100,00	50	5,85	5,85
RAIZ DO ERRO									
MEIO QUADRATICO									

ESTUDO DOS COMPRIMENTOS MEDIOS DE VIAGEM

COEFICIENTE DE CORRELAÇÃO MATRICIAL = 0,872539

NÚMERO DE ITERAÇÕES = 5

RAIZ DO ERRO MEDIO QUADRATICO = 0,14898

FATOR DE CORRELAÇÃO = 0,993588

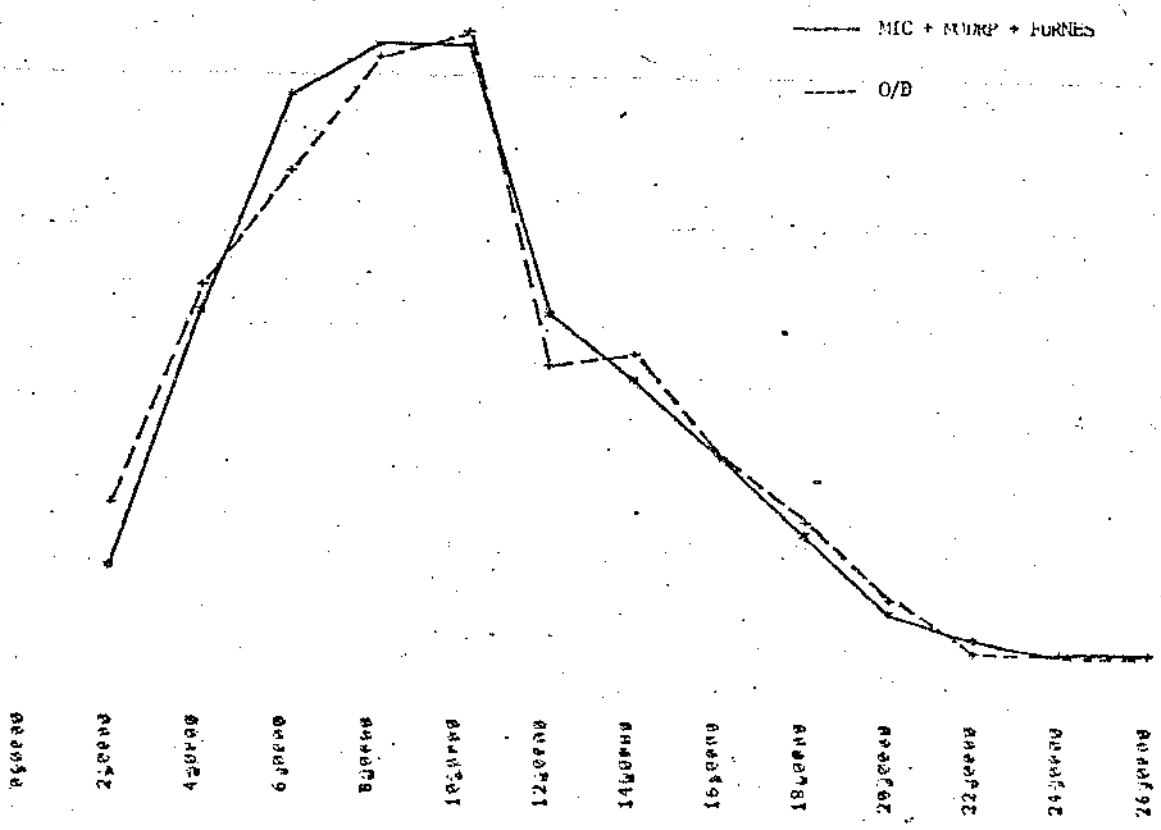
FREQUENCIA DE CUSTO

INTERVALO	OBSERVADO	PREVISTO	FREQ. OBS.	FREQ. PREV.
0,0	2,0	1739,8	401,5	2,6
2,0	4,0	4174,8	3932,8	11,3
4,0	6,0	5497,9	6415,4	14,8
6,0	8,0	6396,4	7063,1	18,5
8,0	10,0	7164,0	7819,1	19,3
10,0	12,0	3359,8	3914,5	9,1
12,0	14,0	3511,0	3163,4	9,5
14,0	16,0	2111,0	2791,8	6,2
16,0	18,0	1616,0	1424,1	4,4
18,0	20,0	621,0	566,0	1,7
20,0	22,0	139,0	237,0	0,4
22,0	24,0	127,0	81,0	0,3
24,0	26,0	0,0	48,3	0,0

RAIZ DO ERRO MEDIO QUADRATICO = 3,891

COEFICIENTE DE CORRELACAO = 0,988491

F0	F1	F2	F3	F4	F5
0,0	1,0	1,0	0,0	1,0	0,0



40,0000  
30,0000  
20,0000  
16,0000  
12,0000  
8,0000  
4,0000  
0,0000

0,0000 2,0000 4,0000 6,0000 8,0000 10,0000 12,0000 14,0000 16,0000 18,0000 20,0000 22,0000 24,0000 26,0000

ZONA	CAMPIMENTO MEDIO REAL	CUMPRIMENTO MEDIO PREVISIVO	TOTAL CUMPRIMENTO	TOTAL ATRAIÇÃO	PREVISIVO	REAL	PREVISIVO	ATRAIÇÃO	PRODUTÇÃO
1	5,17	4,84	266,00	581,00	266,00	266,00	91,81	100,00	
2	6,52	6,52	188,00	893,79	280,00	188,00	140,00	100,00	
3	9,84	9,84	448,00	161,99	448,00	448,00	91,99	100,00	
4	7,83	7,83	182,00	41,91	182,00	182,00	140,02	100,00	
5	6,86	6,86	109,00	711,97	109,00	109,00	140,04	100,00	
6	8,71	8,71	768,00	627,25	768,00	768,00	124,04	100,00	
7	9,00	9,00	945,00	61,84	945,00	945,00	124,07	100,00	
8	8,72	8,72	1275,00	514,17	9,00	1275,00	140,03	100,00	
9	8,57	8,57	111,00	781,12	111,00	111,00	140,04	100,00	
10	8,43	8,43	720,00	58,82	111,00	720,00	140,04	100,00	
11	6,45	6,45	1265,00	165,97	1265,00	1265,00	140,04	100,00	
12	7,77	7,77	2068,00	591,74	2068,00	2068,00	140,04	100,00	
13	7,94	7,94	192,00	791,81	192,00	192,00	140,04	100,00	
14	5,62	5,62	630,00	618,71	630,00	630,00	140,04	100,00	
15	9,42	9,42	1075,00	505,97	1075,00	1075,00	140,04	100,00	
16	7,47	7,47	513,00	140,23	513,00	513,00	140,04	100,00	
17	7,47	7,47	216,00	1361,91	216,00	216,00	140,04	100,00	
18	7,41	7,41	874,00	523,57	874,00	874,00	140,04	100,00	
19	8,80	8,80	0,00	17,66	0,00	0,00	140,04	100,00	
20	8,39	8,39	1668,00	632,88	1668,00	1668,00	140,04	100,00	
21	9,42	9,42	1826,00	476,78	1826,00	1826,00	140,04	100,00	
22	12,16	12,16	364,00	45,82	364,00	364,00	140,04	100,00	
23	8,88	8,88	0,00	1681,99	0,00	0,00	140,04	100,00	
24	9,42	9,42	988,00	197,33	988,00	988,00	140,04	100,00	
25	11,85	11,85	161,00	154,84	161,00	161,00	140,04	100,00	
26	7,23	7,23	364,00	37,86	364,00	364,00	140,04	100,00	
27	15,47	15,47	8,00	8,00	8,00	8,00	140,04	100,00	
28	8,48	8,48	450,00	85,81	450,00	450,00	140,04	100,00	
29	8,48	8,48	1034,00	161,13	1034,00	1034,00	140,04	100,00	
30	11,83	11,83	426,00	426,00	426,00	426,00	140,04	100,00	
31	14,12	14,12	133,00	133,00	133,00	133,00	140,04	100,00	
32	7,37	7,37	27,00	27,00	27,00	27,00	140,04	100,00	
33	12,75	12,75	110,00	104,95	110,00	110,00	140,04	100,00	
34	8,79	8,79	2016,00	316,94	2016,00	2016,00	140,04	100,00	
35	8,88	8,88	162,00	162,00	162,00	162,00	140,04	100,00	
36	8,52	8,52	1488,00	1657,69	1488,00	1488,00	140,04	100,00	
37	9,84	9,84	640,00	76,84	640,00	640,00	140,04	100,00	
38	5,88	5,88	624,00	128,95	624,00	624,00	140,04	100,00	
39	8,58	8,58	228,00	8,00	228,00	228,00	140,04	100,00	
40	8,58	8,58	0,00	183,62	0,00	0,00	140,04	100,00	
41	8,40	8,40	672,00	672,00	672,00	672,00	140,04	100,00	
42	9,79	9,79	222,00	353,44	222,00	222,00	140,04	100,00	
43	16,54	16,54	1054,00	382,17	1054,00	1054,00	140,04	100,00	
44	16,54	16,54	558,00	4,00	558,00	558,00	140,04	100,00	
45	9,27	9,27	189,00	2116,64	189,00	189,00	140,04	100,00	
46	8,10	8,10	336,00	383,75	336,00	336,00	140,04	100,00	
47	6,35	6,35	216,00	825,77	216,00	216,00	140,04	100,00	
48	8,00	8,00	108,00	884,92	108,00	108,00	140,04	100,00	
49	8,00	8,00	0,00	698,26	0,00	0,00	140,04	100,00	
50	8,00	8,00	0,00	0,00	0,00	0,00	140,04	100,00	

ESTADO DOS CUMPRIMENTOS MEDIOS DE VIAGEM.

RAIZ DO ERRO MEDIO QUADRATICO

RAIZ DO ERRO MEDIO QUADRATICO

FATOR DE CORRELAÇÃO

COEFICIENTE DE CORRELAÇÃO MATRICIAL = 0,981973

PIERO DE ITRACUES = 2

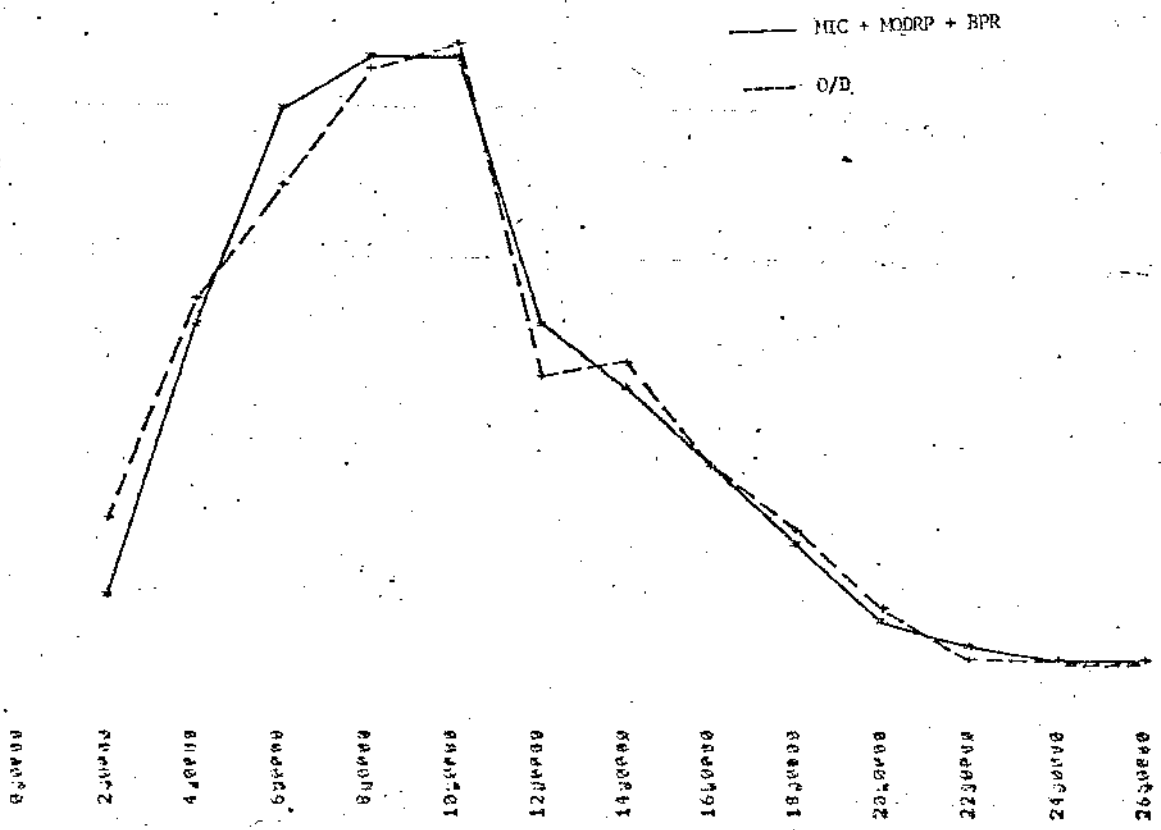
FREQUENCIA DE CUSTO

INTERVALO	OBSERVADO	PREVISTO	FREQ. OBS.	FREQ. PREV.
0,0 - 2,0	1700,0	680,0	2,0	4,0
2,0 - 4,0	4175,0	3879,0	10,5	11,3
4,0 - 6,0	5497,0	6387,7	17,2	17,8
6,0 - 8,0	6944,0	7043,9	19,1	18,5
8,0 - 10,0	7164,0	7255,4	19,0	19,3
10,0 - 12,0	3359,0	3967,2	10,7	9,1
12,0 - 14,0	3511,0	3198,8	8,6	9,5
14,0 - 16,0	2711,0	2269,7	6,2	8,2
16,0 - 18,0	1616,0	1428,3	3,8	4,4
18,0 - 20,0	621,0	562,3	1,5	1,7
20,0 - 22,0	139,0	236,0	0,6	0,4
22,0 - 24,0	127,0	81,3	0,2	0,3
24,0 - 182,0	0,0	48,8	0,0	0,0

RAIZ DO ERRO MEDIO QUADRATICO = 3,882

COEFICIENTE DE CORRELACAO = 0,988231

F0	F1	F2	F3	F4	F5
0,0	1,0	1,0	0,0	1,0	1,0



0,0000 2,0000 4,0000 6,0000 8,0000 10,0000 12,0000 14,0000 16,0000 18,0000 20,0000 22,0000 24,0000 26,0000

RAIZ DO ERRO MEDIO QUADRATICO	TOTAL ATRAIIDO		TOTAL PRODUZIDO		ZONA	COMPRIMENTO MEDIO		COMPRIMENTO MEDIO PREVISTO
	REAL	PREVISTO	REAL	PREVISTO		REAL	PREVISTO	
58	690,00	721,10	0,00	0,00	59	0,00	0,00	0,00
49	824,00	850,11	106,00	180,00	49	5,85	6,29	5,85
47	206,58	320,58	109,04	330,00	40	7,48	7,48	7,48
46	0,00	0,00	0,00	0,00	40	0,00	0,00	0,00
45	2118,00	320,58	530,00	550,00	45	11,24	11,24	11,24
44	321,00	105,66	1054,00	1054,00	44	8,53	9,54	8,53
43	354,00	240,64	2220,00	2220,00	43	0,00	0,00	0,00
42	0,00	0,00	0,00	0,00	42	0,00	0,00	0,00
41	183,00	114,31	220,00	220,00	41	5,88	7,37	5,88
40	0,00	0,00	0,00	0,00	40	0,00	0,00	0,00
39	129,00	0,00	624,00	624,00	39	10,09	8,49	10,09
38	70,00	119,94	1408,00	1408,00	38	9,02	7,03	9,02
37	1058,00	119,94	648,00	648,00	37	8,66	7,03	8,66
36	317,00	379,83	2016,00	2016,00	36	8,28	8,42	8,28
35	105,00	28,11	1108,00	1108,00	35	8,48	10,46	8,48
34	32,00	28,11	64,00	64,00	34	7,32	9,78	7,32
33	105,00	129,36	1108,00	1108,00	35	12,97	10,61	12,97
32	420,00	421,48	200,00	200,00	32	8,48	8,25	8,48
31	133,00	133,16	1254,00	1254,00	31	11,63	8,25	11,63
30	89,00	46,94	450,00	450,00	30	16,02	12,94	16,02
29	0,00	0,00	18,00	18,00	29	8,02	10,46	8,02
28	39,00	35,42	364,00	364,00	28	9,13	8,59	9,13
27	152,00	91,48	161,00	161,00	27	11,63	10,24	11,63
26	192,00	142,48	988,00	988,00	26	9,45	9,34	9,45
25	1021,00	92,39	0,00	0,00	25	0,00	0,00	0,00
24	45,00	2,31	364,00	364,00	24	12,31	11,86	12,31
23	645,00	587,95	1600,00	1600,00	22	7,97	7,66	7,97
22	470,00	430,65	1026,00	1026,00	23	9,29	7,91	9,29
21	19,00	9,16	0,00	0,00	21	0,00	0,00	0,00
20	522,00	637,59	0,00	0,00	20	7,41	6,47	7,41
19	1363,00	1474,13	210,00	210,00	19	11,91	6,31	11,91
18	1950,00	2779,91	513,00	513,00	18	7,62	5,33	7,62
17	560,00	630,40	1075,00	1075,00	17	5,12	5,44	5,12
16	146,00	126,25	630,00	630,00	16	7,47	8,44	7,47
15	614,00	982,78	1392,00	1392,00	15	6,45	5,69	6,45
14	794,00	977,05	192,00	192,00	14	7,38	7,41	7,38
13	599,00	535,89	2960,00	2960,00	13	8,13	7,79	8,13
12	186,00	248,01	1260,00	1260,00	12	8,57	6,32	8,57
11	58,00	98,94	720,00	720,00	11	8,57	6,10	8,57
10	0,00	0,00	111,00	111,00	10	8,80	7,65	8,80
9	201,00	208,21	1270,00	1270,00	9	8,72	8,02	8,72
8	0,00	0,00	0,00	0,00	8	0,00	0,00	0,00
7	319,00	716,92	945,00	945,00	7	6,55	7,05	6,55
6	0,00	0,00	0,00	0,00	6	0,00	0,00	0,00
5	0,00	0,00	0,00	0,00	5	0,00	0,00	0,00
4	41,00	40,99	1827,00	1827,00	4	8,09	7,34	8,09
3	162,00	131,16	448,00	448,00	3	6,08	6,46	6,08
2	893,00	1179,63	2000,00	2000,00	2	6,33	6,26	6,33
1	504,00	310,13	200,00	200,00	1	5,17	6,30	5,17

RAIZ DO ERRO MEDIO QUADRATICO 17,36009

COEFICIENTE DE CORRELACAO MATRICIAL 0,822079

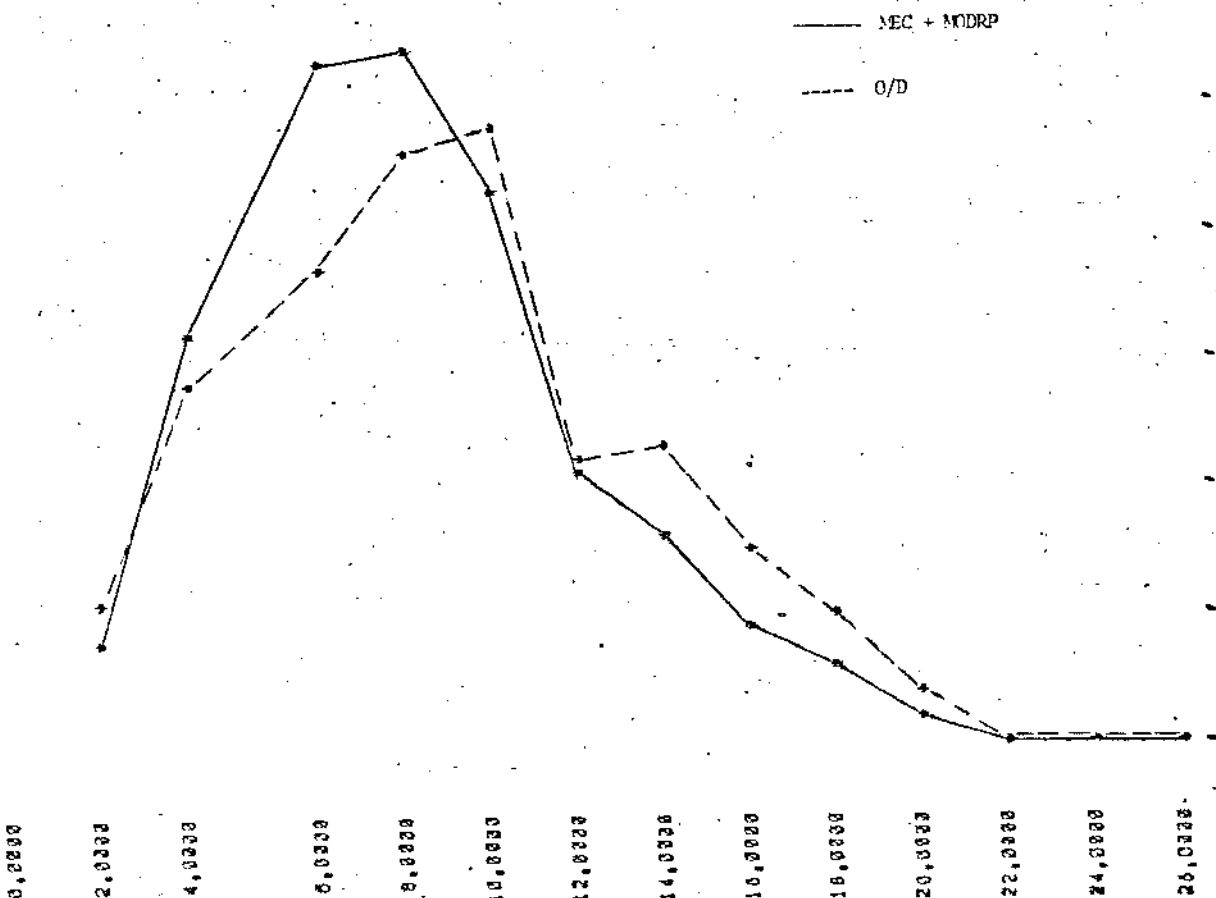
ESTUDO DOS COMPRIMENTOS MEDIOS DE VIAGEM  
 RAIZ DO ERRO MEDIO QUADRATICO 2,70944  
 RAIZ DO ERRO MEDIO QUADRATICO 1,00416  
 FATOR DE CORRELACAO 0,896843

FREQUENCIA DE COMPRIMENTO DE VIAGEM

INTERVALO	OBSERVADO	PREVISTO	FREQ. OBS.	FREQ. PREV.
0,0 - 2,0	1780,0	1216,4	4,6	3,3
2,0 - 4,0	4174,0	4781,3	11,3	12,9
4,0 - 6,0	5497,0	7948,5	14,8	21,4
6,0 - 8,0	6840,0	8352,8	18,5	21,7
8,0 - 10,0	7164,0	6381,9	19,3	17,2
10,0 - 12,0	3359,0	3251,5	9,1	8,8
12,0 - 14,0	3511,0	2481,0	9,5	6,7
14,0 - 16,0	2311,0	1478,2	6,2	4,0
16,0 - 18,0	1616,0	983,8	4,4	2,4
18,0 - 20,0	621,0	337,0	1,7	0,9
20,0 - 22,0	139,0	147,9	0,4	0,4
22,0 - 24,0	127,0	46,0	0,3	0,1
24,0 - 192,0	0,0	32,8	0,0	0,1

RAIZ DO ERRO MEDIO QUADRATICO\* 6.659

COEFICIENTE DE CORRELACAO\* 0,954498



APÊNDICE E

RESULTADOS OBTIDOS



```

15  FORMAT(5X, IZONAI, JX, IPARAMETRO L', I0X, IERRO MEDIOI, I2X,
C C
16  IPARAMETROI, 4X, IZ DE CORRELACAOI)
C C
17  FORMAT(5X, IZONAI, 5X, IPARAMETRO L', I9X, INUMERO DE ITERACOES I)
C C
18  FORMAT(11I, J3X, IMATRIZ PREVISTA PELO MODELO IRRESTRIITO)
C C
19  FORMAT(11I, J3X, IMATRIZ PREVISTA PELO MODELO RESTRITTO)
C C
20  FORMAT(11I, 5X, IZONAI, 6X, ICOMPRIMENTO MEDIOI, I6X,
C C
21  ICOMPRIMENTO MEDIOI)
C C
22  FORMAT(11I, I5X, ITOTAL, ATRAIIDOI, I0X, ITOTAL, PRODUTIDOI)
C C
23  FORMAT(, I4X, IREAL, I7X, IPREVISTOI, I5X, IREAL, I5X, IPREVISTOI,
C C
24  I2X, I3 ATRAIIDOI, I2X, I3 PRODUCAOI)
C C
25  FORMAT(11I, I4X, IMATRIZ RESULTANTEI METODO DE FRATAR I)
C C
26  FORMAT(11I, I4X, IMATRIZ RESULTANTEI METODO DE FURNESSI)
C C
27  FORMAT(, I7, I0X, INUMERO DE ITERACOES I, I2X, I4)
C C
28  FORMAT(, I5X, IQUADRATICOI, I9X, IINDEPENDENTEI)
C C
29  FORMAT(11I, J3X, IMETODO ITERATIVO DE CALIBRACAOI)
C C
30  FORMAT(11I, J3X, IPRIMEIRO METODO EMPIRICO DE CALIBRACAOI)
C C
31  FORMAT(21X, IREAL, I9X, IPREVISTOI)
C C
32  FORMAT(11I, I4X, IMATRIZ RESULTANTE I, METODO DO BPR I)
C C
33  FORMAT(11I, J3X, ISEGUNDO METODO EMPIRICO DE CALIBRACAOI)
C C
34  STOP
C C
35  END
C C
*****
C C
SUBROTINA CORREL
C C
SUBROUTINE CORREL(NI, NJ, T, VP)
C C
DIMENSION T(70,70), VP(70,70)
C C
T=0
VP=0
DO 1 I=1, NI
DO 1 J=1, NJ
T=TM+T(I, J)
VP=VPM+VP(I, J)
CONTINUE
L=NI+NJ
T=TM/L
VP=VPM/L
SDT=0
SDVP=0
SN=0
DO 2 I=1, NI
DO 2 J=1, NJ
SN=SN+(T(I, J)-TM)*(VP(I, J)-VPM)
SDT=SDT+(T(I, J)-TM)**2
SDVP=SDVP+(VP(I, J)-VPM)**2
CONTINUE
DEN=SQRT(SDT*SDVP)
R=SN/DEN
WRITE(19, 3)R
FORMAT(, I5X, ICOMEFICIENTE DE CORRELACAO MATRICIAL I, I3X, I0, I6)
RETURN
END

```

```

*****
SUBROTINA BPR
*****
SUBROUTINE BPR(NI, NJ, PORC, KI, XL, XLP, XLG, U, V, A, P, VP, IT)
DIMENSION XLP(1), XLG(1)
DIMENSION KI(70,70), U(70,70), V(70,70), VP(70,70)
DIMENSION X(1), A(1), P(1), SI(70), AI(70), A2(70)
CALL LER2(53, FI, F2, F3, F4, F5, HE, NJU, NK, NI, NZ, I, PN, 00)
DO 3 J=1, NJ
CONTINUE
A1(J)=A(3)
IT=0
ITERA=0
DO 1 J=1, NJ
SI(J)=0
DO 2 I=1, NI
SI(J)=SI(J)+VP(I, J)
CONTINUE
IF(SI(J).EQ.0) GO TO 33
A2(J)=A(J)+AI(J)/SI(J)
DIF=ABS(A1-A2(J))/A2(J)*100
IF(DIF.GT. PORC) ITERA=ITERA+1
A1(J)=A2(J)
CONTINUE
CONTINUE
IF(ITERA.EQ.5) GO TO 100
CALL VOLUME(NI, NJ, AI, KI, FI, U, V)
IF(F4.EQ.1) GO TO 5
CALL MODIRINI, NJ, KI, U, V, XL, XLP, XLG, HE, NJU, P, VP)
GO TO 6
CALL MODRRENI, NJ, KI, U, V, XL, P, VP)
IF(ITERA.GT.100) GO TO 100
RETURN
END
*****

```

PL0T

CCCC

SUBROTINA CALIB1

PROPOSITO: CALIBRAR O MODELO DE OPORTUNIDADES, OU SEJA, DE-  
 TERMINAR O VETOR XL QUE CONTEM OS PARAMETROS L,  
 DE CADA CENTROIDE ORIGEM. O METODO CONSISTE EM  
 EM FAZER UMA REGRESSAO LINEAR ENTRE U(I,K) E  
 LOGARITMO DE ( 1 + P(U,I,K) ) PARA TODO O  
 CENTROIDE I DA REDE. SERA FEITA UMA APROXI-  
 MACAO DE P(U,I,K) PARA U(I,K)/U(I,NJ).  
 XL(I) E DADO PELA INCLINACAO DA RETA OBTIDA. U  
 SE A VARIAVEL OO E IGUAL A ZERO, ENTAO O  
 METODO A MELHOR RETA QUE SE AJUSTA AOS PONTOS  
 E QUE PASSE PELA ORIGEM.

USO 1 CALL CALIB1(NJ,NJ,NK,NT,NZ,IFIN,OO,U,XL,E,B,R)

DESCRIÇÃO DOS PARAMETROS 1

- ENTRADA
  - N1= NUMERO DE CENTROIDES ORIGEM
  - N2= DESTINO
  - NK= VARIAVEL QUE DA QUAL A POSICAO NA OR-  
 DEM DE ACESSO DO PRIMEIRO CENTROIDE
  - DESTINO A SER CONSIDERADO NA REGRESSAO
  - NT= VARIAVEL QUE DA A POSICAO NA ORDEM DE  
 ACESSO DO ULTIMO CENTROIDE DESTINO A  
 SER CONSIDERADO NA REGRESSAO.
  - OBSERVACOES SERAO PORTANTO CONSIDERADOS  
 (NT-NK+1) CENTROIDES SENDO O  
 PRIMEIRO O MK-ESIMO MAIS PRO-  
 XIMO DA ORIGEM E O ULTIMO O  
 NT-ESIMO. SER MENOR OU IGUAL A  
 (NJ-1).
  - U = MATRIZ (NI X NJ) ONDE U(I,K) DA O VOLUM-  
 ME DE OPORTUNIDADES EXISTENTE ENTRE A  
 ORIGEM I E O K-ESIMO CENTROIDE DESTINO  
 INCLUIDO.
  - OO= VARIAVEL PARA CONTROLE DA REGRESSAO.  
 SE OO=2, OBTEMOS UMA RETA PASSANDO PELA  
 ORIGEM. SE OO=1, NAO IMPONEMOS QUE A RETA  
 PASSE PELA ORIGEM.
  - NZ = 1 SE QUISER INCLUIR O PONTO (0,0) NA RIGRES-  
 IFIN=NUMERO DO ARQUIVO INICIAL PARA A PLOTAGEM
- SAIDA=
  - XL = VETOR (1 X NJ) CONTENDO OS VALORES DAS  
 PARAMETROS L DE CADA ORIGEM I
  - R = VETOR (1 X NJ) QUE DA OS FATORES DE CORRE-  
 LACAO ENTRE OS DADOS DE CADA ORIGEM
  - E = VETOR (1 X NJ) CUJO ELEMENTO E(I) DA O  
 ERRO MEDIO QUADRATICO DA REGRESSAO FEITA  
 PARA O CENTROIDE I
  - B = VETOR (1 X NJ) QUE CONTEM OS PARAMETROS  
 INDEPENDENTES DAS RETAS OBTIDAS PELA RE-  
 GRESSAO.

SUBROTINAS NECESSARIAS 1 REGLIN

```

SURROUTINE CALIB1(NJ,NJ,U,XL,E,B,R,XLP,XLG)
DIMENSION XI(20),YI(20),PL(210)
DIMENSION U(75,75),XLP(1),XLG(1)
DIMENSION XL(1),E(1),R(1),B(1)
CALL LER2(F0,FL,F2,F3,F4,F5,ME,NJU,NK,NT,NZ,IFIN,OO)
OO 1 IFI,HI
IFOR:IFIN,T
KK=0

```

```

OO 2 K=1,(NJ-1)
IF(U(I,K),ME,U(I,NJ))OO TO 21
KK=KK+1
GO TO 20
YI(K)=ALOG(1+(U(I,K)/U(I,NJ)))
XI(K)=U(I,K)
CONTINUE
YI(NJ-KK)=0
XI(NJ-KK)=0
NNT=NJU+NZ-KK
NNT=NT+NZ-KK
CALL REGLIN(XI,YI,NK,NNTP,OO,A,B1,E1,R1)
XLP(I)=A
CALL REGLIN(XI,YI,NJU,NNT,OO,A,B1,E1,R1)
XLG(I)=A
CALL REGLIN(XI,YI,NK,NNT,OO,A,B1,E1,R1)
XLI(I)=A
E(I)=E1/(NNT+1)
R(I)=R1
B(I)=B1
NO=NNT-NK+1
PL(I)=XI(NJ)
PL(I+NO)=YI(NJ)
PL(I+NO+NO)=B(I)
DO 3 K=NZ+1,NO
PL(K+NO)=YI(K+NK-1-NZ)
PL(K+NO+NO)=XLI(I)+XLI(K+NK-1-NZ)+B(I)
CONTINUE
CALL PLOT(I,PL,NO,3,50,0,IFOR)
CONTINUE
RETURN
END

```

21  
20  
2

3  
1  
C  
C

SUBROTINA PARA COMPARAR OS COMP. MEDIOS DE VIAGEM

```

SUBROUTINE RMSE(NI,CHED,TEMPO)
DIMENSION CMED(1),TEMPO(1)
WRITE(15,2)
WRITE(15,3)
WRITE(15,4)
SOMA=0.
DO 1 I=1,NI
    SOMA=SOMA+(CMED(I)-TEMPO(I))*2.
CONTINUE

```

1

```

END=SOMA/NI
REM=SQR(EMD)
CALL REQIN(CHED,TEMPO,I,NI,3,4,5,6,R)
WRITE(15,5)EMD,REH,R
FORMAT(14X,'TESTUOD DOS COMPRIMENTOS MEDIOS DE VIAGEM!')
FORMAT(11X,'ERRO MEDIO',5X,'RAIZ DO ERRO',8X,'FATOR DE')
FORMAT(11X,'QUADRATICO',5X,'MEOIO QUADRATICO',6X,'CORRELAÇÃO')
FORMAT(14X,'F14,5',4X,'F14,5',8X,'F10,0')
RETURN
END

```

2 3 4 5 6

```

SUBROTINA MODIR
*****
SUBROTINA MODIR
*****
SUBROUTINE MODIR(NI,NJ,XI,Y,XL,XLP,XLG,ME,NJU,PI,VPRI)
DIMENSION XL(1),XLP(1)
DIMENSION KI(70,70),U(70,70),V(70,70),XL(1),PI(1),VPRI(70,70)
DO 1 I=1,NI
    DO 1 K=1,NJ
        IF(HE,60,0)GO TO 2
        IF(K,GT,NJU)GO TO 3
        XL(I)=XLP(I)
        GO TO 2
        XL(I)=XLG(I)
        VPRI(I,K)=(I*K)*PI(I)*(EXP(-XL(I))*V(I,K))-EXP(-XL(I))*U(I,K)
CONTINUE
RETURN
END

```

1 2 3 4 5 6

SUBROTINA FRATAR

```

SUBROUTINE FRATAR(NI,NJ,PORC,A,P,TI,ITERA,SI,FU)
DIMENSION TI(70,70)
DIMENSION KLI(70)
DIMENSION A(1),P(1),FI(1),FJ(1)
DO 1 I=1,NI
    KLI(I)=1.
    FI(I)=1.
CONTINUE
FJ(I)=1.
DO 2 J=1,NJ

```

1

```

    FJ(J)=1.
CONTINUE
ITERA=0
DO 3 I=1,NI
    DO 3 J=1,NJ
        TI(I,J)=TI(I,J)*FI(I)*FJ(J)+KLI(I)
CONTINUE
IZ=0
DO 3 J=1,NJ
    SI=0.
    DO 4 I=1,NI
        SI=SI+TI(I,J)
CONTINUE
IF(SI,NE,0.)GO TO 11
FJ(J)=1.
GO TO 15
FJ(J)=A(J)/SI
DJ=ABS(1.-FJ(J))*100.
IF(DJ,GT,PORC)IZ=IZ+1
CONTINUE
DO 5 I=1,NI
    SI=0.
    DO 6 J=1,NJ
        SI=SI+TI(I,J)*FJ(J)
CONTINUE
IF(SI,NE,0.)GO TO 20
FI(I)=1.
GO TO 21
FI(I)=P(I)/SI
IF(SI,NE,0.)GO TO 30
KLI(I)=1.
GO TO 31
KLI(I)=A(J)/SI
DJ=ABS(1.-FI(I))*100.
IF(DJ,GT,PORC)IZ=IZ+1
CONTINUE
IF(IZ,EG,100)GO TO 10
ITERA=ITERA+1
IF(ITERA,GT,100)GO TO 10
GO TO 7
RETURN
END

```

2 3 4 5 6 7 8 9 10 11 12 13 14 15 16 17 18 19 20 21 22 23 24 25 26 27 28 29 30 31 32 33 34 35 36 37 38 39 40 41 42 43 44 45 46 47 48 49 50 51 52 53 54 55 56 57 58 59 60 61 62 63 64 65 66 67 68 69 70 71 72 73 74 75 76 77 78 79 80 81 82 83 84 85 86 87 88 89 90 91 92 93 94 95 96 97 98 99 100

```

*****
SUBROTINA DIJSTR
*****
SUBROTINE DIJSTR(NM,NA,NO,ND,CUSTO,R,IR,MA)
DIMENSION CUSTO(1),NO(1),ND(1),MA(1),MT(1000),J1(1000)
DIMENSION NS(1000),IR(1),IRT(1000),MCAN(1000)
REAL MA,HT,MARCA,MCAN
INTEGER R
DO 10 I=1,NN
NS(I)=0
DO 2 J=1,NA
I=NO(J)
NS(I)=NS(I)+1
J1(I)=1
DO 3 I=1,NN
J1(I)=J1(I)+NS(I)
DO 4 I=1,NN
MA(I)=J1(I)
MT(I)=J1(I)
IRT(I)=30000
IR(I)=0
MAGR)=0
WER
L1=J1(M)
L2=J1(N)
IF(L1.GT.L2)GO TO 11
DO 5 L=L1,L2
KD=NO(L)
IF(MA(KD).NE.3000)GO TO 6
MARCA=MA(M)+CUSTO(L)
IF(MARCA.GE.MT(KD))GO TO 6
MT(KD)=MARCA
IRT(KD)=M
CONTINUE
LL=L1
MARCAS=MT(L)
DO 6 I=1,NN
IF(MT(I).GE.MARCA)GO TO 6
MARCAS=MT(I)
LL=L1
CONTINUE
IF(LL.EQ.1)AND.(MARCA.EQ.30000)GO TO 60
IR(LL)=IR(LL)
M(LL)=MARCA
MT(LL)=30000
M(L)=MARCAS
GO TO 7
RETURN
END

```

```

*****
SUBROUTINE NINTRA
*****
PROPOSITO EXCLUIR DA MATRIZ DE VIAGENS AS VIAGENS INTRAZONAIS
USO 1 CALL NINTRA(NI,NJ,T)
DESCRICAO DOS PARAMETROS
ENTRADA= NI* NUMERO DE CENTROIDES ORIGEM
NJ* NUMERO DE CENTROIDES DESTINO
T= MATRIZ DE VIAGENS
SAIDA= T* MATRIZ DE VIAGENS
*****
SUBROUTINE NINTRA(NI,NJ,T)
DIMENSION T(70,70)
DO 1 I=1,NI
CONTINUE
T(I,I)=0,
RETURN
END
*****
SUBROTINA ORDEM
*****
SUBROUTINE ORDEM(NI,NN,NA,NO,ND,CUSTO,KI,CIMP)
DIMENSION NO(1),ND(1),CUSTO(1),IR(1000),CT(1000)
DIMENSION IAR(100)
DIMENSION KI(70,70),CIMP(70,70)
DO 90 I=1,NI
CALL DIJSTR(NI,NA,NO,ND,CUSTO,I,IR,CT)
DO 90 J=1,NI
CIMP(I,J)=CT(J)
CONTINUE
CALL ACCESSO(I,CT,NJ,IAR)
DO 80 K=1,NJ
KI(I,K)=IAR(K)
CONTINUE
RETURN
END

```

```

*****
SUBROTINA PRODAT
*****
SUBROUTINE PRODAT(MI,NJ,AT,A,P)
DIMENSION T(70,70),A(I),P(I)
DO 1 J=1,NJ
  A(J)=0.
  DO 1 I=1,NI
    A(I)=A(I)*T(I,J)
  CONTINUE
DO 2 I=1,NI
  P(I)=0.
DO 2 J=1,NJ
  P(I)=P(I)+T(I,J)
CONTINUE
RETURN
END

```

```

*****
SUBROTINA VOLUME
*****
SUBROUTINE VOLUME(MI,NJ,AI,KI,FI,U,V)
DIMENSION KI(70,70),AI(I),U(70,70),V(70,70)
DO 1 I=1,NI
  V(I,1)=0.
  U(I,1)=AI(I)*FI
  DO 2 K=2,NJ
    U(I,K)=U(I,(K-1))+AI(KI(I,K))
    V(I,K)=V(I,K)+U(I,(K-1))
  CONTINUE
RETURN
END

```

```

*****
SUBROTINA MOORP
*****
SUBROUTINE MOORP(MI,NJ,KI,U,V,XL,PZ,VP,HRP)
DIMENSION XL(I)
DIMENSION U(70,70),V(70,70),KI(70,70),PZ(I),VP,HRP(70,70)
DO 1 I=1,NI
  VP=HRP(I,KI(I,K))
  VP=HRP(I,KI(I,K))*EXP(-XL(I)*V(I,K))
CONTINUE
RETURN
END

```

```

*****
SUBROTINA TEMP
*****
PROPOSITO: ENCONTRAR OS TEMPOS DE PERCURSO DE CADA UM DOS
ARCOS DO GRAFO REPRESENTATIVO DA REDE.
DESCRICAO DE PARAMETROS:
ENTRADA: NAI NUMERO DE ARCOS DA REDE
DISTI VETOR (1 X NAI) CONTENDO O TAMANHO
EM KM, DE CADA ARCO
TEMPOI VETOR (1 X NAI) ONDE O K-ESIMO ELEMENTO
DA A VELOCIDADE MEDIA NO ARCO K
SAIDA: TEMPOI TEMPO DE PERCURSO DO ARCO EM MINUTOS
*****
SUBROUTINE TEMP(NA,DIST,TEMPO)
DIMENSION DIST(I),TEMPO(I)
DO 1 K=1,NA
  IF(DIST(K))2,2,3
  TEMPO(K)=30000.
  GO TO 1
CONTINUE
TEMPO(K)=60.*DIST(K)/TEMPO(K)
RETURN
END

```

```

*****
SUBROTINA COMED
*****
SUBROUTINE COMED(MI,NJ,VI,RIMP,RMED)
DIMENSION VI(70,70),RIMP(70,70),RMED(I)
DO 1 I=1,NI
  SOMA1=0.
  SOMA2=0.
  DO 2 J=1,NJ
    SOMA1=SOMA1+RIMP(I,J)*VI(I,J)
    SOMA2=SOMA2+VI(I,J)
  CONTINUE
  IF(SOMA2.EQ.0.)SOMA2=1.
  RMED(I)=SOMA1/SOMA2
CONTINUE
RETURN
END

```

```

*****
SUBROTINA COMED
*****
SUBROUTINE COMED(MI,NJ,VI,RIMP,RMED)
DIMENSION VI(70,70),RIMP(70,70),RMED(I)
DO 1 I=1,NI
  SOMA1=0.
  SOMA2=0.
  DO 2 J=1,NJ
    SOMA1=SOMA1+RIMP(I,J)*VI(I,J)
    SOMA2=SOMA2+VI(I,J)
  CONTINUE
  IF(SOMA2.EQ.0.)SOMA2=1.
  RMED(I)=SOMA1/SOMA2
CONTINUE
RETURN
END

```

```

*****
SUBROTINA PRODAT
*****
SUBROUTINE PRODAT(MI,NJ,AT,A,P)
DIMENSION T(70,70),A(I),P(I)
DO 1 J=1,NJ
  A(J)=0.
  DO 1 I=1,NI
    A(I)=A(I)*T(I,J)
  CONTINUE
DO 2 I=1,NI
  P(I)=0.
DO 2 J=1,NJ
  P(I)=P(I)+T(I,J)
CONTINUE
RETURN
END

```

```

*****
SUBROTINA VOLUME
*****
SUBROUTINE VOLUME(MI,NJ,AI,KI,FI,U,V)
DIMENSION KI(70,70),AI(I),U(70,70),V(70,70)
DO 1 I=1,NI
  V(I,1)=0.
  U(I,1)=AI(I)*FI
  DO 2 K=2,NJ
    U(I,K)=U(I,(K-1))+AI(KI(I,K))
    V(I,K)=V(I,K)+U(I,(K-1))
  CONTINUE
RETURN
END

```

```

*****
SUBROTINA MOORP
*****
SUBROUTINE MOORP(MI,NJ,KI,U,V,XL,PZ,VP,HRP)
DIMENSION XL(I)
DIMENSION U(70,70),V(70,70),KI(70,70),PZ(I),VP,HRP(70,70)
DO 1 I=1,NI
  VP=HRP(I,KI(I,K))
  VP=HRP(I,KI(I,K))*EXP(-XL(I)*V(I,K))
CONTINUE
RETURN
END

```

```

1  KMAX=FLOAT(NB/SJ)*1
2  DO 2 K=3,KMAX,2
3  WRITE(15,5)
4  WRITE(15,6)
5  DO 2 I=1,50
6  *NO(S0*(K+1)+I),ND(50*(K+1)),ND(50*(K+1)),DIST(50*(K+1)),TEMPO(50*(K+1)+I)
7  CONTINUE
8  FORMAT(2I8X,I3,9X,I3,9X,F6.2,F6.2)
9  KK=(KMAX+1)*BB
10 WRITE(15,7)
11 WRITE(15,7)
12 DO 4 I=KK,MA
13 WRITE(15,5)NO(I),ND(I),DIST(I),TEMPO(I)
14 CONTINUE
15 FORMAT(6X,I3,9X,I3,9X,F6.2,3X,F6.2)
16 *TEMPO(I)
17 FORMAT(3I3X,1'(K+1),5X,1'(MIN))
18 RETURN
19 END

```

```

1  SUBROUTINE SAIDA4(NI,A,B,C,D)
2  DIMENSION AA(70),CC(70),A(1),B(1),C(1),D(1)
3  DO 1 I=1,NI
4  IF(A(I).NE.B.)GO TO 3
5  AA(I)=100
6  GO TO 4
7  AA(I)=100+B(I)/A(I)
8  IF(C(I).NE.D.)GO TO 5
9  CC(I)=100
10 GO TO 6
11 CC(I)=100+D(I)/C(I)
12 WRITE(15,2)I,A(I),B(I),C(I),D(I),AA(I),CC(I)
13 CONTINUE
14 FORMAT(3X,I3,3X,F6.2,4X,F6.2,4X,F6.2,3X,F6.2,2,2X,F6.2)
15 RETURN
16 END

```

```

1  SUBROUTINE SAIDA8
2  PROPOSITO: ESCREVER AS MATRIZES CIMP E KI EM FOR21.DAT
3  SUBROUTINE SAIDA8(NI,NJ,XI,CIMP)
4  DIMENSION CIMP(70,70),KI(70,70)
5  DO 1 I=1,NI
6  WRITE(21,3)(CIMP(I,J),J=1,NJ)
7  CONTINUE
8  DO 2 I=1,NI
9  WRITE(23,4)(KI(I,J),J=1,NJ)
10 CONTINUE
11 FORMAT(10(1X,F6.2))
12 FORMAT(10(1X,I3))
13 RETURN
14 END

```

```

1  SUBROUTINE SAIDAT(NI,XL,M,NX)
2  DIMENSION XL(1),M(1),NX(1)
3  DO 1 I=1,NI
4  WRITE(15,2)I,XL(I),M(I),NX(I)
5  CONTINUE
6  FORMAT(3X,I3,10X,F14.11,12X,I5,15X,I2)
7  RETURN
8  END

```

```

1  SUBROUTINE SAIDA6(NI,XL,E,B,R)
2  DIMENSION XL(1),B(1),E(1),R(1)
3  DO 1 I=1,NI
4  WRITE(15,2)I,XL(I),E(I),B(1),R(1)
5  CONTINUE
6  FORMAT(5X,I3,3X,F14.11,6X,F14.6,6X,F14.6,6X,F14.11)
7  RETURN
8  END

```

```

C
C
C
C
C
SUBROUTINE LER1
  SUBROUTINE LER1(NI,NJ,NN,NA,NO,ND,CUSTO,VELOC,VI08,A,F,CMED)
  DIMENSION A(1),P(1),CMED(1),VELOC(1)
  DIMENSION NO(1),NO(1),CUSTO(1),VI08(78,78)
  FORMAT(4G)
  FORMAT(4G)
  READ(32,1)NI,NJ,NN,NA
  DO 11 I=1,NA
  READ(32,2)NO(1),NO(1),CUSTO(1),VELOC(1)
  CONTINUE
  DO 15 I=1,NI
  DO 19 J=1,NJ
    VI08(I,J)=0.
  CONTINUE
  READ(33,2)NI,N2,X
  IF(NI,LT,0)GO TO 17
  VI08(N1,N2)=X
  GO TO 12
  DO 6 I=1,NI
    P(I)=0.
    CMED(I)=0.
  CONTINUE
  DO 6 J=1,NJ
    A(J)=0.
  CONTINUE
  READ(34,1)NI,X,Y
  IF(NI,LT,0)GO TO 20
  P(NI)=X
  A(NI)=Y
  CMED(NI)=Y
  GO TO 17
  RETURN
  END
  10
  11
  12
  13
  14
  15
  16
  17
  18
  19
  20

```

```

C
C
C
C
C
SUBROUTINE SAIDAZ
  SUBROUTINE SAIDAZ(NI,NJ,KH)
  DIMENSION KH(79,79)
  KHAX=FLOAT(NI-10)/10.
  L=0
  DO 1 I=1,NI
    L=L+1
    WRITE(15,4)I
    WRITE(15,5)
    DO 2 K=0,KHAX
      KH(K+10)
    CONTINUE
    WRITE(15,3)KH,(KH(I,KK+J),J=1,10)
    KK=KK+10
    IF(NJ,EG,KK)GO TO 10
    WRITE(15,3)KK,(KH(I,KK+J),J=1,(NJ-KK))
    L=L+1
    GO TO 1
  CONTINUE
  WRITE(15,6)
  FORMAT(//,47X,I1,I3)
  FORMAT(//,16X,I1,9X,I2,9X,I3,9X,I4,9X,I5,9X,I6,9X
  *,17,9X,I9,9X,I9,9X,I10)
  FORMAT(//,9X,I3,10(7X,I3))
  FORMAT(11/)
  RETURN
  END
  1
  2
  3
  4
  5
  6
  7
  8
  9
  10
  11
  12
  13
  14
  15
  16
  17
  18
  19
  20

```

```

C
C
C
SUBROUTINE LER2
  SUBROUTINE LER2(F0,F1,F2,F3,F4,F5,F6,NJU,NK,NT,NZ,IFN,CO)
  READ(35,1)F0,F1,F2,F3,F4,F5,F6,NJU,NK,NT,NZ,IFN,CO)
  FORMAT(9G)
  READ(36,2)NK,NT,NZ,IFN,CO
  RETURN
  END
  1
  2

```

```

C
C
C
SUBROUTINE SAIDAS
  SUBROUTINE SAIDAS(NI,CMED,TEMPO)
  DIMENSION CMED(1),TEMPO(1)
  DO 1 I=1,NI
    WRITE(15,2)I,CMED(I),TEMPO(I)
  CONTINUE
  FORMAT(5X,I3,3X,F10.2,15X,F10.2)
  RETURN
  END
  1
  2

```

```

C C
C C
C C
C C
SUBROUTINE SAIDA
SUBROUTINE SAIDA(NI,NJ,T)
DIMENSION T(70,70)
KMAX=FLOAT(NJ-10)/10.
L=0
DO 1 I=1,NI
  L=L+1
  WRITE(15,4)I
  WRITE(15,5)
  DO 2 K=0,KMAX
    KK=K*10
    CONTINUE
    WRITE(15,3)KK,(T(I,KK+J),J=1,10)
    KK=KK+10
    IF(NJ-20.KK)GO TO 10
    WRITE(15,3)KK,(T(I,KK+J),J=1,(NJ-KK))
    IF(L.LT.3)GO TO 1
  L=L+1
  WRITE(15,6)
CONTINUE
FORMAT(//,4X,11#1,13)
FORMAT(//,10X,11,9X,12,9X,13,9X,14,9X,15,9X,16,9X)
*,17,9X,18,9X,19,9X,110)
FORMAT(//,5X,13,2X,10(F10,2))
FORMAT(11)
RETURN
END
*****
SUBROUTINE LER3
SUBROUTINE LER3(NI,NJ,CIMP,KI)
DIMENSION CIMP(7,70),KI(70,70)
DO 1 I=1,NI
  CONTINUE
  READ(21,3)(CIMP(I,J),J=1,NJ)
  DO 2 I=1,NI
    CONTINUE
    READ(23,4)(KI(I,J),J=1,NJ)
  CONTINUE
  FORMAT(10(1X,F6,2))
  FORMAT(10(1X,I3))
  RETURN
  END
*****
SUBROUTINE ACESSO
SUBROUTINE ACESSO(KR,CT,NJ,IKR)
DIMENSION CT(1),IKR(1)
DO 100 K=1,NJ
  L=1
  CMIN=CT(1)
  DO 10 J=2,NJ
    IF(CMIN.LT.CT(J))GO TO 10
  CMIN=CT(J)
  L=L+1
  CONTINUE
  IKR(K)=L
  CT(L)=CT(L)+1000.
  CONTINUE
  RETURN
  END
100
10
C C
C C
SUBROUTINE CALIB2
SUBROUTINE CALIB2(NI,NJ,CIMP,CMED,U,V,XI,DEL,XL,M,KK)
DIMENSION XI(70,70),V(70,70),U(70,70),CIMP(70,70),CMED(1)
DIMENSION KK(1),XL(1),H(1)
DO 50 I=1,NI
  XL(I)=0./U(I,NJ)
  KK(I)=0
  H(I)=0
  SOYA=0
  M(I)=H(I)+1
  NNM=NJ-1
  DO 50 K=1,NJ
    SOYA=SOYA+CIMP(I,KI(1,KJ))*(EXP(-XL(I))+U(I,KJ))-EXP(-XL(I))+U(I,KJ))
  CONTINUE
  TYPE=20./SOYA
  FORMAT(6X,7,13,150#A1,F12,9)
  XS22=90#A/(1.-EXP(-XL(1))+U(1,NJ))
  IF(CMED(1).EQ.0.)GO TO 30
  XL2=XL(1)+(XS22/CMED(1))
  IF(M(1).LT.2)GO TO 70
  DEL1=XS22-XS91
  DEL2=XL(1)-XL1
  DEL3=DEL1+DEL2
  IF(DEL3.LE.0.)GO TO 70
  KK(I)=1
  GO TO 30
  OIF=ABS(1.-XL(1)/XL2)*100.
  XL1=XL(I)
  XS91=XS2
  XL(I)=XL2
  IF(M(1).GT.30)GO TO 30
  IF(V(I).GT.DEL)GO TO 40
  CONTINUE
  CONTINUE
  RETURN
  END
70
30
60

```

```

SUBROUTINE FURNES(NI,NJ,TA,A,P,PORC,ITERA)
DIMENSION A(1),P(1),TF(70,70),TA(70,70)
ICONT=0
DO 4 I=1,NI
DO 4 J=1,NJ
TF(I,J)=YA(I,J)
ICONT=ICONT+1
ITERA=1
CONTINUE
ITER=2
ITERA=2
IREST=IT/2
REST=10.*(FLOAT(IT)/2)-10.*FLOAT(IREST)
IF(REST.EQ.0) GO TO 8
KF=NJ
DO 7 I=1,NI
SOMA=0.
DO 6 K=1,KF
SOMA=SOMA+TA(I,K)
IF(SOMA.EQ.0.)SOMA=1.
DO 7 J=1,NJ
TF(I,J)=(P(I)/SOMA)*TA(I,J)
CONTINUE
GO TO 11
KF=NI
DO 10 J=1,NJ
SOMA=0.
DO 9 K=1,KF
SOMA=SOMA+TA(K,J)
IF(SOMA.EQ.0.)SOMA=1.
DO 10 I=1,NI
TF(I,J)=(A(J)/SOMA)*TA(I,J)
CONTINUE
ITER=3
DO 120 I=1,NI
SOMA=0.
DO 119 J=1,NJ
TA(I,J)=TF(I,J)
SOMA=SOMA+TF(I,J)
IF(SOMA.EQ.0.)GO TO 120
DIF=ABS(1.-A(J)/SOMA).100
IF(DIF.GT.PORC)ITER=1
CONTINUE
SOMA=0.
DO 122 J=1,NJ
DO 121 I=1,NI
SOMA=SOMA+TF(I,J)
IF(SOMA.EQ.0.)GO TO 122
DIF=ABS(1.-A(J)/SOMA).100
IF(DIF.GT.PORC)ITER=1
CONTINUE
WRITE(I,21)
FORMAT(//)
DO 123 KIN=1,NI
WRITE(1,10)(TF(KIN,KIM),KIM=1,NJ)
CONTINUE
FORMAT(10(IX,PA,1))

```

```

C 1
FORMAT(15I5)
IF(ITER.EQ.0) GO TO 130
ITER=ITER+1
IF(ITER.GT.100)GO TO 130
GO TO 5
DO 90 I=1,NI
DO 90 J=1,NJ
TA(I,J)=TF(I,J)
CONTINUE
RETURN
END

```

\*\*\*\*\*

SUBROUTINE REGLIN

\*\*\*\*\*

```

SUBROUTINE REGLIN(X,Y,NI,N,OO,A,B,E,R)
DIMENSION X(1),Y(1)
SX=0.
SY=0.
SX2=0.
SY2=0.
DO 1 I=1,N
SX=SX+X(I)
SY=SY+Y(I)
SX2=SX2+X(I)**2.
SY2=SY2+Y(I)**2.
CONTINUE
D=FLOAT(N*NI+1)+SX2-SX*SX
A=(FLOAT(N*NI+1)+SY-SY*SY)/D)+OO*(1.-OO)+SX/Y/SX2
B=(SX2+SY-SX*SY)/D)+OO
R=FLOAT(N*NI+1)+SY2-SY*SY
R=SQRT(D)
R=(A+D)/(R+R5)
END
DO 2 I=1,N
E=(Y(I)-A*X(I)-B)**2.
CONTINUE
RETURN
END

```

\*\*\*\*\*



```

SUBROUTINE FREQ(NI,NJ,CIMP,T,VP,F1,FJ,SOMA1,SOMA2,FRE1,NF1)
DIMENSION PL(70),T(70,70),VP(70,70),CIMP(70,70)
DIMENSION SOMA1(1),SOMA2(1),F1(1),FJ(1),FRE1(1),FRE2(70)
L=0
XL1=-2.
XL2=0.
L=L+1
XL1=XL1+2.
XL2=XL2+2.
F1(L)=XLI
FJ(L)=XLJ
SOMA1(L)=0.
SOMA2(L)=0.
DO I=1,NI
DO J=1,NJ
IF(CIMP(I,J).LT.XL1.OR.CIMP(I,J).GE.XL2)GO TO 1
SOMA1(L)=SOMA1(L)+VP(I,J)
SOMA2(L)=SOMA2(L)+T(I,J)
CONTINUE
IF(L.LE.11)GO TO 10
XL2=10.
IF(L.GE.12)GO TO 10
S1=0.
S2=0.
DO 2 K=1,L
S1=S1+SOMA1(K)
S2=S2+SOMA2(K)
CONTINUE
DO 3 K=1,L
FRE1(K)=100.*SOMA1(K)/S1
FRE2(K)=100.*SOMA2(K)/S2
CONTINUE
WRITE(15,4)
WRITE(15,5)
DO 7 K=1,L
*PRE1(K) WRITE(15,6)PRE1(K),FJ(K),SOMA2(K),SOMA1(K),FRE2(K)
CONTINUE
CALL REGLIN(SOMA1,SOMA2,I,L,S,AA,BB,RR)
ENDEE/L
RNU=SQRT(EM2)
WRITE(15,8)RNU
WRITE(15,9)RR
FJ(L)*20.
PL(1)=0.
PL(15)=40.
PL(29)=40.
DO 11 K=1,L
PL(K+1)=FJ(K)
PL(K+2)=FRE1(K)
PL(K+3)=L*F2(K)
CONTINUE
KL=L+1
CALL PLOT(I,PL,KL,J,93,0,NF1)
FORMAT(11,10X,IFREQUENCIA DE COMPRIMENTO DE VIAGEM)
FORMAT(1,10X,INTERVALO,4X,OBSERVADO,3X,PREVISTO,3X)
+IFREQ.089.,3X,IFREQ.PREV,1,/)

```

```

FORMAT(5X,F5.1,1X,F9.1,3X,F9.1,2X,F9.1,5X,F9.1,8X,F5.1)
FORMAT(1,5X,RAIZ DO ERRO.MEDIO QUADRATICO=1,2X,F10,3)
FORMAT(1,5X,COEFICIENTE DE CORRELACAO=1,4X,F10,6)
RETURN
END

SUBROUTINE P/ COMPARAR 2 MATRIZES
SUBROUTINE ERRO(NI,NJ,T,VP)
DIMENSION T(70,70),VP(70,70)
WRITE(15,6)
WRITE(15,5)
SOMA=0.
DO 1 I=1,NI
S1=0.
DO 2 J=1,NJ
XX=T(I,J)-VP(I,J)
IF(XX.LT.1)XX=0.
S1=S1+XX**2.
CONTINUE
SOMA=SOMA+S1
S1=S1/NJ
S1=SQRT(S1)
WRITE(15,4),S1
CONTINUE
K=NI-NJ
SOMA=SOMA/K
SOMA=SQRT(SOMA)
WRITE(15,7)SOMA
FORMAT(11,1,5X,(COMPARACAO DE MATRIZES))
FORMAT(1,5X,12OMA1,7X,12RAIZ DO ERRO)
FORMAT(8X,13,6X,F10,5)
FORMAT(5X,14,7X,F10,5)
FORMAT(10X,15,4)
RETURN
END

SUBROUTINE PARA OBTEN A MATRIZ DIFERENCA
SUBROUTINE DIFER(NI,NJ,T,VP,DD)
DIMENSION T(70,70),VP(70,70),DD(70,70)
DO 1 I=1,NI
DO 1 J=1,NJ
DD(I,J)=VP(I,J)-T(I,J)
CONTINUE
RETURN
END

```

BIBLIOGRAFIA

## B I B L I O G R A F I A

- "Acta Polytechnica Scandinavica" (1966) - Civil Engineering and Building Construction Series, n° 37.K. R. Overgaard, Copenhagen.
- Cesario, F.J. (1973): "Note on the Entropy Model of Trip Distribution". Transportation Research, Vol. 8, pp. 105-122.
- Crilly, M.L. (1974): "A perspective of the Functions and criticisms of Trip Distribution Models". Operational Research Quarterly, Vol. 25, n° 1, pp. 111-121.
- Deo, N. (1974): "Graph Theory with Applications to Engineering and Computer Science". Prentice-Hall, Inc. Englewood Cliffs, N.J.
- Evans, A.W. (1970): "Some Properties of Trip Distribution Methods". Transportation Research, Vol. 4, n° 1, pp. 19-36.
- Evans, S.P. (1973): "A Relationship between the Gravity Model for Trip Distribution Problem in Linear Programming". Transportation Research, V. 7, pp. 39 - 61
- Evans, S.P. e Kirby, H. (1974): "A Three-dimensional Furness procedure for Calibrating Gravity Models". Transportation Research, Vol. 8, pp. 105-122.
- Federal Highway Administration (1972): "Urban Transportation-Planning General Information and Introduction to System 360". U.S. Department of Transportation, Washington, D.C.
- Harris, B. (1964): "A Note on the Probability of Interaction at a Distance" Journal of Regional Science, Vol. 5, n° 2, pp. 31-35.

- Heanne, K.E. e Pyers, C.E. (1966): "A Comparative Evaluation of Trip Distribution Procedures". Origin Destination: Methods and Evaluation, Record n°114 Highway Research Board, Washington, D.C., pp. 20-37.
- Henley, E.J. e Williams, R.A. (1973): "Graph Theory in Modern - Engineering". Academic Press, New York.
- Hildebrand, F.B. (1956): "Introduction to Numerical Analysis" Mc Graw-Hill, pp. 443
- Howe, R.T. (1963): "A Critical Analysis of an Origin - Destination Survey". Highway Research Record, n° 41, pp. 79-98.
- Merlok, E.K. (1970): "An Analysis of Transport Technology and Network Structure". Northwestern University-Printing, Evanston, Illinois.
- Pyers, C.E. (1966): "Evaluation of Intervening Opportunities-Trip Distribution Model". Highway Research Record, n° 114, pp. 71-98.
- Robillard, P. e Stewart, N.F. (1974): "Iterative Numerical Methods for Trip Distribution Problems". Transportation Research, Vol. 8, pp. 575-582.
- Roy, B. (1969): "Algèbre Moderne et Théorie des Graphes". Dunod, Paris
- Ruiter, E.R. (1967a): "Improvements in Understanding, Calibrating and Applying the Opportunity Model".
- Ruiter, E.R. (1967b): "Toward a Better Understanding of the Intervening Opportunities Model". Transportation Research, Vol. 1 pp. 47-56.
- Salemis, A.G. (1972): "An Intervening Opportunities Trip Distribution Model with Competing Tripmakers". Transportation Research, Vol. 6, pp. 169-185
- Schneider, M. (1959): "Gravity Models and Trip Distribution - Theory". Regional Science Association, Vol. 5

Schneider, Morton (1960): Contribution to "Panel Discussion - on Inter-Area Travel Formulas", moderated by John T. Lynch. *Traffic Origin and Destination Studies, Bulletin* n<sup>o</sup> 253, Highway Research Board, Washington, D.C., pp. 134-138.

Whitaker, R.W. e West, K.E. (1968): "The Intervening Opportunities Model: A Theoretical Consideration". Highway Research Record, n<sup>o</sup> 250, pp. 1-7

Wilson, A.G. (1967): "A Statistical Theory of Spatial Distribution Models". Transportation Research, Vol. 1 pp. 253-269.

Wilson, A.G. (1970): "Advances and Problems in Distribution Modeling". Transportation Research, Vol. 4, pp. 1-18.